

Proračun zidane zgrade s armirano-betonskim prizemljem

Blagaić, Toni

Master's thesis / Diplomski rad

2017

Degree Grantor / Ustanova koja je dodijelila akademski / stručni stupanj:

University of Split, Faculty of Civil Engineering, Architecture and Geodesy / Sveučilište u Splitu, Fakultet građevinarstva, arhitekture i geodezije

Permanent link / Trajna poveznica: <https://um.nsk.hr/um:nbn:hr:123:076390>

Rights / Prava: [In copyright](#)/[Zaštićeno autorskim pravom.](#)

Download date / Datum preuzimanja: **2024-07-18**



Repository / Repozitorij:

[FCEAG Repository - Repository of the Faculty of Civil Engineering, Architecture and Geodesy, University of Split](#)



SVEUČILIŠTE U SPLITU
FAKULTET GRAĐEVINARSTVA, ARHITEKTURE I GEODEZIJE

DIPLOMSKI RAD

Toni Blagaić

Split, 2017.

**SVEUČILIŠTE U SPLITU
FAKULTET GRAĐEVINARSTVA, ARHITEKTURE I GEODEZIJE**

Toni Blagaić

**Proračun zidane zgrade s armirano-betonskim
prizemljem**

Diplomski rad

Split, 2017.

*Zahvaljujem se mentoru Prof. dr. sc. Borisu Trogrliću
na pomoći pri izradi ovog rada i ugodnoj suradnji.*

*Hvala roditeljima koji su mi bili potpora kroz
cijelo moje školovanje.*

**SVEUČILIŠTE U SPLITU
FAKULTET GRAĐEVINARSTVA, ARHITEKTURE I GEODEZIJE**

STUDIJ: **DIPLOMSKI SVEUČILIŠNI STUDIJ GRAĐEVINARSTVA**
KANDIDAT: **Toni Blagaić**
BROJ INDEKSA: **598**
KATEDRA: **Katedra za teoriju konstrukcija**
PREDMET: **Zidane konstrukcije**

ZADATAK ZA DIPLOMSKI RAD

Tema: Proračun zidane zgrade s armirano-betonskim prizemljem

Opis zadatka: Izraditi projekt zidane konstrukcije s armirano-betonskim prizemljem. U radu:

- opisati koncept nosive konstrukcije,
- osnovna djelovanja i njihove kombinacije, vrstu i svojstva gradiva,
- podtuke o tlu i načinu temeljenja,
- proračunati sve konstruktivne elemente te naprezanja u tlu,
- izraditi građevinske nacрте (temelji, tlocrti, presjeci, pročelja, detalje).

Zadano:

- Tlocrt tipične etaže,
- Blok opeka, srednja tlačna čvrstoća $f_{b,sr} = 10,0$ MPa, Mort: M10,
- Razred betona ovisno o konstruktivnom elementu, armatura B500B,
- Područje izgradnje objekta Split,
- Računska nosivost tla $\sigma_{Rd} = 450,0$ kPa.

Proračun provesti u skladu s tehničkim propisima i normama.

U Splitu, 10.03.2017.

Voditelj Diplomskog rada:

Prof. dr. sc. Boris Trogrlić

Predsjednik Povjerenstva
za završne i diplomske ispite:
Doc. dr. sc. Veljko Srzić

Proračun zidane zgrade s armirano-betonskim prizemljem

Sažetak:

U radu je prikazan proračun stambene zgrade s konstruktivnim sustavom od armirano-betonskih elemenata i zidanih zidova. Potresna otpornost konstrukcije određena je pojednostavljenim proračunom prema pravilima za jednostavne zidane zgrade i metodom spektralne analize. Proveden je i proračun ploča, temelja, greda, stupova i zidova uslijed vertikalnog djelovanja. Proračunom su dobivene rezne sile u elementima konstrukcije koji su sukladno tome armirani.

Ključne riječi:

zidane zgrade, potresna otpornost

Calculation of the building with structural system of reinforced concrete and masonry walls

Abstract:

This paper presents a calculation of the building with structural system of reinforced concrete elements and masonry walls. Seismic resistance is determined by the simplified calculation, according to the rules for simple masonry buildings, and also by spectral analysis method. The calculation of the plates, foundations, beams, columns and walls is made due to vertical load. Internal forces in the construction elements were calculated, which were accordingly reinforced.

Keywords:

Masonry building, seismic resistance

SADRŽAJ

1. UVOD	1
2. OPĆENITO O ZIDANIM KONSTRUKCIJAMA	2
2.1. OPĆENITO	2
2.2. VRSTE ZIDNIH ELEMENATA	2
2.3. SVOJSTVA ZIDNIH ELEMENATA	4
2.3.1. Tlačna čvrstoća zidnih elemenata	5
2.4. MORT	5
2.5. VRSTE ZIDA	7
2.5.1. Omeđeno zide	8
2.6. MEHANIČKA SVOJSTVA ZIDA	8
2.6.1. Tlačna čvrstoća zida (f_k)	8
2.6.2. Posmična čvrstoća zida (f_v)	11
2.6.3. Karakteristična čvrstoća zida na savijanje (f_{kk})	14
2.6.4. Referentna vlačna čvrstoća zida (f_i)	16
2.7. Deformacijska svojstva zida	16
2.7.1. Modul elastičnosti E	16
2.7.2. Modul posmika G	17
3. TEHNIČKI OPIS	18
3.1. OPĆENITO	18
3.2. OPIS NOSIVE KONSTRUKCIJE	19
3.2.1. Temelji	19
3.2.2. Fleksibilno prizemlje	19
3.2.3. Zidovi	20
3.2.4. Međukatna konstrukcija	21
3.2.5. Ostale konstrukcije	21
3.3. KORIŠTENI MATERIJALI	21
3.3.1. Blok opeka POROTHERM 30S PLUS	21
3.3.2. Beton	21
3.3.3. Armatura	22
4. ANALIZA OPTEREĆENJA	24
4.1. OPĆENITO	24
4.2. DJELOVANJA NA KONSTRUKCIJU	24
4.2.1. Stalno djelovanje	25
4.2.2. Uporabno opterećenje	26
4.2.3. Opterećenje vjetrom	27
4.2.4. Opterećenje potresom	31

4.3. KOEFICJENTI SIGURNOSTI I KOMBINACIJE OPTEREĆENJA	37
4.3.1. Parcijalni koeficijenti sigurnosti za materijale	37
4.3.2. Kombinacije opterećenja	37
5. POJEDNOSTAVLJENI PRORAČUN ZIDOVA	39
5.1. IZRAČUN UDJELA NOSIVIH ZIDOVA	40
5.2. PRORAČUN ZIDOVA NA VERTIKALNA OPTEREĆENJA	41
5.3. PRORAČUN ZIDOVA NA POTRESNA DJELOVANJA	43
5.4. PRIKAZ NAPREZANJA ZIDOVA	50
6. REZULTATI PRORAČUNA NA POTRES	52
6.1. PRIKAZ GLAVNIH VEKTORA ZA ZGRADU S AB PRIZEMLJEM	53
6.2. PRIKAZ GLAVNIH VEKTORA ZA ZGRADU NA STUPOVIMA	56
6.3. PRORAČUN POMAKA KONSTRUKCIJE USLJED POTRESA	59
7. PRORAČUN KONSTRUKTIVNIH ELEMENATA	61
7.1. Ploče	61
7.1.1. Model	61
7.1.2. Opterećenja ploče	62
7.1.3. Prikaz rezultata	63
7.2. GREDE	73
7.2.1. Proračun potrebne armature u gredama	73
7.3. ZIDOVI	80
7.3.1. Zid u osi 10x /D-E –PLOŠNI ELEMENT	82
7.4. STUPOVI	90
7.4.1. Proračun potrebne armature u stupovima	92
7.5. TEMELJI	96
7.5.1. Općenito	96
7.5.2. Temeljenje konstrukcije na trakastim temeljima	97
7.5.3. Temeljenje konstrukcije na temeljnoj ploči	101
8. ZAKLJUČAK	106
9. PRILOZI	107
10. LITERATURA	108

1. UVOD

Zidane konstrukcije su veoma rasprostranjen i korišten tip konstrukcija. Opeka je jedan od najstarijih građevnih materijala, a njena je upotreba i danas velika. Većina povijesnih građevina izvedena je zidanjem blokova od opeke ili kamena međusobno povezanih tradicionalnim spojevima. Svoju dugu tradiciju zidanje pripisuje svojoj jednostavnosti, ali i dugovječnosti zidanih konstrukcija koja se očituje u mnogim takvim građevinama starim više stotina pa i nekoliko tisuća godina.

I danas zidane konstrukcije dominiraju u stanogradnji u kombinaciji sa armirano-betonskim konstruktivnim elementima. Suvremeni tehnički standardi uvjetovali su razvoj novih građevinskih materijala pa za razliku od tradicionalnog ziđa koje je kao osnovni zidni element imalo punu opeku sušenu na suncu ili pečenu, suvremene opeke izrađuju se uglavnom ošupljene sa različitim uzorkom šupljina.

Zidane građevine su veoma otporne na vertikalna opterećenja, ali ne i na horizontalna djelovanja. Osjetljivost na horizontalna djelovanja posebno dolazi do izražaja pri potresu, ponajviše zbog prisutnosti sljubnica između blokova, koje mogu, a i ne moraju biti ispunjene mortom.

Cilj ovog rada je analiza 6-etažne stambene zidane zgrade, sa armirano-betonskim prizemljem i omeđenim zidom na ostalim etažama, na gravitacijsko i potresno djelovanje.

Uz armirano-betonsko prizemlje nosivu konstrukciju građevine čine omeđeni zidovi s armirano-betonskim vertikalnim i horizontalnim serklažama te međukatna armirano-betonska ploča. Prizemlje se sastoji od armirano-betonskih zidova, stupova i greda.

Proračun je proveden na dva načina, pojednostavljeno poštujući pravila za jednostavne zidane zgrade prema EC-u te računalno u programskom paketu SCIA Engineer 16.1.

2. OPĆENITO O ZIDANIM KONSTRUKCIJAMA

2.1. OPĆENITO

Zidane konstrukcije su one konstrukcije koje su izvedene iz zidnih elemenata (opeke ili blokova) povezanih vezivom (mortom) i koje su zidane na gradilištu, ili su izvedene u obliku predgotovljenih zidova u tvornici i spojene na gradilištu u konstrukcijsku cjelinu. Naizmjeničnim polaganjem zidnih elemenata (blokova) između nekog vezivnog materijala (morta, ljepila) nastaje čvrsta cjelina tj. konstrukcijski element zide.

2.2. VRSTE ZIDNIH ELEMENATA

Zidni elementi se mogu podijeliti u više skupina. Najznačajnija skupina je ona prema vrsti materijala iz kojeg su izrađeni. Prema vrsti materijala od kojih su napravljeni razlikujemo:

- **Glineni zidni blok (opeka, opečni blokovi):** nastaju pečenjem elementa oblikovanih od sirove gline na visokim temperaturama.
- **Vapneno-silikatni zidni blokovi (kalcijско-silikatni):** proizvedeni od smjese silicijskog agregata, vapna i drugih provjerenih materijala, izrađenih pod tlakom i zaparivanjem.
- **Betonski zidni blokovi:** proizvedeni od smjese agregata normalne težine (kamena) i cementa ili drugih provjerenih materijala u čvrsti oblik pod tlakom ili vibriranjem.
- **Betonski zidni blokovi od lakog agregata:** proizvedeni od smjese lakog agregata (npr. ekspanzirana šljaka visokih peći, ekspanzirana glina) i veziva, izvedeni u kalupima, vibrirani.
- **Porasti betonski zidni elementi (aerirani i autoklavirani):** proizvedeni od smjese finog silicijskog agregata, cementa, vapna i dodataka za stvaranje mjehurića. Izrađuje se autokalvama i oblikuje rezanjem.
- **Kameni zidni blokovi:** izrađeni od blokova kamena klesanih ili rezanih na određene dimenzije, te od lomljenog kamena nepravilnog oblika.



Crtež 2.1. Vrste zidnih elemenata

Prema kontroli proizvodnje zidani elementi se dijele na kategorije (razrede) I. i II. Zidani elementi I. kategorije su oni za koje je proizvođač osigurao stalnu kontrolu kakvoće prema odgovarajućoj normi i koji u pošiljci imaju deklariranu tlačnu čvrstoću s 5 % fraktila. Elementi kategorije II su oni koji imaju srednju vrijednost tlačne čvrstoće jednaku deklariranoj ali dodatni zahtjevi za I. kategoriju nisu ispunjeni. Prema postotku šupljina u volumenu zidanih elemenata oni se dijele na grupu 1, 2a, 2b te grupu 3. Debljina vanjskih stijenki zidnih elemenata ne bi smjela biti manja od 15 mm. (Tablica 2.1.)

Tablica 2.1. Zahtjevi koje grupe zidnih elemenata moraju zadovoljiti

	Grupe zidnih elemenata			
	1	2a	2b	3
Obujam šupljina (% bruto obujma) (vidi napomenu 1)	≤ 25	> 25-45 za opečne zidne elemente > 25-50 za betonske zidne elemente	> 45-55 za opečne zidne elemente > 50-60 za betonske zidne elemente (vidi napomenu 2)	≤ 70
Obujam bilo koje šupljine (% bruto obujma)	≤ 12,5	≤ 12,5 za opečne zidne elemente ≤ 25 za betonske zidne elemente	≤ 12,5 za opečne zidne elemente ≤ 25 za betonske zidne elemente	Ograničena ploštinom (vidi dolje)
Ploština bilo koje šupljine	Ograničena obujmom (vidi gore)	Ograničena obujmom (vidi gore)	Ograničena obujmom (vidi gore)	≤ 2800 mm ² , osim za zidne elemente s jednom šupljinom kad je šupljina ≤ 18000 mm ²
Kombinirana debljina (% ukupne širine) (vidi napomenu 3)	≥ 37,5	≥ 30	≥ 20	Nema zahtjeva
NAPOMENE 1. Šupljine mogu biti vertikalne kroz zidni element, utori ili niše. 2. Ako iskustvo na razini države, utemeljeno na ispitivanjima, potvrđuje da sigurnost zida nije neprihvatljivo smanjena kad postoji veći postotak šupljina, ograničenje od 55% za opečne i 60% za betonske zidne elemente može se povećati za zidne elemente koji se rabe u zemlji koja ima takvo iskustvo. 3. Kombinirana debljina je debljina unutarnje i vanjske stijenke mjerena horizontalno na zidnom elementu pod pravim kutom na lice zida.				

U ovom radu za nosive zidove odabrana je blok opeka POROTHERM 30S PLUS, Prema tlačnoj čvrstoći koju posjeduje spada u kategoriju I, a prema postotku šupljina spada u skupinu zidnog elementa 2, što se može vidjeti u Izjavi o svojstvima (Tablica 2.2.).

Tablica 2.2. Izjava o svojstvima za opeku POROTHERM 30S PLUS

Dimenzije:				
duljina	mm	250	± 6	
širina	mm	300	± 7	
visina	mm	238	± 6	
dopušteno odstupanje	razred	T1		
dopušteno pdstupanje	razred	R1		
Ravnost horizontalnih sljubnica:	mm	NPD		
Paralelnost ploha:	mm	NPD		
Obujamska masa:				
Bruto obujamska masa u suhom stanju	kg/m ³	710		
Neto obujamska masa u suhom stanju	kg/m ³	NPD		
razred	razred / %	D1	10	
Oblik i izgled:				
Skupina zidnog elementa	-	2	EN 1996 -1	
Postotak šupljina	%	<55		
Tlačna čvrstoća:				
razred	-	I		
Okomito na horizontalnu sljubnicu	N/mm ²	10		
Normalizirana na horizontalnu sljubnicu	N/mm ²	NPD		
Okomito na vertikalnu sljubnicu	N/mm ²	2		
Normalizirana na vertikalnu sljubnicu	N/mm ²	NPD		
Čvrstoća prijanjanja:	N/mm ²	0,15/0,30		
Toplinska provodljivost $\lambda_{10, dry, unit}$:	W/m·K	0,15	EN 1745 (λ termo malte =0,18 W/mK)	
Paropropusnost:	-	$\mu = 5/10$		
Trajnost proizvoda:	razred	F0		
Vodoupojnost:	%	NPD		
Početna vodoupojnost:	kg/(m ² ·min)	NPD		
Sadržaj aktivnih topivih soli:	razred	S0		
Širenje vlage:	mm/m	NPD		
Ponašanje pri požaru:	razred	A1		
Opasne tvari:	-	NPD		

EN 771-1:2011

2.3. SVOJSTVA ZIDNIH ELEMENATA

Osnovna svojstva zidnih elemenata su njihova tlačna čvrstoća i trajnost. Do sada je bilo uobičajeno da se zidni element naziva po svojoj tlačnoj čvrstoći. No uz tu čvrstoću treba uzeti u obzir i oblik elementa, tj. njegovu visinu i širinu, jer nije svejedno kakve je veličine element niti kako je ugrađen u zide. Manja visina uzrokuje veći broj horizontalnih sljubnica morta. Zato se prešlo na tzv. normaliziranu tlačnu čvrstoću zidanog elementa f_b .

2.3.1. Tlačna čvrstoća zidnih elemenata

Tlačna čvrstoća koja se uzima u proračun, jest normalizirana tlačna čvrstoća zidnog elementa f_b . To je tlačna čvrstoća zidnog elementa prevedena na tlačnu čvrstoću na zraku sušenog zidnog uzorka širine 100 mm i visine 100 mm, duljina zidnog elementa nije mjerodavna. Srednja tlačna čvrstoća dobivena eksperimentalno (uzorci 24 sata uronjeni u vodu), pretvara se u normaliziranu tlačnu čvrstoću f_b za suhe zidne elemente, množeći se s koeficijentom 1,10 za blokove od pečene gline, a za sve ostale blokove sa 1,20. Zatim se dobivene vrijednosti množe sa faktorom oblika δ (Tablica 2.3.):

Tablica 2.3. Faktor oblika δ za normaliziranje tlačne čvrstoće blokova

Visina zidnog elementa(mm)	Najmanja horizontalna dimenzija zidnog elementa (mm)				
	50	100	150	200	≥ 250
50	0.85	0.75	0.70	-	-
65	0.95	0.85	0.75	0.70	0.65
100	1.15	1.00	0.90	0.80	0.75
150	1.30	1.20	1.10	1.00	0.95
200	1.45	1.35	1.25	1.15	1.10
≥ 250	1.55	1.45	1.35	1.25	1.15

Minimalna tlačna čvrstoća zidnog elementa :

- okomito na horizontalnu sljubnicu morta $f_{b,min,vert.} = 2,5 \text{ N/mm}^2$
- paralelno horizontalnoj sljubnici u ravnini zida $f_{b,min,hor.} = 2,0 \text{ N/mm}^2$

U seizmičkim područjima tlačna čvrstoća zidanih elemenata trebala bi iznositi najmanje:

- okomito na horizontalnu sljubnicu morta $f_{b,min,vert.} = 4,0 \text{ N/mm}^2$
- paralelno horizontalno sljubnici morta u ravnini zida $f_{b,min,hor.} = 2,0 \text{ N/mm}^2$

Za odabranu blok opeku u proračunu, vrijednost tlačne čvrstoće okomito na horizontalnu sljubnicu iznosi 10 N/mm^2 , a okomito na vertikalnu sljubnicu iznosi 2 N/mm^2 (Tablica 2.2.).

2.4. MORT

Mort je vezivni materijal koji se sastoji od mješavine anorganskog veziva, agregata i vode, a može sadržavati i dodatke za povećanje čvrstoće, vodonepropusnosti i itd. Rabi se za povezivanje zidanih elemenata, odnosno služi za ostvarivanje čvrstoće зида. Vrsta morta ovisi

o njegovom sastavu. Prilikom gradnje omogućava izravnavanje geometrijskih odstupanja blokova i njihovo međusobno vezanje te ravnomjernu raspodjelu tlačnih napona.

Glavni sastojci morta:

- vezivo (hidratizirano vapno, hidrauličko vapno, cement)
- agregat (pijesak ili neki drugi materijal određen prema normi)
- voda (ne smije sadržavati štetne tvari)

Kemijski dodaci mortu služe za promjenu njegovih svojstava:

- dodaci za plastifikaciju morta
- dodaci za vodonepropusnost morta
- dodaci za sprječavanje vezivanja suhog morta

Vrste mortova:

- **cementni mort:** mort s određenim omjerom cementa i pijeska te dodataka po potrebi
- **cementno – vapneni mort:** mješavina određene količine cementa, vapna i pijeska (produžni mort)
- **hidraulični vapneni mort:** mješavina određene količine hidratiziranog vapna i pijeska
- **unaprijed pripremljeni mort:** doprema se na gradilište u vrećama u suhom stanju, ili već pripremljen za uporabu s usporivačem vezanja
- **tankoslojni mort:** to je unaprijed pripremljeni cementni mort s maksimalnim zrnom pijeska do 1,0 mm i s kemijskim dodacima. Debljina morta u horizontalnim sljubnicama je od 1 do 3 mm
- **lakoagregatni mort:** mort spravljen s lakim agregatom, čija je gustoća obično manja od 1000 kg/m^3 . Agregat može biti: perlit, ekspandirana glina, plovučac

Mort se klasificira prema svojoj proračunskoj tlačnoj čvrstoći, a označava se slovom M nakon kojeg slijedi broj koji predstavlja tlačnu čvrstoću u N/mm^2 . U većini propisa u svijetu odnos komponenata morta se određuje volumenski, odnosno sastavi morta dani su u volumenskim omjerima (Tablica 2.4.).

Tablica 2.4. Volumenski sastav morta

Vrsta morta	Minimalna tlačna čvrstoća nakon 28 dana (N/mm^2)	Približni sastav		
		cement	hidratizirano vapno	pijesak
M20	20	treba odrediti ispitivanjem		
M15	15	1	$0 - \frac{1}{4}$	3
M10	10	1	$\frac{1}{4} - \frac{1}{2}$	$4 - 4\frac{1}{4}$
M5	5	1	$\frac{1}{2} - 1\frac{1}{4}$	5 - 6
M2	2	1	$1\frac{1}{4} - 2\frac{1}{2}$	8 - 9

Najslabiji mort koji je dopušten u nearmiranom zidu je *M1*, za armirano zide *M5*, i za tankoslojne i lakoagregatne mortove također *M5*. U slučaju kada je čvrstoća manja ili znatno veća od one u tablici mogu se mijenjati omjeri cementa, vapna i pijeska, kako bi se postigla zahtjevana čvrstoća. Uporabu drugačijih omjera sastojaka treba dokazati ispitivanjem.

U predmetnoj konstrukciji odabran je mort M10 ($f_m=10,0$ MPa).

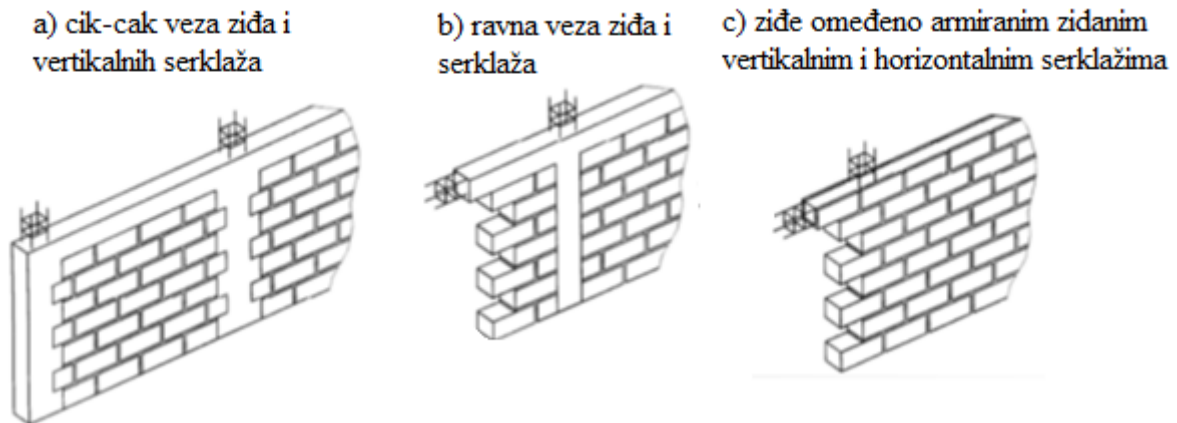
2.5. VRSTE ZIDA

Zide se općenito svrstava u sljedeće konstruktivne kategorije:

- **Nearmirano zide**, ne sadrži nikakva prikladna ojačanja da bi se smatralo armiranim zidom
- **Omeđeno zide**, zide osigurano armirano-betonskim elementima-serklažima ili samo armiranim zidnim elementima u vertikalnom i horizontalnom smjeru
- **Armirano zide**, zide u koje se ugrađuju čelične šipke ili mreže kroz mort ili beton pa prema tome svi materijali rade zajedno u otporu djelovanjima
- **Prednapeto zide**, unutarnja tlačna naprezanja uvedena su ciljano zategnutom armaturom

2.5.1. Omeđeno zide

Omeđeno zide prožeto je AB ili zidanim vertikalnim i horizontalnim serklažima. Vertikalni i horizontalni serklaži djeluju zajedno sa zidom i nisu samostalan okvir. Uloga serklaža je posebno značajna pri djelovanju potresa na zidane građevine. Serklaži povezuju i ukrućuju zide. Znatno pridonose nosivosti zida na tlak, savijanje i posmik, za opterećenje u ravnini zidova i za opterećenje okomito na njihovu ravninu. Pri horizontalnim djelovanjima oni omogućavaju formiranje tlačnih dijagonala u zidu i smanjuju deformacije zida. Vertikalni AB serklaži dominantno prenose vlačna naprezanja, dok horizontalni serklaži preraspodjeljuju vertikalna opterećenja na zide, posebno koncentrirane sile.



Crtež 2.2. Primjeri omeđenog zida

2.6. MEHANIČKA SVOJSTVA ZIDA

2.6.1. Tlačna čvrstoća zida (f_k)

Zide opterećeno u jednoosnom tlaku postiže slom uglavnom razvojem vlačnih pukotina paralelnih pravcu djelovanja opterećenja, koja su kao rezultat vlačnih naprezanja okomita na glavna tlačna naprezanja. Čvrstoća zida u tlaku je manja nego nominalna tlačna čvrstoća bloka, od kojeg je zide izvedeno. S druge strane, čvrstoća zida može značajno prekoračiti slomnu čvrstoću kocke morta.

Opća svojstva:

- sekundarno vlačno naprezanje, koje prouzročuje pukotinski slom zida, posljedica je spriječenih deformacija morta u sljubnicama zida
- prividna tlačna čvrstoća bloka u standardnim ispitivanjima na tlak nije prava mjera čvrstoće bloka u zidu, jer je način sloma različit
- mort može podnijeti povećana tlačna naprezanja u fugama zbog višeosnog stanja naprezanja

Karakteristična tlačna čvrstoća zida, f_k , može biti određena ili iz granične čvrstoće zida visine kata ispitanog do sloma ili iz tlačne čvrstoće manjih uzoraka zida. Rabe se materijali, zidanje i vez onako kako se oni primjenjuju i u praksi. Zapiše se količina vlage zidnog elementa u vrijeme polaganja u sloj morta. Odredi se normalizirana tlačna čvrstoća f_b , zidnog elementa. Ako se čvrstoća zidnog elementa s vremenom mijenja, njihova tlačna čvrstoća ispitivat će se kad se ispituje i zide. Rabi se mort koji treba pripremiti tako da mu se sastojci vežu, a odrede se na osnovi volumnih omjera suhog materijala koji odgovaraju određenoj vrsti morta. Ako se, kako je to uobičajeno, rabi vlažan pijesak, treba uzeti u obzir količinu vlage.

Rabe se najmanje 3 uzorka, visina uzorka zida treba biti barem tri puta veća od njegove širine, pet puta veća od visine zidanog elementa i veća od duljine uzorka. Zidovi se ispituju ili nakon 7 ili 28 dana starosti, ili kada je postignuta neka određena čvrstoća morta. Uzorak se postavi centrično da se uzdužna os uzorka i uzdužna os stroja za ispitivanje poklope. Opterećenje se nanosi jednoliko po cijeloj površini na vrhu i na dnu zida. Ono se neprekidno povećava tako da se slom dosegne nakon 15 do 30 minuta. S pomoću četiri elektronska uređaja, ekstenzometra, mjere se deformacije uzorka u vertikalnom smjeru. Ekstenzometri se postavljaju po dva na svaku plohu zida, a kao relativna deformacija uzorka uzima se srednja vrijednost od sva četiri očitavanja. Potrebno je izdvojiti vrijednosti izmjerene relativne deformacije, $\varepsilon_{1/3}$, pri sili jednakoj trećini maksimalne.

Rezultati ispitivanja tlačne čvrstoće se prikazuju pomoću izraza:

$$f_k = K \cdot f_b^\alpha \cdot f_m^\beta$$

pri čemu je:

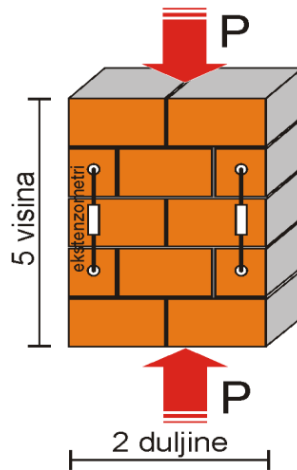
f_k - karakteristična tlačna čvrstoća zida u N/mm²

K - faktor ovisan o razredu bloka i tipu morta

α, β - konstante

f_m - tlačna čvrstoća morta u N/mm^2

f_b - normalizirana srednja tlačna čvrstoća zidnog elementa u smjeru primijenjene sile u N/mm^2



Crtež 2.3. Ispitivanje tlačne čvrstoće zida

Tlačna čvrstoća je jedno aksijalno opterećenje probnog uzorka (kocke ili valjka) po jedinici površine, kod kojeg nastaje razorna deformacija i njegov lom.

Ako se ne raspolaže eksperimentalno dobivenim podacima o tlačnoj čvrstoći zida, karakteristična tlačna čvrstoća zida ovisno o vrsti morta može se odrediti na temelju sljedećih jednadžbi:

- mort opće namjene - $f_k = K \cdot f_b^{0,65} \cdot f_m^{0,25}$ (N/mm^2)

- tankoslojni mort - $f_k = 0,8 \cdot f_b^{0,85}$ (N/mm^2)

- lakoagregatni mort - $f_k = 0,8 \cdot f_b^{0,65}$ (N/mm^2)

gdje je:

- K - konstanta koja za mort opće namjene ovisi o grupi zidnih elemenata, dok za lakoagregatni mort ovisi o vrsti morta (Tablica 2.4.)
- f_b - normalizirana tlačna čvrstoća zidnog elementa (N/mm^2)
- f_m - nazivna tlačna čvrstoća morta (N/mm^2)

Tablica 2.4. Konstanta K za mort opće namjene, tankoslojni mort i lagani mort

Zidni elementi		Mort opće namjene	Tankoslojni mort (horiz. sljubnica $\geq 0,5$ mm i ≤ 3 mm)	Lagani mort obujamske mase	
				$600 \leq \rho_d \leq 800$ kg/m ³	$800 < \rho_d \leq 1300$ kg/m ³
Opečni	Skupina 1	0,55	0,75	0,30	0,40
	Skupina 2	0,45	0,70	0,25	0,30
	Skupina 3	0,35	0,50	0,20	0,25
	Skupina 4	0,35	0,35	0,20	0,25
Vapnenosilikatni	Skupina 1	0,55	0,80	‡	‡
	Skupina 2	0,45	0,65	‡	‡
Betonski	Skupina 1	0,55	0,80	0,45	0,45
	Skupina 2	0,45	0,65	0,45	0,45
	Skupina 3	0,40	0,50	‡	‡
	Skupina 4	0,35	‡	‡	‡
Porasti beton	Skupina 1	0,55	0,80	0,45	0,45
Umjetni kamen	Skupina 1	0,45	0,75	‡	‡
Obrađeni prirodni kamen	Skupina 1	0,45	‡	‡	‡

‡ Kombinacija morta i zidnih elemenata koja se obilno ne upotrebljava pa vrijednosti nisu dane.

Za predmetnu konstrukciju karakteristična tlačna čvrstoća zida iznosi:

$$f_k = K \cdot f_b^{0,65} \cdot f_m^{0,25} = 0,55 \cdot 11,5^{0,65} \cdot 10^{0,25} = 4,784 \text{ N / mm}^2$$

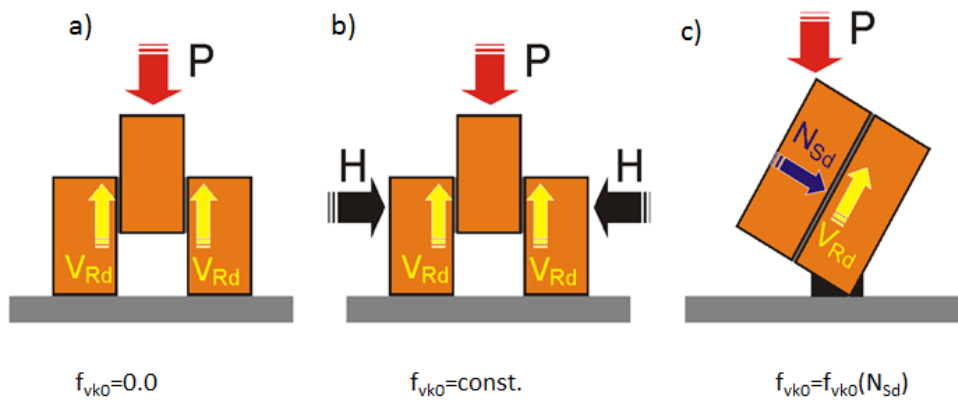
2.6.2. Posmična čvrstoća zida (f_v)

Zidane konstrukcije su često podvrgnute posmičnom djelovanju, istovremeno s tlačnim opterećenjem. Poznato je da posmična čvrstoća pada s povećanjem visine zida, dok raste s porastom debljine. Također, dokazano je da stupanj zasićenosti vodom punih glinenih blokova za vrijeme zidanja ima utjecaj na početnu posmičnu čvrstoću.

Karakteristična posmična čvrstoća zida, f_{vk} , jest ona čvrstoća ispod koje se ne očekuje da će pasti više od 5% rezultata ispitivanja te čvrstoće. Karakterističnu posmičnu čvrstoću moguće je dobiti eksperimentalno iz odgovarajućeg ispitivanja uzorka ili ispitivanjem na izvedenom zidu ili iz karakterističnih čvrstoća.

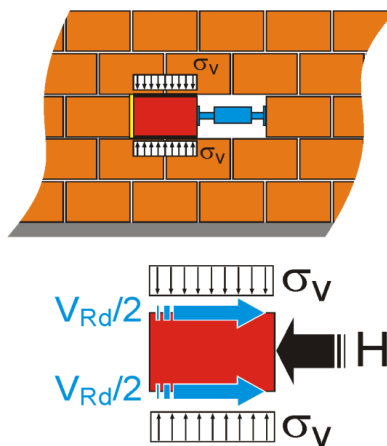
Ekperimentalno određivanje posmične čvrstoće, f_{vk} , vrši se na uzorcima (Crtež 2.4.)

- bez normalnog naprezanja
- dodavanjem normalnog naprezanja
- s uvijek prisutnim tlačnim naprezanjem



Crtež 2.4. Ispitivanje posmične čvrstoće zida

Za određivanje posmične čvrstoće zida neke postojeće građevine treba se iz zida odstraniti barem jedan element i zatim na njegovo mjesto postaviti uređaj za nanošenje sile. Zidnom elementu na koji se nanosi sila, i koji će se pomaknuti, odstranjuju se vertikalne sljubnice morta, ispred i iza. Sila se postupno povećava do posmičnog sloma. Naprezanja na horizontalnu sljubnicu morta treba izračunati (Crtež 2.5.).



Crtež 2.5. Ispitivanje posmične čvrstoće zida – in situ

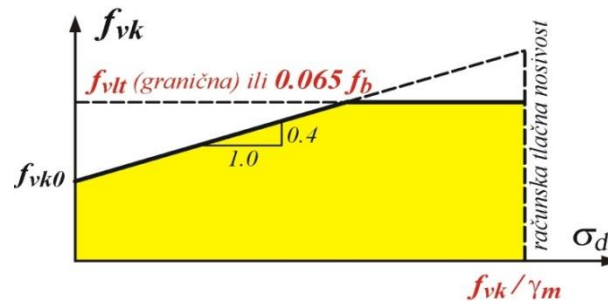
Računska karakteristična posmična čvrstoća nearmiranog zida f_{vk} , uz postojanje uvjeta da su horizontalne i vertikalne sljubnice potpuno ispunjene mortom, može se uzeti kao najmanja vrijednost od:

$$f_{vk} = f_{vko} + 0,4\sigma_d$$

ili

$$f_{vk} = 0,065 \cdot f_b$$

ali ne manja od f_{vko} , i ne veća od granične vrijednosti f_{vlt} .



Crtež 2.6. Ovisnost posmične čvrstoće i tlačnog naprezanja

gdje su:

- f_{vko} - posmična čvrstoća bez tlačnog naprezanja okomito na sljubnice za obične mortove bez aditiva (Tablica 2.6.). Ako ne postoje eksperimentalno dobiveni podaci o vrijednosti f_{vko} , treba uzeti $f_{vko} = 0,1 \text{ N/mm}^2$
- f_{vlt} - limitirajuća vrijednost od f_{vk}
- σ_d - računsko tlačno naprezanje okomito na posmik u zidu na razini na kojoj se promatra, uzimajući u obzir odgovarajuću kombinaciju opterećenja koja se bazira na jednolikoj raspodjeli naprezanja u tlačnom dijelu zida koji pruža posmičnu nosivost
- f_b - normalizirana tlačna čvrstoća zidnih elemenata

Proračunska karakteristična posmična čvrstoća nearmiranog zida, f_{vk} , ako vertikalne sljubnice nisu ispunjene mortom, ali su susjedne plohe zidnih elemenata postavljene jedna uz drugu, može se uzeti kao najmanja vrijednost od:

$$f_{vk} = 0,5 f_{vko} + 0,4 \sigma_d$$

ali ne više od $0,045 \cdot f_b$ ili f_{vlt} , ali ne manje od f_{vko} .

Tablica 2.6. Vrijednost početne posmične čvrstoće f_{vk0}

Zidni element	f_{vk0} (N/mm ²)			
	Mort opće namjene		Tankoslojni mort (debljine horizontalnih sljubnica $\geq 0,5$ mm i $\leq 3,0$ mm)	Lagani mort
Glina	M10 – M20	0,30	0,30	0,15
	M2,5 – M9	0,20		
	M1 – M2	0,10		
Kalcijsko-silikatni	M10 – M20	0,20	0,40	0,15
	M2,5 – M9	0,15		
	M1 – M2	0,10		
Betonski	M10 – M20	0,20	0,30	0,15
Porasti (autoklavirani aerirani)	M2,5 – M9	0,15		
Kameni	M1 – M2	0,10		

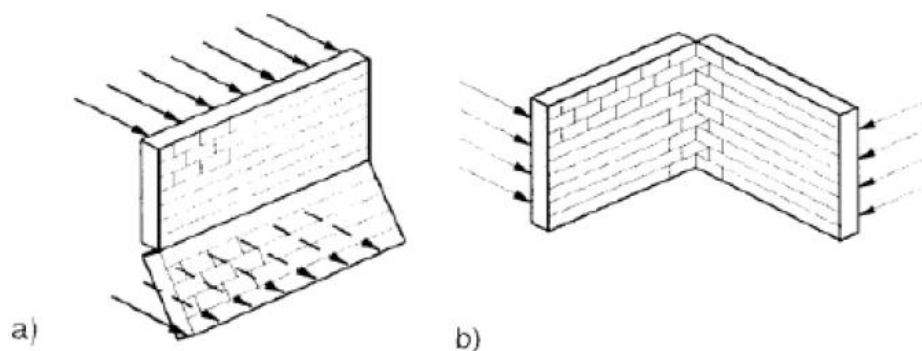
2.6.3. Karakteristična čvrstoća zida na savijanje (f_{xk})

Karakteristična čvrstoća na savijanje nearmiranog zida f_{xk} je ona čvrstoća ispod koje ne pada više od 5% rezultata.

Karakteristične vrijednosti čvrstoće zida na savijanje određuju se na uzorcima koji daju ravninu sloma paralelnu s horizontalnim sljubnicama morta f_{xk1} i onih koji daju ravninu sloma okomito na horizontalne sljubnice morta f_{xk2} kako je prikazano na Crtežu 2.7. U slučaju kada ispitni podaci za zide izrađeno od morta opće namjene, tankoslojnog i laganog morta nisu dostupni, čvrstoća na savijanje se može uzeti iz Tablica 2.7. i 2.8., uz uvjet da su tankoslojni mort i lagani mort M5 ili više.

Čvrstoća zida na savijanje:

- a) ravnina sloma paralelna horizontalnim sljubnicama morta, f_{xk1}
- b) ravnina sloma okomita na horizontalne sljubnice morta, f_{xk2}



Crtež 2.7. Čvrstoća zida na savijanje

Tablica 2.7. Vrijednosti f_{xk1} , slomna ravnina paralelna horizontalnim sljubicama

Zidni element	f_{xk1} (N/mm ²)			
	Mort opće namjene		Tankoslojni mort	Lagani mort
	$f_m < 5$ N/mm ²	$f_m \geq 5$ N/mm ²		
Glineni	0,10	0,10	0,15	0,10
Kalcijsko-silikatni	0,05	0,10	0,20	Ne koristi se
Betonski	0,05	0,10	0,20	Ne koristi se
Porasti	0,05	0,10	0,15	0,10
Industrijski kamen	0,05	0,10	Ne koristi se	Ne koristi se
Obradjeni prirodni kamen	0,05	0,10	0,15	Ne koristi se

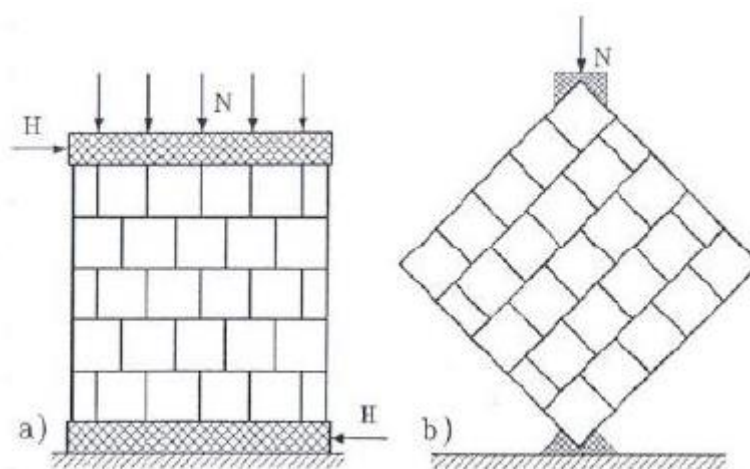
Tablica 2.8. Vrijednosti f_{xk2} , slomna ravnina okomita na horizontalne sljubice

Zidni element	f_{xk2} (N/mm ²)				
	Mort opće namjene		Tankoslojni mort	Lagani mort	
	$f_m < 5$ N/mm ²	$f_m \geq 5$ N/mm ²			
Glineni	0,20	0,40	0,15	0,10	
Kalcijsko-silikatni	0,20	0,40	0,30	Ne koristi se	
Betonski	0,20	0,40	0,30	Ne koristi se	
Porasti	$\rho < 400$ kg/m ³	0,20	0,40	0,20	0,15
	$\rho \geq 400$ kg/m ³	0,20	0,40	0,30	0,15
Industrijski kamen	0,20	0,40	Ne koristi se	Ne koristi se	
Obradjeni prirodni kamen	0,20	0,40	0,15	Ne koristi se	

2.6.4. Referentna vlačna čvrstoća zida (f_t)

Referentna vlačna čvrstoća zida je ona kod koje dolazi do vlačnog otkazivanja kad je zid opterećen istodobno vertikalnim i horizontalnim opterećenjem. Vertikalno je opterećenje stalno prisutno, a horizontalno je povremeno, uzrokovano vjetrom ili potresom.

Referentnu vlačnu čvrstoću može se odrediti ispitivanjem zida opterećenog nepromjenljivim vertikalnim opterećenjem, silom N , i postupno rastućom horizontalnom silom H do dijagonalnog sloma (Crtež 2.8.) ili pomoću propisanih tablica.



Crtež 2.8. Ispitivanje vlačne čvrstoće zida

2.7. Deformacijska svojstva zida

2.7.1. Modul elastičnosti E

Modul elastičnosti u slučajevima kada se ne proučavaju dugotrajni efekti se određuje ispitivanjem. U nedostatku eksperimentalnih ispitivanja, sekantni modul elastičnosti pod opterećenjem (do 1/3 slomnog opterećenja, Crtež 2.9.) za sve vrste zida uzima se kao:

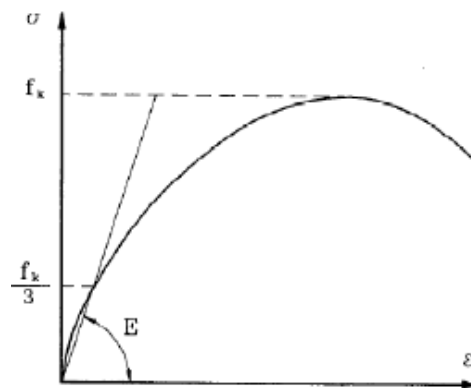
$$E = K_E \cdot f_k$$

gdje je:

- K_E - koeficijent čija je preporučena vrijednost 1000, osim ako nije posebno definirano u nacionalnom dodatku
- f_k – karakteristična tlačna čvrstoća zida

Module elastičnosti za predmetnu konstrukciju iznosi:

$$E = K_E \cdot f_k = 1000 \cdot 4,784 = 4784 \text{MPa}$$



Crtež 2.9. Dijagram naprezanja – relativna deformacija

Dugotrajni modul elastičnosti se bazira na kratkotrajnom sekantnom modulu elastičnosti, reduciranom tako da zadovolji utjecaje puzanja:

$$E_{dugotrajno} = \frac{E}{1 + \phi_{\infty}}; \quad \phi_{\infty} - \text{konačni koeficijent puzanja}$$

2.7.2. Modul posmika G

Modul posmika G se uzima kao 40% vrijednosti modula elastičnosti E: $G = 0,4 E$

Pri proračunu na djelovanje potresa uzima se kao: $G = 0,167 E$

Modul posmika za predmetnu konstrukciju iznosi:

$$G = 0,4 \cdot E = 0,4 \cdot 4784 = 1913,6 \text{MPa}$$

Za potresno djelovanje modul posmika iznosi:

$$G = 0,167 \cdot E = 0,167 \cdot 4784 = 798,93 \text{MPa}$$

3. TEHNIČKI OPIS

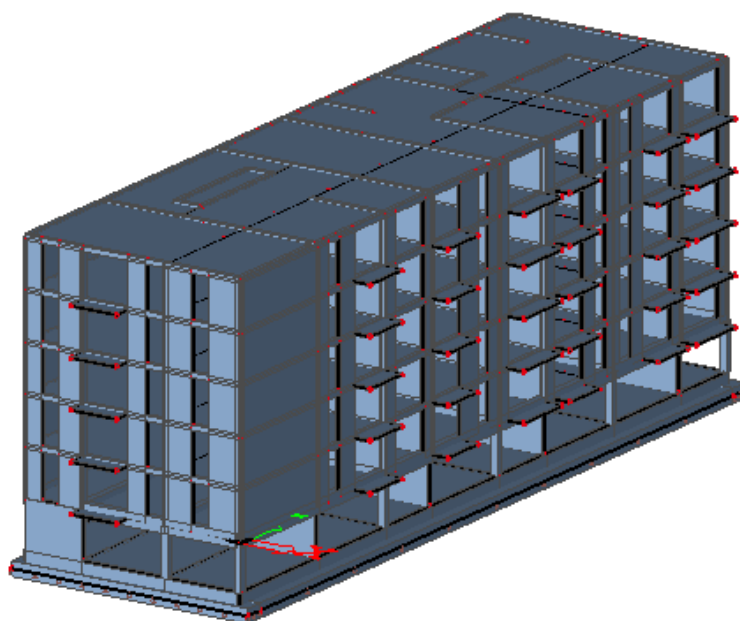
3.1. OPĆENITO

Predmet ovog diplomskog rada je proračun stambene zgrade s konstruktivnim sustavom od armirano-betonskih zidova i stupova te zidanih zidova. Predmetna građevina je šesterokatnica, pravilnog tlocrtnog oblika – pravokutnih dimenzija 46,85 x 13,90 m. Ukupna brutto površina građevine iznosi 651,22 m². Visina prve etaže je 3,70 m, ostale etaže su visine 2,90 m, što čini 18,20 m ukupne visine objekta mjereno od podne ploče prizemlja.

Nosivu konstrukciju ove stambene zgrade čine vertikalni konstrukcijski elementi izrađeni od zida i armiranog betona, te horizontalni konstrukcijski elementi izrađeni od armirano-betonskih međukatnih ploča debljine 20 cm i armirano-betonskih serklaža. Pokrov konstrukcije čini neprohodni ravni krov izveden od armirano-betonske ploče također debljine 20 cm.

Prizemlje se sastoji od armirano-betonskih zidova, stupova i greda.

Konstrukcija temelja je armirano-betonska, a sastoji se od: temeljnih traka, nadtemeljnih zidova i podne ploče.



Crtež 3.1. Prostorni prikaz modela konstrukcije s AB prizemljem



Crtež 3.2. Prostorni prikaz modela konstrukcije s prizemljem na AB stupovima

3.2. OPIS NOSIVE KONSTRUKCIJE

3.2.1. Temelji

Temeljenje je izvršeno na stjenovitom tlu tipa A. Temelji su trakasti, dimenzija širine 1,20 x 0,85 m, 1,00 x 0,85 m te 1,80 x 0,85 m. Nadtemeljni zid je dimenzija 0,40 x 1,00 m. Podna ploča je debljine 20 cm. Svi elementi temelja izrađeni su od betona klase C35/45 i armirani čelikom za armiranje B500B.

Također je u radu prikazano temeljenje konstrukcije ne pločastom modelu temelja debljine 0,65 m.

3.2.2. Fleksibilno prizemlje

Fleksibilno prizemlje konstruirano je kao niz armirano-betonskih okvira dimenzija zidova 3,60 x 0,40 m, 4,65 x 0,40 m, 6,90 x 0,30 m, 4,60 x 0,30 m, 3,55 x 0,40 m i 7,10 x 0,40 m, dimenzije stupova 0,40 x 0,40 m, i greda 0,40 x 0,80 m, 0,30 x 0,50 m. Elementi stupova i zidova su izrađeni od betona klase C40/50 a grede od betona klase C30/37. Svi elementi su armirani čelikom za armiranje B500B.

Također je u sklopu rada prikazana konstrukcija s prizemljem na isključivo stupovima i gredama (Crtež 3.2.). Dimenzije stupova su 0,70 x 0,70 m te 0,75 x 0,75 m, dok su dimenzije greda 0,70 x 0,80 m te 0,30 x 0,50 m.

3.2.3. Zidovi

Nosivi zidovi izgrađeni su od blok opeke POROTHERM 30S PLUS. Zidovi su debljine $t=30$ cm, a omeđeni su vertikalnim i horizontalnim serklažama. Karakteristike blok opeke POROTHERM 30S PLUS prikazane su u Tablici 3.1.

Tablica 3.1. Karakteristike blok opeke nosivih zidova

Dimenzije:		25x30x23,8 cm
Masa cca.:	m	11,90 kg
Tlačna čvrstoća:		10,00 N/mm ²
Potrošnja opeke:		16,00 kom/m ²
		53,30 kom/m ³
Potrošnja morta:		38,00 l/m ²
Težina za m ² zida		2,22 kN/m ²

POROTHERM opeka izrađuje se samo od prirodnih materijala (glina, pijesak i piljevina), bez ikakvih sintetskih dodataka. Na taj način se dobiva s građevinsko-biološkog stanovišta idealan proizvod. Suvremena tehnologija proizvodnje osigurava minimalu emisiju štetnih čestica i smanjuje potrošnju energije u proizvodnom procesu. Pogodna je za gradnju nisko energetske objekata s vrhunskom termoizolacijom, znatno se smanjuju troškovi grijanja i hlađenja, nije potrebno dodatno toplinski izolirati objekt. Zbog sposobnosti akumulacije topline zidovi se zimi polako hlade, a ljeti sporo zagrijavaju. POROTHERM S proizvodima u usporedbi sa klasičnom opekama postižete se 50% veća brzina gradnje, 30 % bolja toplinska izolacija, 30 % bolja seizmička svojstva te 25 % uštede na mortu.

Za zidanje rabljen je produžni mort marke M10 ($f_m=10,0$ N/mm²), kojemu odgovara sljedeći volumni sastav:

$$\text{cement} : \text{hidratizirano vapno} : \text{pijesak} = 1 : (\frac{1}{4} - \frac{1}{2}) : (4 - 4\frac{1}{4})$$

Obvezno je popunjavanje mortom horizontalnih i uspravnih sljubnica između zidnih blokova. Po procjeni nadzornog inženjera utvrditi će se potreba za ispitivanjem tlačne čvrstoće morta.

3.2.4. Međukatna konstrukcija

Međukatna konstrukcija iznad etaža izvedena je kao armiranobetonska ploča debljine 20 cm, od betona C25/30 i armirana s B500B. Horizontalni serklaži (b/h=30/30 cm) izvedeni su zajedno s pločom, od betona C25/30 i armirani čelikom za armiranje B500B.

3.2.5. Ostale konstrukcije

Vertikalni serklaži su postavljeni prema pravilima struke. Dimenzije serklaža su 30x30 cm. Vertikalni serklaži izrađeni su od betona marke C25/30 i armirani čelikom za armiranje B500B.

3.3. KORIŠTENI MATERIJALI

3.3.1. Blok opeka POROTHERM 30S PLUS

U ovom radu za nosive zidove odabrana je blok opeka POROTHERM 30S PLUS, Prema tlačnoj čvrstoći koju posjeduje spada u kategoriju I, a prema postotku šupljina spada u skupinu zidnog elementa 2, što se može vidjeti u Izjavi o svojstvima (Tablica 2.2.) .

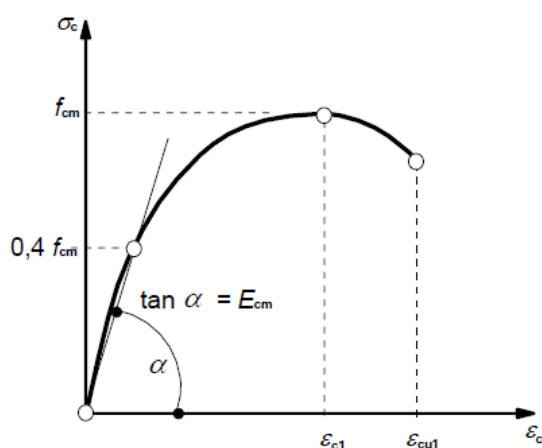
3.3.2. Beton

Armirano-betonski elementi fleksibilnog prizemlja izrađeni su od betona klase C30/37 i C40/50, dok su temelji i nadtemeljni zidovi izrađeni od betona klase C35/45, vertikalni i horizontalni serklaži i ploče izrađeni od betona klase C25/30.

Tablica 3.2. Parametri betona

	C25/30	C30/37	C35/45	C40/50
Karakteristična tlačna čvrstoća f_{ck} [MPa]	25,0	30,0	35,0	40,0
Posmična čvrstoća τ_{Rd} [MPa]	0,30	0,34	0,37	0,41
Srednja vlačna čvrstoća $f_{ct,m}$ [MPa]	2,6	2,9	3,2	3,5
Modul elastičnosti E [MPa]	31500	32800	33500	35000
Modul posmika G [MPa]	13125	13667	14208	14667

Usvojen je parabolični radni dijagram betona zbog uključene materijalne nelinearnosti.



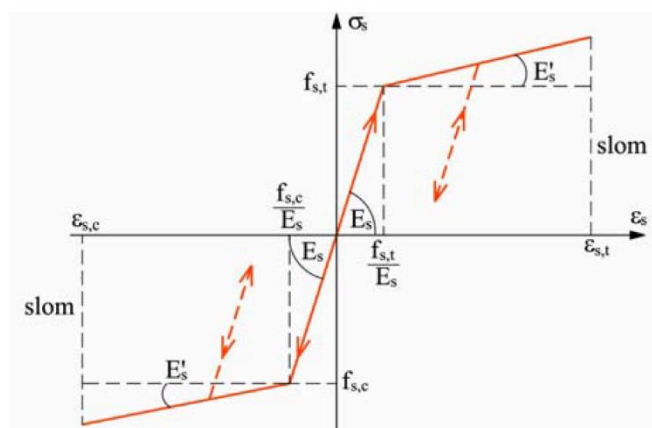
Crtež 3.3. Radni dijagram betona

3.3.3. Armatura

Svi armirano-betonski elementi armirani su čelikom za armiranje B500B, čiji je radni dijagram prikazan na Crtežu 3.4.

Tablica 3.3. Parametri čelika za armiranje

	B 500B
Karakteristična vlačna i tlačna čvrstoća	$f_{yk} = 500$ MPa
Modul elastičnosti	$E = 21000$ MPa



Crtež 3.4. Radni dijagram čelika za armiranje

4. ANALIZA OPTEREĆENJA

4.1. OPĆENITO

Konstrukcija treba biti planirana, projektirana i izvedena na način da izdrži sva opterećenja i ostala djelovanja za vrijeme izvedbe i uporabe, da funkcionira u skladu s namjenom za koju se gradi te da ima potrebnu trajnost i umjerene troškove održavanja.

Proračunske situacije prikazuju slučajeve u kojima konstrukcija ispunjava svoju ulogu a moraju obuhvatiti sve uvjete koji se mogu očekivati tijekom izvedbe i uporabe konstrukcije. Proračunski uporabni vijek je pretpostavljeno razdoblje korištenja konstrukcije uz održavanje, ali bez velikih popravaka.

Sigurnost nosive konstrukcije protiv otkazivanja nosivosti općenito je uvjetovana time da njena otpornost R bude veća od ekstremnog djelovanja S , koje će na nju djelovati u vijeku njenog trajanja. Kriterij za određivanje sigurnosti nosive konstrukcije može se prikazati na sljedeći način:

$$R > S$$

Zona sigurnosti definirana je kao razlika između otpornosti i djelovanja na konstrukciju:

$$Z = R - S$$

Granična stanja su stanja izvan kojih konstrukcija više ne zadovoljava projektom predviđene zahtjeve. Razlikuju se granična stanja nosivosti i uporabljivosti.

4.2. DJELOVANJA NA KONSTRUKCIJU

Djelovanja se klasificiraju prema promjenljivosti tijekom vremena :

- stalna djelovanja G (vlastita težina, nepokretna oprema (dodatno stalno), pritisak tla, pritisak vode, prednapinjanje, slijeganje oslonaca, deformacije uslijed načina izgradnje konstrukcije)

- promjenljiva djelovanja Q (uporabno opterećenje, opterećenje snijegom i opterećenje vjetrom, djelovanje temperature, opterećenje ledom, promjena razine površine vode, opterećenje valovima)
- izvanredna djelovanja A (eksplozije, udar vozila, potres, požar, slijeganje i klizanje terena).

Stalna opterećenja su ona za koje se smatra da će vjerojatno djelovati na konstrukciju u cijelom vijeku trajanja, ili imati promjenu intenziteta ali su te promjene zanemarive u odnosu na srednju vrijednost.

Promjenjiva opterećenja su ona za koje je vjerojatno da će djelovati tijekom zadane proračunske situacije te da će imati promjenu intenziteta tijekom vremena.

Izvanredna opterećenja su općenito kratkog vremena trajanja, a vjerojatnost njihovog nastupanja u planiranom vijeku trajanja je mala.

4.2.1. Stalno djelovanje

1) Vlastita težina (G0)

U računalnom modelu vlastita težina nosive konstrukcije zadana je automatski.

2) Dodatno stalno opterećenje (G)

a) Krovna ploča

završni sloj poda:	0,50 kN/m ²
izolacije, instalacije, žbuka:	0,20 kN/m ²
a-c estrih, d = 7 cm, $\gamma = 22 \text{ kN/m}^3$:	1,55 kN/m ²
ukupno:	2,25 kN/m ²

b) Međukatne ploče

pregradni zidovi (gipskartonske ploče):	0,50 kN/m ²
završni sloj poda:	0,50 kN/m ²
izolacije, instalacije, žbuka:	0,20 kN/m ²
a-c estrih, d = 7 cm, $\gamma = 22 \text{ kN/m}^3$:	1,55 kN/m ²
ukupno: 2,70 kN/m ²	

c) Balkoni

završni sloj poda:	0,50 kN/m ²
izolacije, instalacije, žbuka:	0,20 kN/m ²
a-c estrih, d < 5 cm, $\gamma = 22 \text{ kN/m}^3$:	1,10 kN/m ²
ukupno: 1,80 kN/m ²	

4.2.2. Uporabno opterećenje (Q)

Prostorije u zgradama, ovisno o namjeni, svrstane su u pet osnovnih razreda i neke podrazrede s odgovarajućim karakterističnim opterećenjem. Tako za osnovni razred A (stambene prostorije, hotelske sobe itd.), vrijedi:

Tablica 4.1. Uporabno opterećenje za razred A

Opterećene	q_k [kN/m ²]	Q_k [kN]
A - općenito	2,0	2,0
- stubišta	3,0	2,0
- balkoni	4,0	2,0

Uporabno opterećenje za krov je 1,0 kN/m²

4.2.3. Opterećenje vjetrom (W)

Opterećenje vjetrom (okomito na površinu) proračunava se prema izrazu:

$$- \text{ pritisak vjetra na vanjske površine: } w_e = q_{ref} \cdot c_e(z_e) \cdot c_{pe} \left[\text{kN} / \text{m}^2 \right]$$

$$- \text{ pritisak vjetra na unutarnje površine: } w_e = q_{ref} \cdot c_e(z_i) \cdot c_{pi} \left[\text{kN} / \text{m}^2 \right]$$

gdje je:

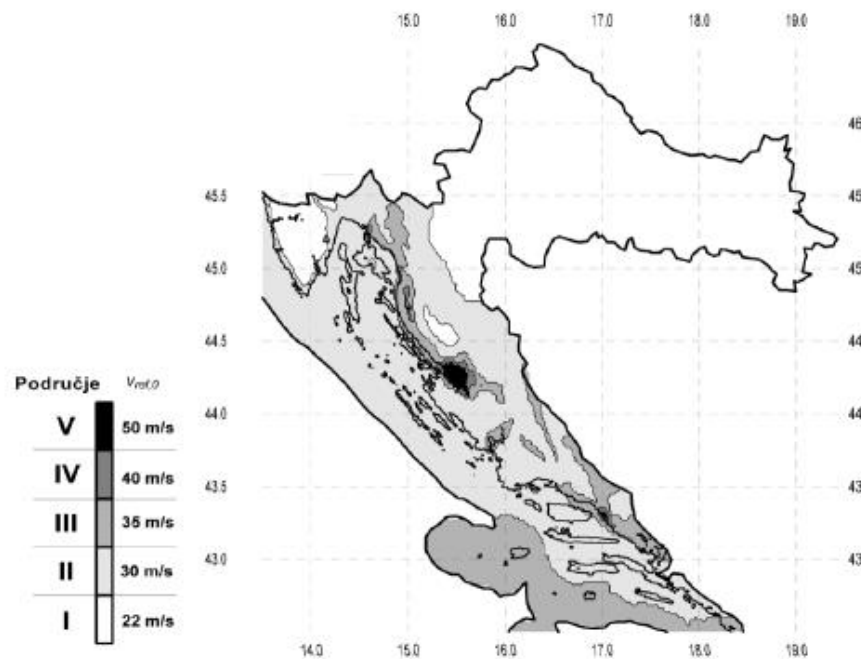
q_{ref} - poredbeni tlak pri srednjoj brzini vjetra

$c_e(z_e); c_e(z_i)$ - koeficijenti izloženosti koji uzimaju u obzir neravnine terena

$z_e; z_i$ - poredbena visina za lokalni ili unutarnji tlak

$c_{pe}; c_{pi}$ - vanjski i unutarnji koeficijent pritiska

Poredbenu brzinu vjetra određujemo iz osnovne vrijednosti poredbene brzine vjetra $v_{ref,0}$, koja je prikazana na zemljovidu Hrvatske za područja opterećenja vjetrom. Hrvatska je podjeljena u deset regija, a svakoj pripada određeno opterećenje vjetrom.



Crtež 4.1. Vjetrovna karta Hrvatske

Prema vjetrovnoj karti vidi se da je Hrvatska podijeljena na pet područja opterećenja vjetrom (I-V) koja su dodatno podijeljena na deset regija (P1-P10).

Tablica 4.2. Kategorizacija zemljišta ovisno o geografskom položaju

Kategorija zemljišta	
I	Otvoreno more, jezera s najmanje 5 km otvorene površine u smjeru vjetra ili ravnica bez prepreka
II	Ograđeno poljoprivredno zemljište, gospodarske zgrade (salaši), kuće i drveće
III	Predgrađa gradova ili industrijske površine i obrtničke površine; šume
IV	Gradska područja u kojima je najmanje 15 % površine izgrađeno i čija prosječna visina prelazi 15 m.

Predmetna konstrukcija nalazi se:

- zona Split
- II. vjetrovno područje
- IV. kategorija zemljišta
- regija P9 – južno jadransko priobalje,

Poredbeni tlak pri srednjoj brzini vjetra:

$$q_{\text{ref}} = \frac{\rho}{2} \cdot v_{\text{ref}}^2 \left[\text{kN} / \text{m}^2 \right]$$

Pri čemu su:

- v_{ref} poredbena brzina vjetra
- ρ gustoća zraka ($\rho = 1,25 \text{ kg/m}^3$)

Poredbena brzina vjetra:

$$v_{\text{ref}} = c_{\text{DIR}} \cdot c_{\text{TEM}} \cdot c_{\text{ALT}} \cdot v_{\text{ref},0}$$

$$v_{\text{ref},0} = 30 \text{ [m/s]}$$

osnovna poredbena brzina vjetra

$$c_{\text{DIR}} = 1,0$$

koeficijent smjera vjetra

$$c_{\text{TEM}} = 1,0$$

koeficijent ovisan o godišnjem dobu

$$c_{\text{ALT}} = 1,0 + 0,001 a_s$$

koeficijent nadmorske visine, $a_s = 100 \text{ m}$

$$c_{\text{ALT}} = 1,0 + 0,001 \cdot 100 = 1,1$$

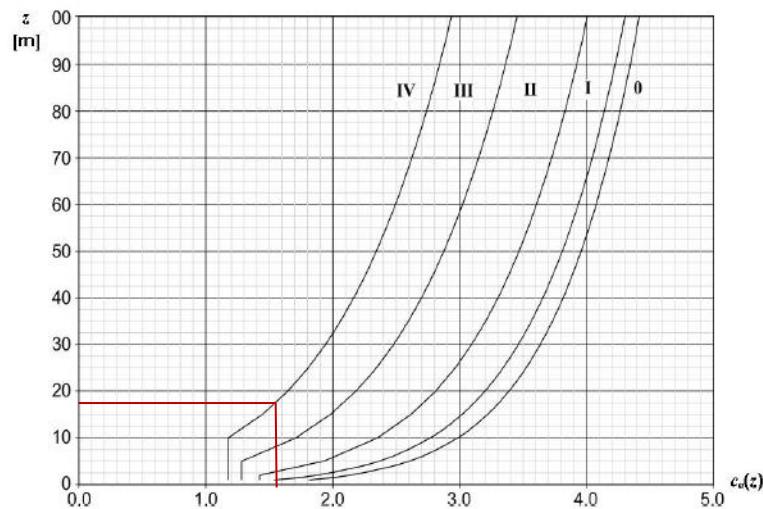
$$v_{\text{ref}} = 1,0 \cdot 1,0 \cdot 1,1 \cdot 30 = 33 \text{ m/s}$$

visina objekta $h = 18,2 \text{ m}$;

$$v_{\text{ref}} = 33 \text{ [m/s]}; \rho = 1,25 \text{ [kg/m}^3\text{]}$$

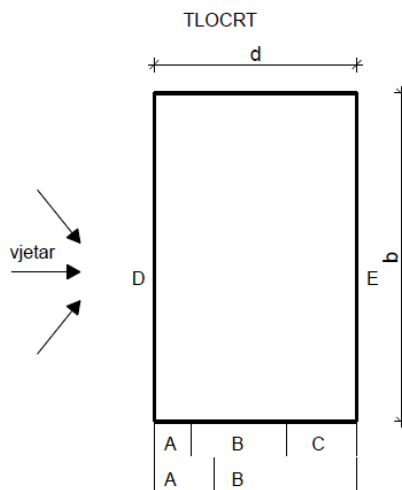
$$q_{\text{ref}} = \frac{\rho}{2} \cdot v_{\text{ref}}^2 = \frac{1,25}{2} \cdot 33^2 = 680 \text{ N/m}^2 = 0,68 \text{ kN/m}^2$$

$c_e(z)$ je koeficijent izloženosti kojim se uzimaju u obzir neravnine terena i očitavamo ga sa sljedećeg grafa (Crtež 4.2.):



Crtež 4.2. Koeficijent položaja u ovisnosti o visini objekta iznad terena i kategoriji zemljišta

Očitano na grafu: $c_e(z_e) = 1,58$



Crtež 4.3. Tlocrtni prikaz krova s podjelom na područja A-E

Tablica 4.3. Koeficijenti vanjskog tlaka za vertikalne zidove građevina pravokutnog tlocrta

	Područje									
	A		B		C		D		E	
d/h	$c_{pe,10}$	$c_{pe,1}$	$c_{pe,10}$	$c_{pe,1}$	$c_{pe,10}$	$c_{pe,1}$	$c_{pe,10}$	$c_{pe,1}$	$c_{pe,10}$	$c_{pe,1}$
≤ 1	-1,0	-1,3	-0,8	-1,0	-0,5	-0,5	+0,8	+1,0	-0,3	-0,3
≥ 4	-1,0	-1,3	-0,8	-1,0	-0,5	-0,5	+0,6	+1,0	-0,3	-0,3

Koeficijenti vanjskog tlaka C_{pe} (Tablica 4.3.) iznose:

Za područje D: $c_{pe,10} = +0,8$ površina direktno opterećena vjetrom

Za područje E: $c_{pe,10} = -0,3$ površina koja je u zavjetrini

Opterećenje vjetra na vanjsku površinu:

$$w_e = q_{ref} \cdot c_e(z_e) \cdot c_{pe} \left[\text{kN/m}^2 \right]$$

$$\text{za područje D } w_e = 0,68 \cdot 1,58 \cdot 0,8 = 0,86 \text{ kN/m}^2$$

$$\text{za područje E } w_e = 0,68 \cdot 1,58 \cdot (-0,3) = -0,32 \text{ kN/m}^2$$

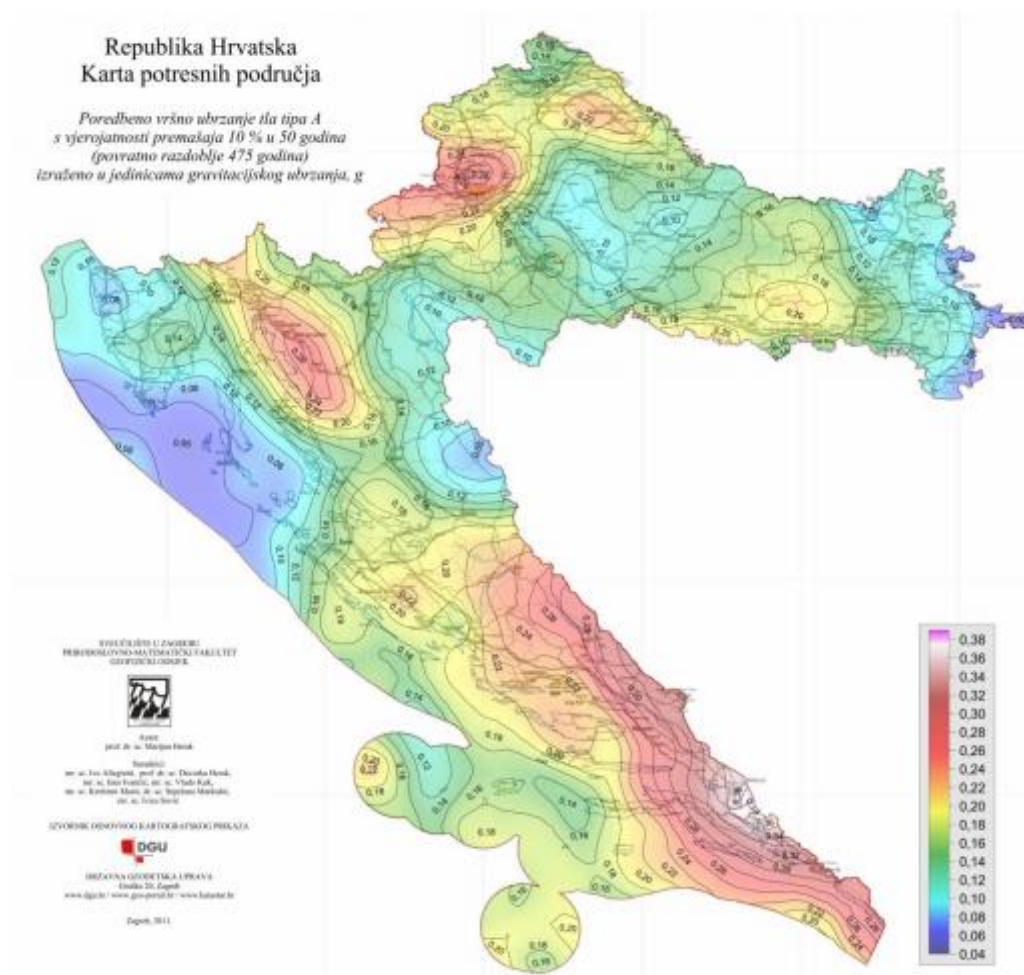
4.2.4. Opterećenje potresom (S)

Potresne sile proračunate su postupkom spektralne analize prema EC-8. Potresno djelovanje za određeno područje određuje se koristeći proračunsko ubrzanje tla a_g koje odgovara povratnom periodu potresa od 475 godina za granično stanje nosivosti te povratnom periodu potresa od 95 godina za granično stanje uporabljivosti.

Računsko ubrzanje tla za područje Splita iznosi :

-za granično stanje nosivosti očitano sa Crteža 4.4.

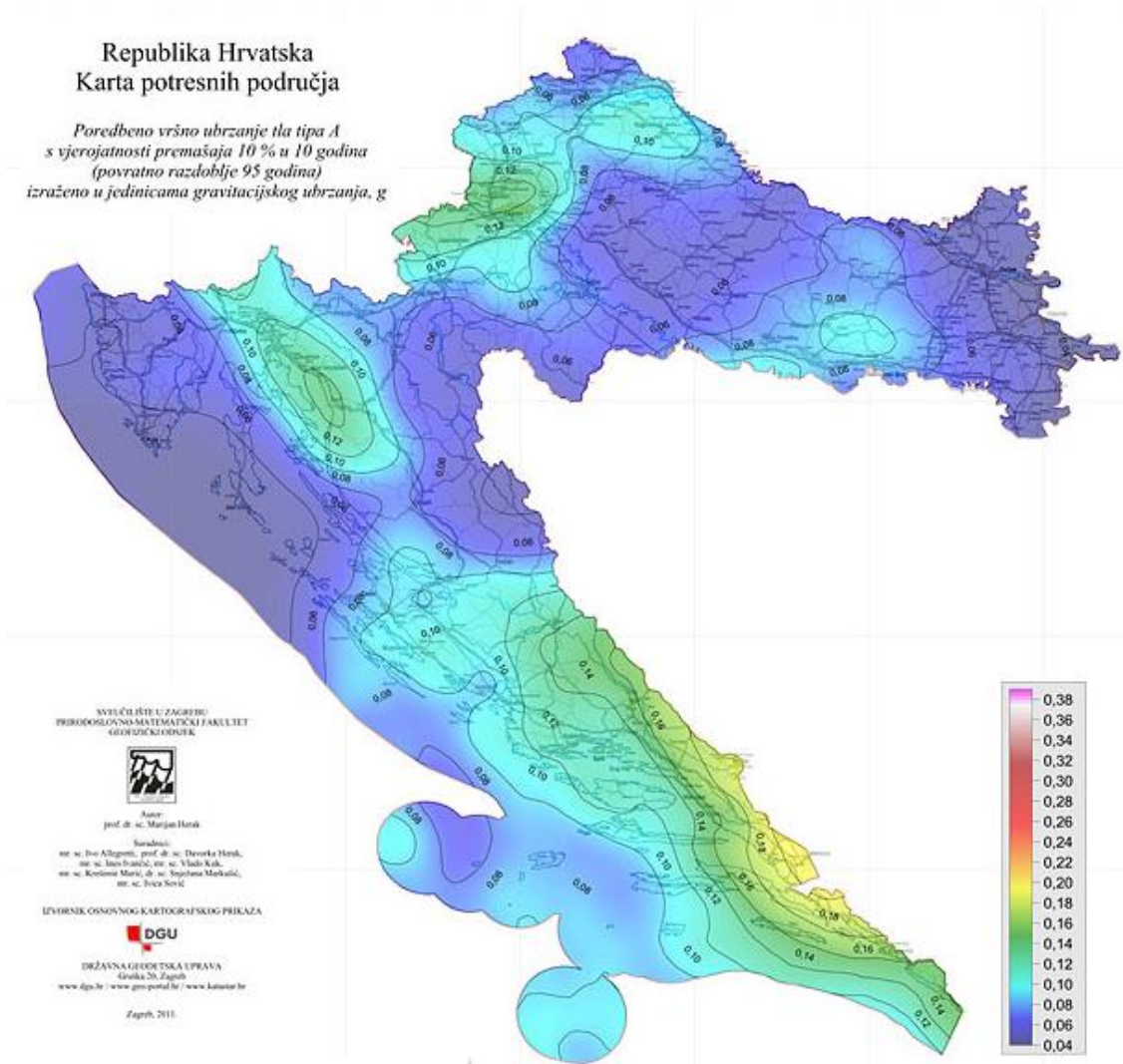
($T_{NCR} = 475$ godina; 50 godina; $P_{NCR} = 10\%$): $a_{gr,GSN} = 0,22 \text{ g} = 2,00 \text{ m/s}^2$



Crtež 4.4. Karta potresnih područja Hrvatske za poredbena vršna ubrzanja temeljnog tla a_{gr} za temeljno tlo tipa A, za poredbeno povratno razdoblje potresa $T_{NCR} = 475$ godina

-za granično stanje uporabljivosti očitano sa Crteža 4.5.

($T_{NCR} = 95$ godina; 10 godina; $P_{NCR} = 10\%$): $a_{gr,GSU} = 0,12 g = 1,10 m/s^2$



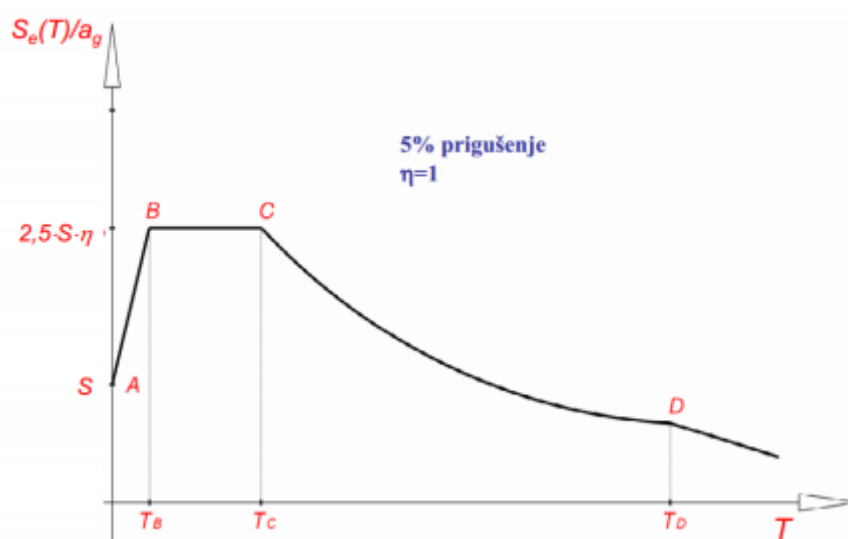
Crtež 4.4. Karta potresnih područja Hrvatske za poredbena vršna ubrzanja temeljnog tla a_{gr} za temeljno tlo tipa A, za poredbeno povratno razdoblje potresa $T_{NCR} = 95$ godina

Računsko ubrzanje tla a_g ovisi o stupnju seizmičkog rizika i određuje se na temelju odgovarajućih seizmoloških ispitivanja lokacije građevine ili prema usvojenim vrijednostima za seizmička područja državnog teritorija.

Seizmičko djelovanje obično se predstavlja sa tri komponente (gibanje točke opisuje s dvije horizontalne i jednom vertikalnom komponentom). Za određivanje jedne komponente seizmičkog djelovanja obično se koristi spektar seizmičkog ubrzanja tla u jednom translacijskom smjeru.

Spektar odaziva podrazumjeva proračun odaziva konstrukcije. U slučaju gdje je proračunsko seizmičko opterećenje određeno na temelju spektra odziva potrebno je proračunati samo učinke djelovanja.

Elastični spektar odgovora (ubrzanja) definira se analitički i kvalitativno.



Crtež 4.5. Elastični spektar odgovora za horizontalno seizmičko djelovanje

Izrazi za elastični spektar odgovora:

$$0 \leq T \leq T_B \quad S_e(T) = a_g S ((1 + T/T_B)(\eta\beta_0 - 1))$$

$$T_B \leq T \leq T_C \quad S_e(T) = a_g \eta S \beta_0$$

$$T_C \leq T \leq T_D \quad S_e(T) = a_g \eta S \beta_0 (T_C/T)^{k_1}$$

$$T_D \leq T \quad S_e(T) = a_g \eta S \beta_0 (T_C/T)^{k_1} (T_D/T)^{k_2}$$

Pri čemu su:

- $S_e(t)$ ordinata spektra odgovora u jedinici ubrzanja tla
- a_g osnovno računsko ubrzanje tla
- S modificirani faktor tla
- T osnovni period osciliranja linearnog sustava
- T_B, T_C granice intervala konstantnog spektra ubrzanja
- T_D granica koja definira početak područja spektra s konstantnim pomacima
- β_0 faktor spektralnog ubrzanja; $\beta_0=2.5$
- k_1, k_2 eksponenti koji utječu na olik spektra odgovora za $T \geq T_C$
- η korekcijski faktor prigušenja (iznosi 1 za viskozno prigušenje 5%)

Utjecaj potresa na konstrukciju ovisi i o vrsti tla na kojem se konstrukcija gradi.

Proračunska konstrukcija spada u razred tla A za koji vrijedi:

-stjenovita tla s brzinom širenja poprečnih valova $v_s \geq 800$ m/s

-pjeskovita i šljunkovita tla s $v_s \geq 800$ m/s, na dubini od 10 m

Za odgovarajući spektar ubrzanja uzimamo iduće parametre:

Tablica 4.4. Potresni parametri koji opisuju elastični spektar titranja za pojedine razrede tla

Kategorija tla	S	β_0	k_1	k_2	T_B	T_C	T_D
A	1,0	2,5	1,0	2,0	0,1	0,4	3,0

Da izbjegnemo opsežnu nelinearnu analizu sustava, uzimamo u obzir mogućnost disipacije energije konstrukcije preko duktilnosti njenih elemenata (i drugih nelinearnih efekata) te koristimo linearnu analizu koja se zasniva na računskom spektru odgovora koji je reduciran u odnosu na elastični spektar. Računski spektar odgovora dobiva se iz elastičnog tako da mu se vrijednost zamjeni recipročnom vrijednošću faktora ponašanja q .

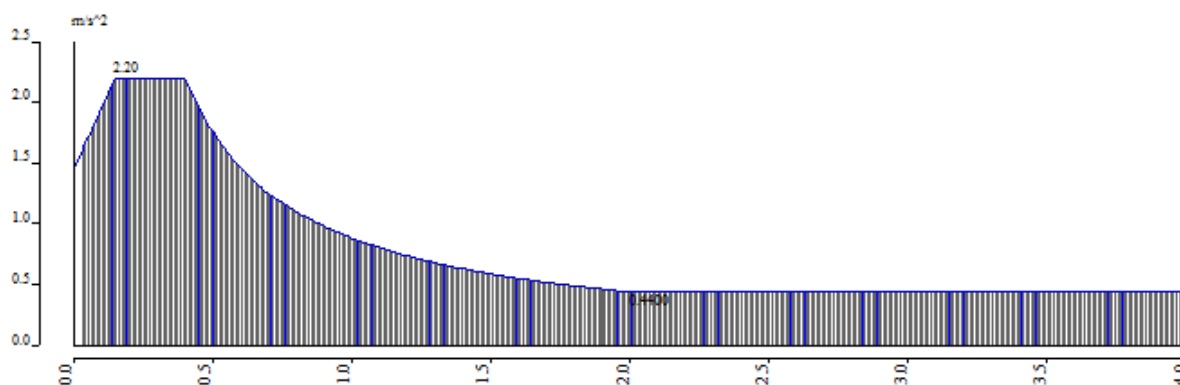
Faktor ponašanja (q) za ovakvu vrstu građevine sa armirano-betonskim prizemljem uzet je 2,5.

Tablica 4.5. Tipovi gradnje i faktor ponašanja

Tipovi gradnje	Faktor ponašanja q	
	EN 1998-1	NA ¹⁾
Nearmirano zide – samo EN 1996 (preporuka: mala seizmičnost)	1,5	
Nearmirano zide – EN 1996 i EN 1998-1	1,5 – 2,5	2,0
Omeđeno zide	2,0 – 3,0	2,5
Armirano zide	2,5 – 3,0	2,5

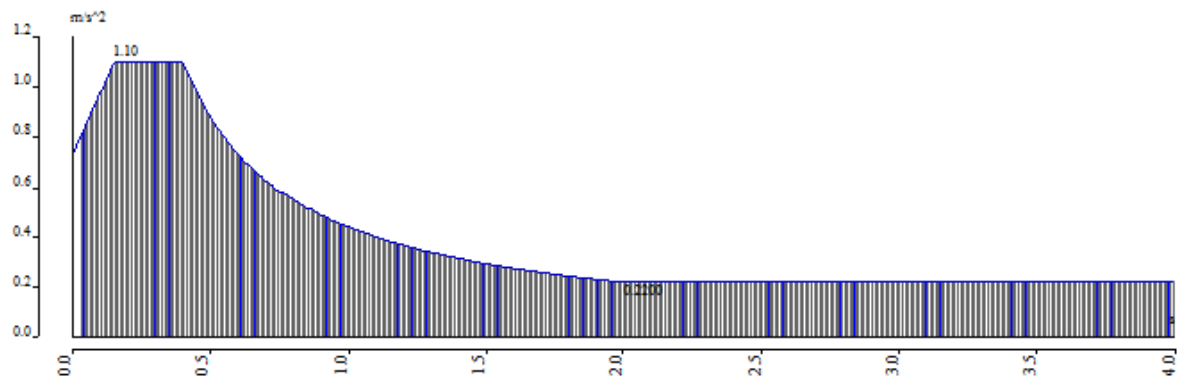
Faktor važnosti građevine $\gamma_1 = 1,0$ (obične zgrade, koje ne spadaju u ostale kategorije važnosti zgrada).

Klasa duktilnosti DC "M" (konstrukcije posebno otporne na potres, ne dolazi do krhkog loma pod cikličkim djelovanjem sila potresa u području plastičnih zglobova).



Crtež 4.6. Računski spektar odgovora za oba smjera (X, Y) za $T_{NCR}=475$ godina

$$a_{gr,GSN} = 0,22 \text{ g} = 2,00 \text{ m/s}^2, q = 2,5, \text{ tlo A}$$



Crtež 4.7. Računski spektar odgovora za oba smjera (X, Y) za $T_{NCR}=95$ godina

$$a_{gr,GSU} = 0,12 \text{ g} = 1,10 \text{ m/s}^2, q = 2,5, \text{ tlo A}$$

Slučajni torzijski učinci (T)

Kako bi se uzele u obzir neizvjesnosti u položaju masa i prostorne promjene potresnog gibanja, smatra se da je proračunato središte masa na svakom stropu i pomaknuto iz svog nazivnog položaja u svakom smjeru za slučajnu ekcentričnost.

Slučajni ekscentricitet: $e = \pm 0,05 L$

e - slučajna ekcentričnost mase

L – dimenzija stropa okomito na smjer potresnog djelovanja

Opterećenje konstrukcije ekcentricitetom je izračunato i u programu postavljeno ručno tako da su potresne reakcije za pojedini smjer djelovanja potresa pomnožene s iznosom ekscentriciteta za pojedini smjer te je potom dobiveni moment djelovanja raspodjeljen na 6 etaža konstrukcije.

4.3. KOEFICJENTI SIGURNOSTI I KOMBINACIJE OPTEREĆENJA

4.3.1. Parcijalni koeficijenti sigurnosti za materijale

Beton $\gamma_c = 1,5$

Čelik za armiranje, $\gamma_s = 1,15$

Za ziđe je usvojeno $\gamma_M = 2,20$

4.3.2. Kombinacije opterećenja

1) Granično stanje uporabljivosti

Oznaka kombinacije	Opis kombinacije i faktoriranje	Kontrola:
GSU-1	česta kombinacija: $1,0*(G_0 + G) + 0,5Q$	progibi ploča i slijeganje temelja
GSU-2	nazovistalna kombinacija $1,0*(G_0 + G) + 0,3Q$	ograničenje tlačnog naprezanja u AB elementima; dugotrajni progib

2) Granično stanje nosivosti

GSN-1	$1,35*(G_0+G) + 1,5*Q$
GSN-2	$1,35*(G_0+G) + 1,5*Q + 1,5*(0,6*WX)$
GSN-3	$1,35*(G_0+G) + 1,5*Q - 1,5*(0,6*WX)$
GSN-4	$1,35*(G_0+G) + 1,5*Q + 1,5*(0,6*WY)$
GSN-5	$1,35*(G_0+G) + 1,5*Q - 1,5*(0,6*WY)$
GSN-6	$1,35*(G_0+G) + 1,5*WX + 1,5*(0,6*Q)$
GSN-7	$1,35*(G_0+G) - 1,5*WX + 1,5*(0,6*Q)$
GSN-8	$1,35*(G_0+G) + 1,5*WY + 1,5*(0,6*Q)$
GSN-9	$1,35*(G_0+G) - 1,5*WY + 1,5*(0,6*Q)$
GSN-10	$1,0*(G_0+G) + 0,3*Q \pm 1,0*SX + 0,3*SY + TX$
GSN-11	$1,0*(G_0+G) + 0,3*Q \pm 1,0*SX + 0,3*SY - TX$
GSN-12	$1,0*(G_0+G) + 0,3*Q \pm 1,0*SY + 0,3*SY + TY$
GSN-13	$1,0*(G_0+G) + 0,3*Q \pm 1,0*SY + 0,3*SY - TY$

Anvelopa kombinacija

ANV2-9	Anvelopa kombinacija - (GSN-2, ... GSN-9)
ANV10-13	Anvelopa kombinacija - potres (GSN-10, ... GSN-13)

5. POJEDNOSTAVLJENI PRORAČUN ZIDOVA

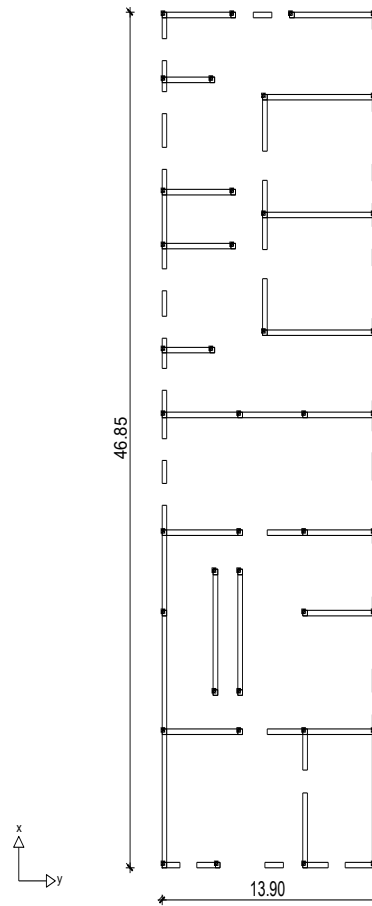
Zgrade koje zadovoljavaju sljedeće odredbe mogu se svrstati u "jednostavne zidane zgrade". Za takve zgrade izričita provjera sigurnosti nije obvezatna.

Pravila za jednostavne zidane zgrade

1. Ovisno o umnošku a_{gs} , za lokaciju i tip gradnje ograničuje se dopušteni broj katova iznad temeljnog tla, n , a u oba ortogonalna smjera treba predvidjeti zidove čija je najmanja ploština presjeka u svakom smjeru A_{min} . Najmanja ploština presjeka zidova izražena je kao najmanji postotak $p_{A,min}$ ukupne ploštine stropa po katu.
2. Tlocrt zgrade treba zadovoljiti sljedeće uvjete:
 - a) tlocrt treba biti približno pravokutan
 - b) omjer između duljine kraće i dulje stranice ne treba biti manji od najmanje vrijednosti $\lambda_{min} = 0,25$
 - c) projekcija istaka u odnosu na pravokutni oblik ne treba biti veća od $p_{max} = 15\%$ duljine stranice usporedno sa smjerom projekcije
3. Nosivo ziđe zgrade treba ispuniti sljedeće uvjete:
 - a) zgrada treba imat nosivo ziđe raspoređeno gotovo simetrično u tlocrtu u dva okomita smjera
 - b) treba postaviti najmanje po dva usporedna zida u dva okomita smjera, pri čemu duljina svakog zida treba biti veća od 30% duljine zgrade u promatranom smjeru.
 - c) razmak između tih zidova treba biti veći od 75% duljine zgrade u drugom smjeru
 - d) nosivi zidovi trebaju nositi najmanje 75% vertikalnog opterećenja
 - e) nosivi zidovi trebaju biti neprekinuti od temelja do vrha zgrade
4. U oba horizontalna smjera razlika masa i razlika ploština presjeka nosivih zidova susjednih katova treba biti ograničena maksimalnim vrijednostima $\Delta_{mass,max} = 20\%$ i $\Delta_{A,max} = 20\%$.

5.1. IZRAČUN UDJELA NOSIVIH ZIDOVA

- Debljina zidova: 0,3 m
- Tlocrtna površina etaže: $46,85 \times 13,90 = 651,22 \text{ m}^2$



Crtež 5.1. Tlocrt karakteristične etaže

Smjer X

Ukupna duljina zidova: 106,55 m

Ukupna površina zidova: $106,55 \times 0,3 = 31,97 \text{ m}^2$

Udio nosivih zidova: $31,97/651,22 = 0,049 = 4,9 \%$

Smjer Y

Ukupna duljina zidova: 82,10 m

Ukupna površina zidova: $82,10 \times 0,3 = 24,63 \text{ m}^2$

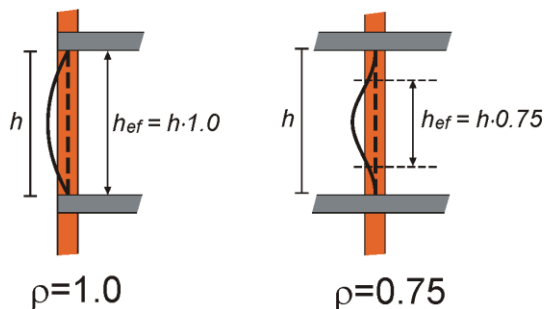
Udio nosivih zidova: $24,63/651,22 = 0,038 = 3,8 \%$

5.2. PRORAČUN ZIDOVA NA VERTIKALNA OPTEREĆENJA

Podaci za proračun zidova

- blok opeka, dimenzije: $d \times \text{š} \times v = 25 \times 30 \times 23,8 \text{ cm}$
- srednja tlačna čvrstoća blok: $f_{ck,sred} = 10,0 \text{ MPa}$
- normalizirana tlačna čvrstoća bloka: $f_b = 10,0 * 1,15 = 11,50 \text{ MPa}$
- grupa zidnih blokova: 2a ($K = 0,55$)
- mort: M10 ($f_m = 10,0 \text{ MPa}$)
- tlačna čvrstoća zida: $f_k = K \times f_b^{0,65} \times f_m^{0,25} = 0,55 * 11,50^{0,65} * 10,0^{0,25} = 4,784 \text{ MPa}$
- faktor smanjenja za vitkost i ekscentričnost (Φ_s) računa se po sljedećoj formuli:

$$\Phi_s = 0,85 - 0,0011 \left(\frac{h_{ef}}{t_{ef}} \right)^2$$



Crtež 5.2. Efektivna visina zida

- parcijalni koef. sigurnosti za materijale: $\gamma_M = 2,2$ (B kategorija kontrole izvedbe, 2. kategorija kontrole proizvodnje).
- debljina nosivih zidova: $t = 30 \text{ cm}$
- računaska uzdužna sila: $N_{Sd} = N_g * 1,35 + N_q * 1,5$
- računaska nosivost na uzdužnu silu: $N_{Rd} = \Phi_s * A * f_k / \gamma_M$

U nastavku je prikazan pojednostavljeni tablični proračun kojim je napravljena provjera nosivosti na vertikalna djelovanja u dva međusobno okomita smjera (smjer X i Y).

Proračunom se dokazuje da je računsko djelovanje manje od računске nosivosti:

$$N_{Sd} < N_{Rd}$$

Tablica 5.1. Dokaz mehaničke otpornosti zidova na vertikalno djelovanje, smjer X

Dokaz mehaničke otpornosti zida i stupova na vertikalna djelovanja (EN 1996-3)

$h=$ 2,90 m	= katna visina	$\gamma_w=$ 2,20	= parcijalni faktor sigurnosti za zide
$f_{tk}=$ 4,78 MPa	= tlačna čvrstoća zida	$\gamma_c=$ 1,50	= parcijalni faktor sigurnosti za beton
$f_{ck}=$ 25,0 MPa	= tlačna čvrstoća betona	$n=$ 6	= broj etaža

$$N_{Ed} = 1.3N_g + 1.5N_q \quad N_{Rd} = \Phi f_d A$$

zid / stup	dimenzije zida i otvora				ploha ujecaja		opt. međukatne k.		opt. krov		vl. težina zida/stupa [kN/m ³]	vertikalno djelovanje N _g [kN]	vertikalno djelovanje N _q [kN]	računsko vert.djel. N _{Ed} [kN]	koef. vitkosti Φ	računska nosivost N _{Rd} [kN]	N _{Ed} /N _{Rd} [%]
	debljina zida [m]	duljina zida [m]	duljina otvora [m]	netto pov. zida/stupa Ai [m ²]	ujecajna duljina L' [m]	ujecajna širina B' [m]	stalno opter. g [kN/m ²]	promj. opter. q [kN/m ²]	stalno opter. g [kN/m ²]	promj. opter. q [kN/m ²]							
Zx1/A-F	0,30	13,90	6,30	2,28	13,90	2,50	7,3	2,0	7,3	1,0	10,0	1919	382	3164	0,75	3715	85
Zx2/A-F	0,30	13,90	1,60	3,69	13,90	4,30	7,3	2,0	7,3	1,0	10,0	3260	657	5387	0,75	6013	90
Zx3/D-F	0,30	4,80	0,00	1,44	6,50	4,20	7,3	2,0	7,3	1,0	10,0	1446	300	2403	0,80	2503	96
Zx4/A-F	0,30	13,90	1,60	3,69	13,90	3,70	7,3	2,0	7,3	1,0	10,0	2895	566	4756	0,80	6414	74
Zx5/A-F	0,30	13,90	0,00	4,17	13,90	5,10	7,3	2,0	7,3	1,0	10,0	3831	780	6341	0,80	7248	87
Zx6/A-B	0,30	3,40	0,00	1,02	4,40	3,80	7,3	2,0	7,3	1,0	10,0	910	184	1504	0,80	1773	85
Zx7/D-F	0,30	7,40	0,00	2,22	8,85	3,80	7,3	2,0	7,3	1,0	10,0	1859	370	3065	0,80	3859	79
Zx8/A-C	0,30	4,75	0,00	1,43	5,50	3,50	7,3	2,0	7,3	1,0	10,0	1091	212	1791	0,80	2477	72
Zx9/D-F	0,30	7,40	0,00	2,22	7,40	4,50	7,3	2,0	7,3	1,0	10,0	1845	366	3040	0,80	3859	79
Zx10/A-C	0,30	4,75	0,00	1,43	5,50	3,50	7,3	2,0	7,3	1,0	10,0	1091	212	1791	0,80	2477	72
Zx11/D-F	0,30	7,40	0,00	2,22	8,90	3,50	7,3	2,0	7,3	1,0	10,0	1751	343	2877	0,80	3859	75
Zx12/A-B	0,30	3,40	0,00	1,02	4,50	2,40	7,3	2,0	7,3	1,0	10,0	651	119	1056	0,80	1773	60
Zx13/A-F	0,30	13,90	2,30	3,48	13,90	2,00	7,3	2,0	7,3	1,0	10,0	1823	306	2920	0,80	6049	48

Tablica 5.2. Dokaz mehaničke otpornosti zidova na vertikalno djelovanje, smjer Y

Dokaz mehaničke otpornosti zida i stupova na vertikalna djelovanja (EN 1996-3)

$h=$ 2,90 m	= katna visina	$\gamma_w=$ 2,20	= parcijalni faktor sigurnosti za zide
$f_{tk}=$ 4,78 MPa	= tlačna čvrstoća zida	$\gamma_c=$ 1,50	= parcijalni faktor sigurnosti za beton
$f_{ck}=$ 25,0 MPa	= tlačna čvrstoća betona	$n=$ 6	= broj etaža

$$N_{Ed} = 1.3N_g + 1.5N_q \quad N_{Rd} = \Phi f_d A$$

zid / stup	dimenzije zida i otvora				ploha ujecaja		opt. međukatne k.		opt. krov		vl. težina zida/stupe [kN/m ³]	vertikalno djelovanje N _g [kN]	vertikalno djelovanje N _q [kN]	računsko vert.djel. N _{Ed} [kN]	koef. vitkosti Φ	računska nosivost N _{Rd} [kN]	N _{Ed} /N _{Rd} [%]
	debljina zida [m]	duljina zida [m]	duljina otvora [m]	netto pov. zida/stupa Ai [m ²]	ujecajna duljina L' [m]	ujecajna širina B' [m]	stalno opter. g [kN/m ²]	promj. opter. q [kN/m ²]	stalno opter. g [kN/m ²]	promj. opter. q [kN/m ²]							
ZyA/12-13	0,30	3,70	1,20	0,75	3,70	1,60	7,3	2,0	7,3	1,0	10,0	390	65	624	0,75	1222	51
ZyA/10-12	0,30	6,15	2,40	1,13	6,10	1,80	7,3	2,0	7,3	1,0	10,0	677	121	1095	0,75	1833	60
ZyA/8-10	0,30	2,95	0,00	0,89	2,90	2,20	7,3	2,0	7,3	1,0	10,0	433	70	690	0,75	1442	48
ZyA/6-8	0,30	5,70	2,40	0,99	5,70	2,40	7,3	2,0	7,3	1,0	10,0	771	150	1267	0,75	1613	79
ZyA/5-6	0,30	3,55	1,20	0,71	3,55	1,80	7,3	2,0	7,3	1,0	10,0	403	70	649	0,75	1149	56
ZyA/4-5	0,30	6,45	2,40	1,22	6,45	2,60	7,3	2,0	7,3	1,0	10,0	946	184	1554	0,75	1980	78
ZyA/2-4	0,30	10,90	0,00	3,27	10,90	2,20	7,3	2,0	7,3	1,0	10,0	1619	264	2582	0,75	5329	48
ZyA/1-2	0,30	7,45	0,00	2,24	7,45	3,80	7,3	2,0	7,3	1,0	10,0	1629	311	2666	0,75	3642	73
ZyB/2-4	0,30	6,90	0,00	2,07	7,50	2,00	7,3	2,0	7,3	1,0	10,0	1017	165	1621	0,80	3598	45
ZyC/2-4	0,30	6,90	0,00	2,07	7,50	3,00	7,3	2,0	7,3	1,0	10,0	1346	248	2188	0,80	3598	61
ZyD/9-11	0,30	6,45	1,60	1,46	6,00	4,40	7,3	2,0	7,3	1,0	10,0	1409	290	2338	0,80	2529	92
ZyD/7-9	0,30	6,45	1,60	1,46	6,20	4,40	7,3	2,0	7,3	1,0	10,0	1448	300	2405	0,80	2529	95
ZyE/1-2	0,30	7,00	1,25	1,73	7,00	4,40	7,3	2,0	7,3	1,0	10,0	1649	339	2735	0,80	2998	91
ZyF/1-2	0,30	7,60	0,00	2,28	7,60	3,80	7,3	2,0	7,3	1,0	10,0	1662	318	2720	0,80	3963	69

5.3. PRORAČUN ZIDOVA NA POTRESNA DJELOVANJA

Proračun ukupne potresne poprečne sile

- Zona seizmičnosti: VIII ($a_g = 0,2g$)
- Kategorija tla: A (stijena) $\rightarrow S=1,0$ (faktor tla)
- Tip spektra: 1 (visoka seizmičnost)
- Broj katova: 5 + prizemlje
- Visina kata: $h = 2,9$ m
- Visina prizemlja AB prizemlja: $h = 3,7$ m

Ukupna poprečna potresna sila iznosi:

$$F_b = S_d(T_1) \cdot m \cdot \lambda$$

$S_d(T_1)$ = ordinata računskog spektra za period T_1

$T_1 = 0,016 \cdot H$ – osnovni period vibracija zgrade (s)

$H = 5 \cdot 2,9 + 3,7 = 18,2$ (m) - visina zgrade

$$T_1 = 0,016 \cdot 18,2 = 0,29$$

Ordinata računskog spektra nalazi se u području horizontalnog dijela spektra između točaka B i C jer je $T_B < T_1 < T_C$:

Tablica 5.2. Vrijednosti horizontalnog elastičnog spektra odgovora kategorije tla A

III PL4	S	T_B (s)	T_C (s)	T_D (s)
A	1,0	0,15	0,4	2,0

$$T_B \leq T_1 \leq T_C ; \rightarrow S_d(T_1) = (a_g \cdot S \cdot \beta_0) / q$$

$\beta_0 = 2,5$ - faktor povećanja spektralnog ubrzanja pri viskoznom prigušenju $\xi = 5\%$

$q = 2,5$ - faktor ponašanja za omeđeno zide

a_g – računsko ubrzanje tla za određeni povratni period potresa : $a_g = a_{gR} \gamma_I$

γ_I – faktor važnosti građevine; razredu važnosti II. (obične zgrade) odgovara faktor važnosti $\gamma_I=1,0$

$$S_d(T_1) = (a_g \cdot S \cdot \beta_0) / q = (0,2g \cdot 1,0 \cdot 2,5) / 2,5 = 0,2g$$

$m = W / g$ – ukupna masa ; W - računska težina zgrade

$\lambda = 1,0$ - korekcijski faktor

Računska težina zgrade (W):

6. ETAŽA I POZ 600:

POZ 600: $(g+f \cdot y_{2iq}) \cdot A = (7,25+1,0 \cdot 0,3 \cdot 1,0) \cdot 651,22 =$	4916,71 kN
grede i serklaži 600: $b \cdot h' \cdot L_{uk} \cdot \gamma_c = 0,3 \cdot 0,3 \cdot 355,05 \cdot 25,0 =$	798,86 kN
zidovi 6. etaže: $g_z \cdot h_z \cdot L_{uk} = 3,0 \cdot 2,9 \cdot 160,8 =$	1398,96 kN
	$W_6 = 7114,53$ kN

5. ETAŽA I POZ 500:

POZ 500: $(g+f \cdot y_{2iq}) \cdot A = (7,7+1,0 \cdot 0,3 \cdot 1,0) \cdot 651,22 =$	5209,76 kN
grede i serklaži 500: $b \cdot h' \cdot L_{uk} \cdot \gamma_c = 0,3 \cdot 0,3 \cdot 355,05 \cdot 25,0 =$	798,86 kN
zidovi 5. etaže: $g_z \cdot h_z \cdot L_{uk} = 3,0 \cdot 2,9 \cdot 160,8 =$	1398,96 kN
	$W_5 = 7407,58$ kN

4. ETAŽA I POZ 400:

POZ 400: $(g+f \cdot y_{2iq}) \cdot A = (7,7+1,0 \cdot 0,3 \cdot 1,0) \cdot 651,22 =$	5209,76 kN
grede i serklaži 400: $b \cdot h' \cdot L_{uk} \cdot \gamma_c = 0,3 \cdot 0,3 \cdot 355,05 \cdot 25,0 =$	798,86 kN
zidovi 4. etaže: $g_z \cdot h_z \cdot L_{uk} = 3,0 \cdot 2,9 \cdot 160,8 =$	1398,96 kN
	$W_4 = 7407,58$ kN

3. ETAŽA I POZ 300:

POZ 300: $(g+f \cdot y_{2iq}) \cdot A = (7,7+1,0 \cdot 0,3 \cdot 1,0) \cdot 651,22 =$	5209,76 kN
grede i serklaži 300: $b \cdot h' \cdot L_{uk} \cdot \gamma_c = 0,3 \cdot 0,3 \cdot 355,05 \cdot 25,0 =$	798,86 kN
zidovi 3. etaže: $g_z \cdot h_z \cdot L_{uk} = 3,0 \cdot 2,9 \cdot 160,8 =$	1398,96 kN
	$W_3 = 7407,58$ kN

2. ETAŽA I POZ 200:

$$\text{POZ 200: } (g+f \cdot y_{2iq}) \cdot A = (7,7+1,0 \cdot 0,3 \cdot 1,0) \cdot 651,22 = 5209,76 \text{ kN}$$

$$\text{grede i serklaži 200: } b \cdot h' \cdot L_{uk} \cdot \gamma_c = 0,3 \cdot 0,3 \cdot 355,05 \cdot 25,0 = 798,86 \text{ kN}$$

$$\text{zidovi 2. etaže: } g_z \cdot h_z \cdot L_{uk} = 3,0 \cdot 2,9 \cdot 160,8 = 1398,96 \text{ kN}$$

$$W_2 = 7407,58 \text{ kN}$$

1. ETAŽA I POZ 100:

$$\text{POZ 100: } (g+f \cdot y_{2iq}) \cdot A = (7,7+1,0 \cdot 0,3 \cdot 1,0) \cdot 651,22 = 5209,76 \text{ kN}$$

$$\text{stupovi 100: } b \cdot h' \cdot L_{uk} \cdot \gamma_c = 0,4 \cdot 0,4 \cdot 63,8 \cdot 25,0 = 255,2 \text{ kN}$$

$$\text{grede 100: } \gamma_c \cdot h' \cdot b \cdot L_{uk} = 25 \cdot 0,8 \cdot (0,4 \cdot 234,8 + 0,3 \cdot 10,15) = 1939,3 \text{ kN}$$

$$\text{zidovi 1. etaže: } \gamma_c \cdot h_z \cdot b_z \cdot L_{uk} = 25 \cdot 3,7 \cdot (0,4 \cdot 39,95 + 0,3 \cdot 23) = 2116,4 \text{ kN}$$

$$W_1 = 9520,66 \text{ kN}$$

Izračun težina skoncentriranih u razini međukatnih konstrukcija:

$$W_{600} = W_6/2 = 7114,53/2 = 3557,27 \text{ kN}$$

$$W_{500} = (W_6+W_5)/2 = (7114,53+7407,58)/2 = 7261,06 \text{ kN}$$

$$W_{400} = (W_5+W_4)/2 = (7407,58+7407,58)/2 = 7407,58 \text{ kN}$$

$$W_{300} = (W_4+W_3)/2 = (7407,58+7407,58)/2 = 7407,58 \text{ kN}$$

$$W_{200} = (W_3+W_2)/2 = (7407,58+7407,58)/2 = 7407,58 \text{ kN}$$

$$W_{100} = (W_2+W_1)/2 = (7407,58+9520,66)/2 = 8464,12 \text{ kN}$$

Ukupna računska težina zgrade:

$$W = \sum W_i = 3557,27 + 7261,06 + 3 \cdot (7407,58) + 8464,12 = 41505,19 \text{ kN}$$

$$m = W/g = 41505,19 \text{ kN} / 9,81 \text{ m/s}^2 = 4230,91 \text{ kNs/m}$$

Ukupna potresna poprečna sila iznosi:

$$F_b = S_d(T_1) \cdot m \cdot \lambda = 0,2 \cdot 9,81 \cdot 4230,91 \cdot 1,0 = 8301,05 \text{ kN}$$

Razdioba ukupne potresne sile po zidovima

$$F_{b,i} = F_b * \left(\frac{W_i * z_i}{\sum(W_i * z_i)} \right)$$

$$F_{b,600} = 8301,05 * \left(\frac{3557,27 * 18,2}{8464,12 * 3,7 + 7407,58 * 6,6 + 7407,58 * 9,5 + 7407,58 * 12,4 + 7261,06 * 15,3 + 3557,27 * 18,2} \right)$$
$$= 1284,88 \text{ kN}$$

$$F_{b,500} = 8301,05 * \left(\frac{7261,06 * 15,3}{8464,12 * 3,7 + 7407,58 * 6,6 + 7407,58 * 9,5 + 7407,58 * 12,4 + 7261,06 * 15,3 + 3557,27 * 18,2} \right)$$
$$= 2204,79$$

$$F_{b,400} = 8301,05 * \left(\frac{7407,58 * 12,4}{8464,12 * 3,7 + 7407,58 * 6,6 + 7407,58 * 9,5 + 7407,58 * 12,4 + 7261,06 * 15,3 + 3557,27 * 18,2} \right)$$
$$= 1822,95 \text{ kN}$$

$$F_{b,300} = 8301,05 * \left(\frac{7407,58 * 9,5}{8464,12 * 3,7 + 7407,58 * 6,6 + 7407,58 * 9,5 + 7407,58 * 12,4 + 7261,06 * 15,3 + 3557,27 * 18,2} \right)$$
$$= 1396,61 \text{ kN}$$

$$F_{b,200} = 8301,05 * \left(\frac{7407,58 * 6,6}{8464,12 * 3,7 + 7407,58 * 6,6 + 7407,58 * 9,5 + 7407,58 * 12,4 + 7261,06 * 15,3 + 3557,27 * 18,2} \right)$$
$$= 970,98 \text{ kN}$$

$$F_{b,100} = 8301,05 * \left(\frac{8464,12 * 3,7}{8464,12 * 3,7 + 7407,58 * 6,6 + 7407,58 * 9,5 + 7407,58 * 12,4 + 7261,06 * 15,3 + 3557,27 * 18,2} \right)$$
$$= 621,53 \text{ kN}$$

Kontrola: $\sum F_{b,i} = F_b$

$$\sum F_{b,i} = 1284,88 + 2204,79 + 1822,95 + 1396,61 + 970,98 + 621,53 = 8301,05$$

$$8301,05 = 8301,05$$

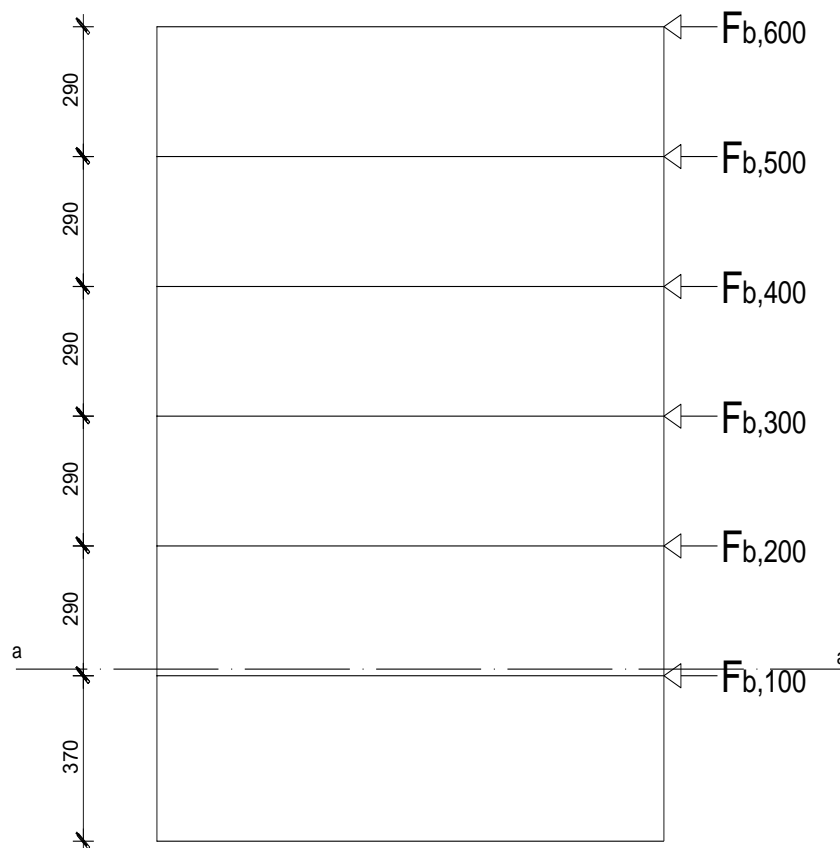
Ukupna poprečna sila uslijed potresa na promatranoj etaži iznosi:

$$V_{sd}^{a-a} = F_b - F_{b,100} = 8301,05 - 621,53 = 7679,52 \text{ kN}$$

Ukupan moment savijanja:

$$M_{Ed} = F_{200} * h_{200} + F_{300} * h_{300} + F_{400} * h_{400} + F_{500} * h_{500} + F_{600} * h_{600}$$

$$M_{Ed}^{a-a} = 970,98 * (6,6 - 3,7) + 1396,61 * (9,5 - 3,7) + 1822,95 * (12,4 - 3,7) + 2204,79 * (15,3 - 3,7) + 1284,88 * (18,2 - 3,7) = 70982,17 \text{ kN}$$



Crtež 5.3. Raspodjela potresne sile po etažama [kN]

Tablica 5.3. Proračun sila od potresa, smjer X

Proračun sila od potresa - smjer X

- $V_{Ed} = 7680$ kN = ukupna poprečna sila od potresa
- $M_{Ed} = 70982,2$ kNm = ukupan moment od potresa
- $E = 4784$ MPa = modul elastičnosti
- $G = 765,4$ MPa = modul posmika
- $f_{tk} = 4,78$ MPa = tlačna čvrstoća zida
- $f_{vk} = 0,75$ MPa = posmična čvrstoća zida
- $\gamma_{RE} = 1,50$ = parcijalni faktor sigurnosti za zide
- $\gamma_s = 1,00$ = parcijalni faktor sigurnosti za armaturu

$$K_{e,act} = K_e \cdot k_1$$

$$k_1 = \left(1 - \frac{t \sum L_i}{0,85 A} \right)$$

$$K_e = \frac{GA}{1,2 h \left[1 + \alpha \frac{G}{E} \left(\frac{h}{L} \right)^2 \right]}$$

	1	2	3	4	5	6	7	8	9	10	11	12	13	14	15	16	17	18	19	20
Zid	debljina zida t [m]	duljina zida L [m]	površina zida A [m ²]	Σ duljina otvora Li [m]	visina zida H [m]	k1	K _{e,act} [MN/m]	početna krutost	moment od potresa M _{Ed} [kNm]	poprečna sila od potresa V _{Ed} [kN]	stalno djelovanje N _s [kN]	promjenjivo djelovanje N ₂ [kN]	računsko vert. sila N _{Ed} [kN]	sila z [m]	računsko djelovanje F _{Ed} [kN]	duljina tlačne zone xu [m]	računski nosivost V _{Ed} [kN]	nosivost V _{Ed} /V _{rd} [%]	F _{Ed} /F _{rd} [%]	Armat. As [cm ²]
Zx1/A-F	0,30	13,90	4,17	6,30	14,50	0,47	54,2	8164	883	1919	382	1976,3	11,12	1722,3	5,56	1459,5	5315,4	60,5	32,4	-5,1
Zx2/A-F	0,30	13,90	4,17	1,60	14,50	0,86	100,4	15121	1636	3260	657	3358,6	11,12	3039,1	5,56	1459,5	5315,4	112,1	57,2	-6,4
Zx3/D-F	0,30	4,80	1,44	0,00	14,50	1,00	10,8	1628	176	1446	300	1491,0	3,84	1169,4	1,92	504,0	1835,5	34,9	63,7	-6,4
Zx4/A-F	0,30	13,90	4,17	1,60	14,50	0,86	100,4	15121	1636	2885	566	2979,9	11,12	2849,8	5,56	1459,5	5315,4	112,1	53,6	-2,6
Zx3/A-F	0,30	13,90	4,17	0,00	14,50	1,00	116,1	17490	1892	3831	780	3948,0	11,12	3546,8	5,56	1459,5	5315,4	129,6	66,7	-8,0
Zx6/A-B	0,30	3,40	1,02	0,00	14,50	1,00	4,2	632	68	910	184	937,6	2,72	701,2	1,36	357,0	1300,2	19,2	53,9	-4,7
Zx7/D-F	0,30	7,40	2,22	0,00	14,50	1,00	32,1	4830	523	1859	370	1914,5	5,92	1773,1	2,96	777,0	2829,8	67,2	62,7	-2,8
Zx8/A-C	0,30	4,75	1,43	0,00	14,50	1,00	10,5	1583	171	1091	212	1122,8	3,80	978,0	1,90	498,8	1816,4	34,3	53,8	-2,9
Zx9/D-F	0,30	7,40	2,22	0,00	14,50	1,00	32,1	4830	523	1845	366	1899,9	5,92	1765,8	2,96	777,0	2829,8	67,2	62,4	-2,7
Zx10/A-C	0,30	4,75	1,43	0,00	14,50	1,00	10,5	1583	171	1091	212	1122,8	3,80	978,0	1,90	498,8	1816,4	34,3	53,8	-2,9
Zx11/D-F	0,30	7,40	2,22	0,00	14,50	1,00	32,1	4830	523	1751,0	343,0	1802,5	5,92	1747,1	2,96	777,0	2829,8	67,2	60,7	-1,7
Zx12/A-B	0,30	3,40	1,02	0,00	14,50	1,00	4,2	632	68	651,0	119,0	668,9	2,72	566,9	1,36	357,0	1300,2	19,2	43,6	-2,0
Zx13/A-F	0,30	13,90	4,17	2,30	14,50	0,81	93,5	14085	1524	1823,0	306,0	1868,9	11,12	2201,1	5,56	1459,5	5315,4	104,4	47,4	6,6

Tablica 5.4. Proračun sila od potresa, smjer Y

Proračun sila od potresa - smjer Y

- $V_{Ed} = 7680$ kN = ukupna poprečna sila od potresa
- $M_{Ed} = 70982,2$ kNm = ukupan moment od potresa
- $E = 4784$ MPa = modul elastičnosti
- $G = 765,4$ MPa = modul posmika
- $f_k = 4,78$ MPa = tlačna čvrstoća zida
- $f_{vk} = 0,75$ MPa = posmična čvrstoća zida
- $\gamma_{Rd} = 1,50$ = parcijalni faktor sigurnosti za zide
- $\gamma_s = 1,00$ = parcijalni faktor sigurnosti za armaturu

$$K_e \cdot \alpha_v = K_e \cdot k_1$$

$$k_1 = \left(I - \frac{t \cdot \Sigma L_i}{0,85 A} \right)$$

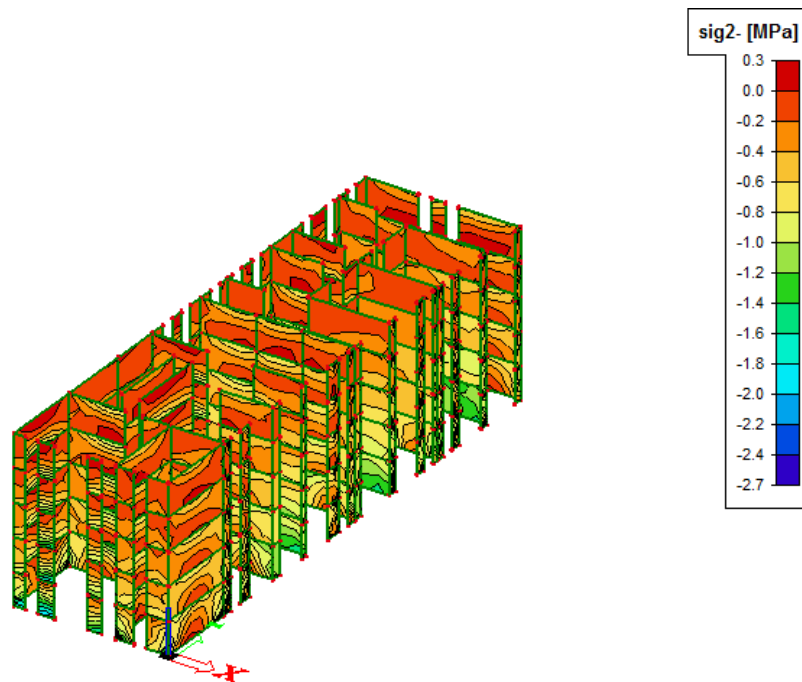
$$K_e = \frac{GA}{I \cdot 2h \left[I + \alpha \frac{G}{E} \left(\frac{h}{L} \right)^2 \right]}$$

Zid	1	2	3	4	5	6	7	8	9	10	11	12	13	14	15	16	17	18	19	20
	debljina zida t [m]	duljina zida L [m]	površina zida A [m ²]	Σ duljina otvora Li [m]	visina zida H [m]	k1	početna krutost $K_{e,ov}$ [MN/m]	moment od potresa M_{Ed} [kNm]	poprečna sila od potresa V_{Ed} [kN]	stajno djelovanje N_{Ed} [kN]	promjenjivo djelovanje N_{Ed} [kN]	računski vert. sila N_{Ed} [kN]	visina od osi zida z [m]	računsko djelovanje tlačne zone F_{sd} [kN]	duljina tlačne zone xu [m]	računski nosivost V_{Ed} [kN]	nosivost V_{Ed}/V_{Rd} [%]	F_{sd}/F_{Rd} [%]	Arm. A_s [cm ²]	
ZyA/12-13	0,30	3,70	1,11	1,20	14,50	0,62	3,3	1197	129	390	65	399,8	2,96	604,2	1,48	388,5	1414,9	33,3	42,7	4,1
ZyA/10-12	0,30	6,15	1,85	2,40	14,50	0,54	11,1	4033	436	677	121	695,2	4,92	1167,2	2,46	645,8	2351,8	67,6	49,6	9,4
ZyA/6-10	0,30	2,95	0,89	0,00	14,50	1,00	2,8	1021	110	433	70	443,5	2,36	654,5	1,18	309,8	1128,1	35,7	58,0	4,2
ZyA/6-8	0,30	5,70	1,71	2,40	14,50	0,50	8,5	3106	336	771	150	793,5	4,56	1077,9	2,28	586,5	2179,7	56,1	49,5	5,7
ZyA/5-6	0,30	3,55	1,07	1,20	14,50	0,60	2,9	1039	112	403	70	413,5	2,84	572,4	1,42	372,8	1357,5	30,1	42,2	3,2
ZyA/4-5	0,30	6,45	1,94	2,40	14,50	0,56	13,0	4717	510	946	184	973,6	5,16	1400,9	2,58	677,3	2466,5	75,3	56,8	8,5
ZyA/2-4	0,30	10,90	3,27	0,00	14,50	1,00	74,0	26945	2915	1619	264	1658,6	8,72	3919,3	4,36	1144,5	4168,2	254,7	94,0	45,2
ZyA/1-2	0,30	7,45	2,24	0,00	14,50	1,00	32,6	11854	1283	1629	311	1675,7	5,96	2826,8	2,98	782,3	2848,9	164,0	99,2	23,0
ZyB/2-4	0,30	6,90	2,07	0,00	14,50	1,00	27,2	9884	1069	1017	165	1041,8	5,52	2311,4	2,76	724,5	2638,6	147,6	87,6	25,4
ZyC/2-4	0,30	6,90	2,07	1,60	14,50	0,73	19,7	7187	778	1346	248	1383,2	5,52	1993,7	2,76	724,5	2638,6	107,3	75,6	12,2
ZyD/9-11	0,30	6,45	1,94	1,60	14,50	0,71	16,3	5941	643	1409,0	290,0	1452,5	5,16	1877,6	2,58	677,3	2466,5	94,9	76,1	8,5
ZyD/7-9	0,30	6,60	1,98	1,60	14,50	0,71	17,4	6344	686	1918,0	416,0	1980,4	5,28	2191,7	2,64	693,0	2523,8	99,0	86,8	4,2
ZyE/1-2	0,30	7,00	2,10	1,25	14,50	0,79	22,2	8081	874	1649,0	339,0	1699,9	5,60	2283,0	2,80	735,0	2676,8	119,0	85,7	11,9
ZyF/1-2	0,30	7,60	2,28	0,00	14,50	1,00	34,1	12418	1343	1662,0	318,0	1709,7	6,08	2897,2	3,04	798,0	2906,2	168,4	99,7	23,8

5.4. PRIKAZ NAPREZANJA ZIDOVA

Prikaz naprezanja zidanih zidova konstrukcije sa AB prizemljem iz programskog modela za kombinaciju opterećenja GSN-1 (Crtež 5.4.) te za potresnu anvelopu opterećenja ANV 10-13 (Crtež 5.5.).

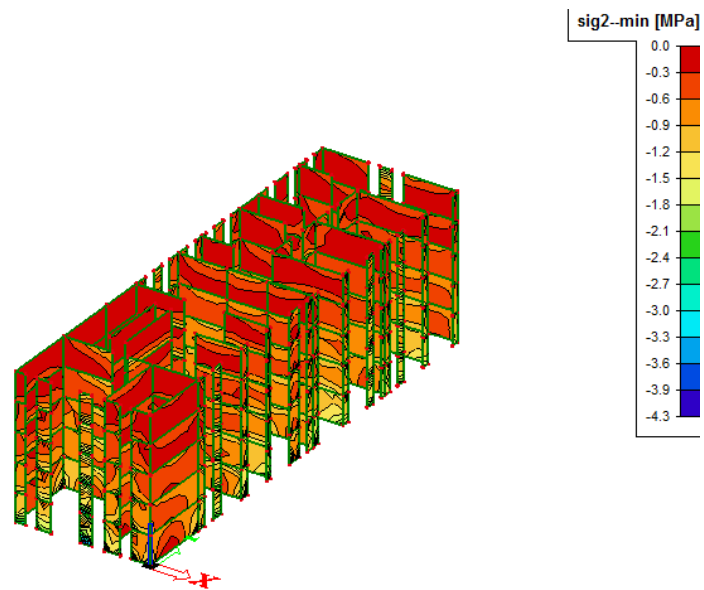
1) Osnovna kombinacija opterećenja



Slika 5.4. Prikaz glavnih tlačnih naprezanja [MPa] u osi zida za osnovnu kombinaciju

$$\text{GSN-1: } 1,35 \cdot (G_0 + G) + 1,5Q$$

2) Anvelopa potresnog opterećenja



Slika 5.5. Prikaz glavnih tlačnih naprezanja [MPa] u osi zida za anvelopu potresa

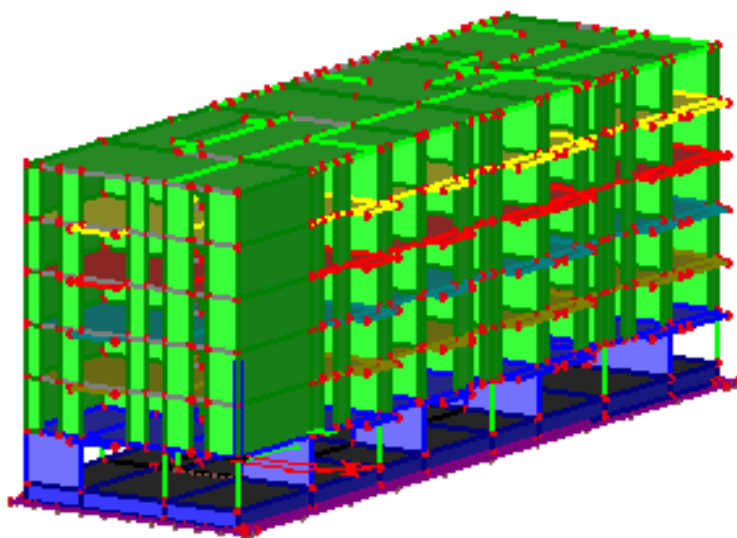
ANV 10-13

Ni za jednu kombinaciju opterećenja maksimalno naprezanje u zidanim zidovima ne prelazi čvrstoću zida $f_k = 4,784$ MPa.

6. REZULTATI PRORAČUNA NA POTRES

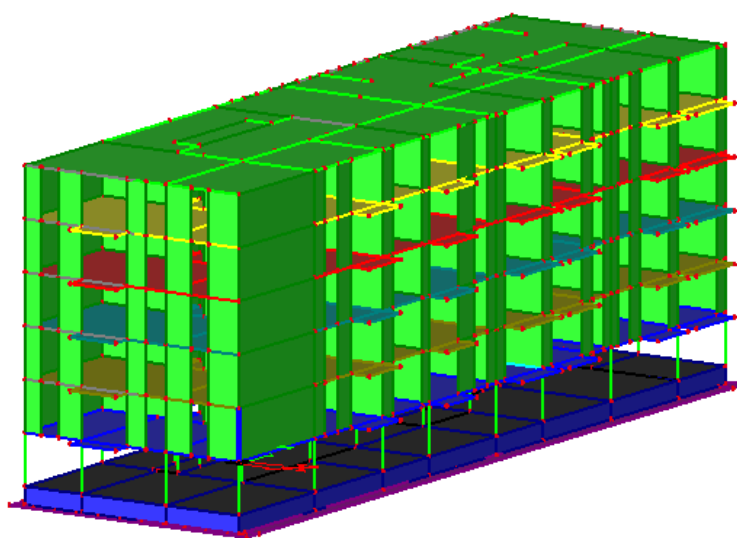
Proračun na potres je proveden u računalnom programu SCIA Engineer 16.1 u kojoj je napravljen model konstrukcije s armirano-betonskim prizemljem te model konstrukcije s prizemljem na stupovima. Oba analizirana modela temeljena su na trakastom tipu temelja.

- 1) Model konstrukcije sa AB prizemljem



Crtež 6.1. Prikaz modela zidane zgrade sa AB prizemljem

- 2) Model konstrukcije sa prizemljem na stupovima



Crtež 6.2. Prikaz modela zidane zgrade sa prizemljem na stupovima

6.1. PRIKAZ GLAVNIH VEKTORA ZA ZGRADU S AB PRIZEMLJEM

Spektralnom analizom obuhvaćeno je prvih 50 modova konstrukcije.

Tablica 6.1. Prikaz vlastitih vektora

Mode	Omega [rad/s]	Period [s]	Freq. [Hz]	Wxi / Wxtot	Wyi / Wytot	Wzi / Wztot	Wxi_R / Wxtot_R	Wyi_R / Wytot_R	Wzi_R / Spectral
1	16.9854	0.3699	2.7033	0.2035	0.2261	0.0001	0.0372	0.1172	0.1925
2	18.6211	0.3374	2.9636	0.3973	0.1821	0.0000	0.0266	0.2349	0.0430
3	23.4307	0.2682	3.7291	0.0113	0.2539	0.0000	0.0428	0.0072	0.3992
4	47.6398	0.1319	7.5821	0.0000	0.0074	0.6004	0.2200	0.0002	0.0000
5	50.7921	0.1237	8.0838	0.0012	0.0125	0.3248	0.4675	0.0021	0.0010
6	55.9538	0.1123	8.9053	0.0012	0.0071	0.0005	0.0483	0.0012	0.0016
7	58.6757	0.1071	9.3385	0.0093	0.0870	0.0034	0.0222	0.0212	0.0457
8	60.8092	0.1033	9.6781	0.0000	0.0000	0.0000	0.0000	0.0000	0.0000
9	62.8737	0.0999	10.0067	0.0002	0.0002	0.0003	0.0003	0.0002	0.0002
10	64.5947	0.0973	10.2806	0.0000	0.0005	0.0005	0.0007	0.0000	0.0003
11	64.8154	0.0969	10.3157	0.0911	0.0024	0.0095	0.0019	0.1718	0.0374
12	65.9768	0.0952	10.5005	0.0574	0.0385	0.0025	0.0145	0.1622	0.0045
13	69.2974	0.0907	11.0290	0.0127	0.0000	0.0016	0.0058	0.0199	0.0023
14	70.1310	0.0896	11.1617	0.0493	0.0005	0.0011	0.0027	0.0315	0.0021
15	71.7051	0.0876	11.4122	0.0266	0.0001	0.0009	0.0168	0.0164	0.0141
16	72.2564	0.0870	11.5000	0.0177	0.0268	0.0097	0.0064	0.0666	0.1126
17	79.2686	0.0793	12.6160	0.0017	0.0001	0.0046	0.0061	0.0000	0.0005
18	79.3274	0.0792	12.6254	0.0003	0.0001	0.0007	0.0014	0.0000	0.0000
19	81.2076	0.0774	12.9246	0.0001	0.0001	0.0001	0.0000	0.0001	0.0002
20	82.2153	0.0764	13.0850	0.0015	0.0009	0.0006	0.0008	0.0008	0.0045
21	83.0275	0.0757	13.2142	0.0129	0.0058	0.0017	0.0038	0.0051	0.0264
22	84.9381	0.0740	13.5183	0.0003	0.0000	0.0000	0.0007	0.0000	0.0005
23	87.2874	0.0720	13.8922	0.0000	0.0000	0.0000	0.0000	0.0000	0.0000
24	88.6624	0.0709	14.1111	0.0029	0.0000	0.0015	0.0006	0.0003	0.0023
25	89.4635	0.0702	14.2386	0.0014	0.0008	0.0000	0.0000	0.0005	0.0002
26	89.7377	0.0700	14.2822	0.0007	0.0016	0.0005	0.0022	0.0011	0.0007
27	89.7790	0.0700	14.2888	0.0014	0.0005	0.0001	0.0002	0.0001	0.0004
28	90.9298	0.0691	14.4719	0.0009	0.0001	0.0000	0.0002	0.0001	0.0023
29	91.6443	0.0686	14.5856	0.0001	0.0000	0.0000	0.0001	0.0000	0.0002
30	93.7333	0.0670	14.9181	0.0004	0.0001	0.0073	0.0008	0.0008	0.0005
31	94.9088	0.0662	15.1052	0.0000	0.0000	0.0000	0.0000	0.0000	0.0000
32	96.8187	0.0649	15.4092	0.0000	0.0000	0.0000	0.0000	0.0000	0.0000
33	97.3572	0.0645	15.4949	0.0004	0.0001	0.0000	0.0001	0.0002	0.0005
34	98.4295	0.0638	15.6655	0.0005	0.0000	0.0001	0.0003	0.0006	0.0002
35	99.6633	0.0630	15.8619	0.0000	0.0000	0.0000	0.0000	0.0000	0.0000
36	100.1539	0.0627	15.9400	0.0000	0.0000	0.0003	0.0000	0.0000	0.0006
37	101.3755	0.0620	16.1344	0.0007	0.0002	0.0002	0.0007	0.0010	0.0001
38	102.1649	0.0615	16.2600	0.0000	0.0000	0.0000	0.0000	0.0000	0.0000
39	104.0444	0.0604	16.5592	0.0001	0.0005	0.0000	0.0002	0.0001	0.0002
40	105.4374	0.0596	16.7809	0.0000	0.0000	0.0000	0.0001	0.0000	0.0000
41	105.7564	0.0594	16.8316	0.0010	0.0015	0.0017	0.0018	0.0029	0.0003
42	106.8694	0.0588	17.0088	0.0053	0.0490	0.0001	0.0171	0.0050	0.0178
43	107.4469	0.0585	17.1007	0.0001	0.0001	0.0001	0.0003	0.0001	0.0001
44	107.6069	0.0584	17.1262	0.0002	0.0003	0.0004	0.0006	0.0001	0.0006
45	108.3886	0.0580	17.2506	0.0000	0.0014	0.0000	0.0008	0.0001	0.0005
46	110.1859	0.0570	17.5366	0.0000	0.0001	0.0002	0.0002	0.0000	0.0013

Mode	Omega [rad/s]	Period [s]	Freq. [Hz]	Wxi / Wxtot	Wyi / Wytot	Wzi / Wztot	Wxi_R / Wxtot_R	Wyi_R / Wytot_R	Wzi_R / Spectral
47	110.5467	0.0563	17.5940	0.0000	0.0018	0.0000	0.0008	0.0000	0.0000
48	110.9552	0.0566	17.6591	0.0000	0.0000	0.0001	0.0001	0.0001	0.0000
49	112.3788	0.0559	17.8856	0.0001	0.0000	0.0003	0.0001	0.0007	0.0000
50	112.6944	0.0558	17.9359	0.0000	0.0003	0.0000	0.0003	0.0001	0.0000
				0.9122	0.9104	0.9760	0.9541	0.8727	0.9176

Prema EC-8, zadovoljen je uvjet da suma svih upotrebljenih vlastitih oblika u proračunu moraju aktivirati najmanje 90% ukupne mase, kao i svi vlastiti oblici sa minimalno 5% aktivirane mase.

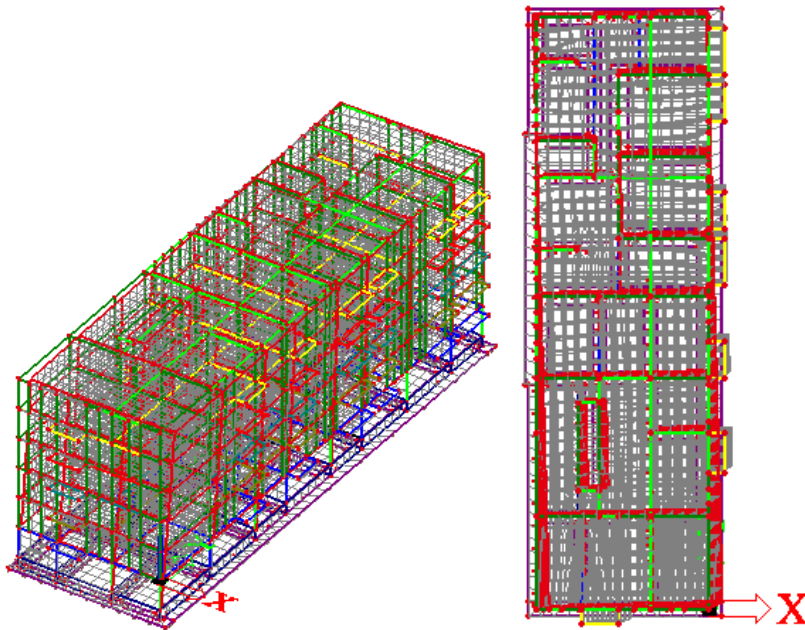
Ukupna aktivirana masa po smjerovima iznosi:

- za X smjer 91,22 %
- za Y smjer 91,04 %
- za Z smjer 97,60 %

Prikazani su modovi konstrukcije koji aktiviraju najviše mase, i to na kompletnoj konstrukciji.

a) Prvi vlastiti vektor

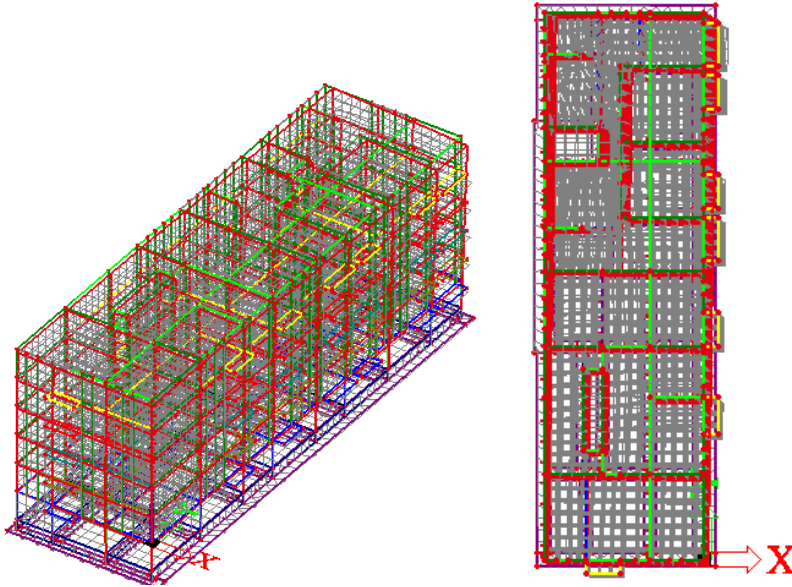
- period 0,3699 s
- aktivirano mase u X smjeru 20,35 %
- aktivirano mase u Y smjeru 22,61 %



Crtež 6.3. Mod 1

b) Drugi vlastiti vektor

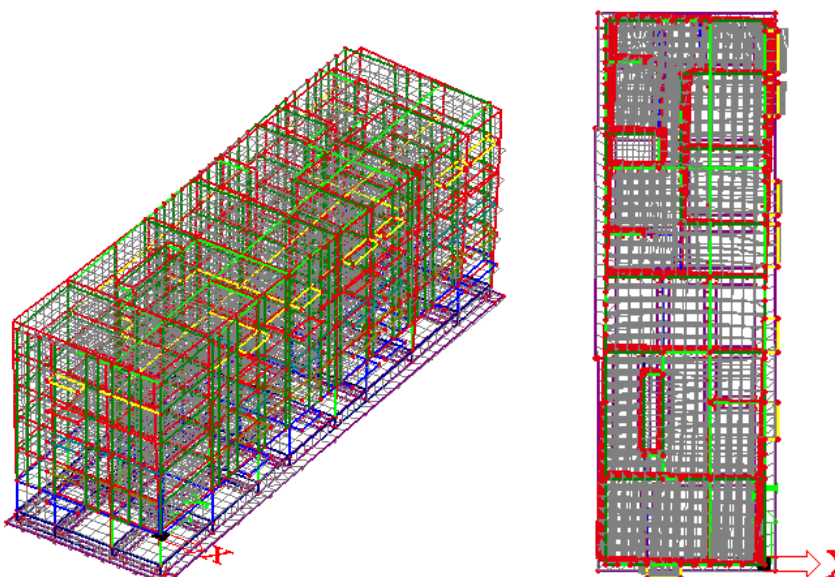
- period 0,3374 s
- aktivirano mase u X smjeru 39,7 %
- aktivirano mase u Y smjeru 18,21 %



Crtež 6.4. Mod 2

c) Treći vlastiti vektor

- period 0,2682 s
- aktivirano mase u X smjeru 1,13 %
- aktivirano mase u Y smjeru 25,39 %



Crtež 6.5. Mod 3

6.2. PRIKAZ GLAVNIH VEKTORA ZA ZGRADU NA STUPOVIMA

Spektralnom analizom obuhvaćeno je prvih 70 modova konstrukcije.

Tablica 6.2. Prikaz vlastitih vektora

Mode	Omega [rad/s]	Period [s]	Freq. [Hz]	Wxi / Wxtot	Wyi / Wytot	Wzi / Wztot	Wxi_R / Wxtot_R	Wyi_R / Wytot_R	Wzi_R / Spectral
1	17.5413	0.3582	2.7918	0.4619	0.0593	0.0000	0.0115	0.2507	0.1017
2	18.9094	0.3323	3.0095	0.1629	0.2794	0.0000	0.0491	0.0848	0.1810
3	23.0836	0.2722	3.6739	0.0067	0.3113	0.0000	0.0549	0.0035	0.3645
4	47.9522	0.1310	7.6318	0.0001	0.0043	0.7386	0.1290	0.0005	0.0000
5	50.1584	0.1253	7.9830	0.0014	0.0216	0.1952	0.5805	0.0029	0.0017
6	54.3547	0.1156	8.6508	0.0097	0.0835	0.0008	0.0017	0.0173	0.0374
7	56.7961	0.1106	9.0394	0.0345	0.0196	0.0020	0.0359	0.0734	0.0430
8	58.4755	0.1074	9.3067	0.1642	0.0382	0.0022	0.0259	0.3350	0.0005
9	60.8244	0.1033	9.6805	0.0000	0.0000	0.0000	0.0000	0.0000	0.0000
10	62.8990	0.0999	10.0107	0.0004	0.0000	0.0002	0.0002	0.0012	0.0015
11	63.3179	0.0992	10.0774	0.0186	0.0066	0.0000	0.0001	0.0523	0.1020
12	64.6186	0.0972	10.2844	0.0002	0.0005	0.0008	0.0009	0.0004	0.0005
13	66.0993	0.0951	10.5184	0.0024	0.0253	0.0151	0.0067	0.0028	0.0268
14	69.5057	0.0904	11.0622	0.0000	0.0008	0.0000	0.0026	0.0003	0.0013
15	70.0491	0.0897	11.1487	0.0016	0.0000	0.0000	0.0011	0.0122	0.0007
16	72.0026	0.0873	11.4596	0.0000	0.0005	0.0037	0.0228	0.0045	0.0000
17	79.3248	0.0792	12.6249	0.0000	0.0000	0.0001	0.0000	0.0000	0.0000
18	79.7376	0.0788	12.6906	0.0010	0.0000	0.0074	0.0013	0.0023	0.0007
19	81.1522	0.0774	12.9158	0.0003	0.0009	0.0005	0.0021	0.0000	0.0009
20	81.5110	0.0771	12.9729	0.0009	0.0026	0.0012	0.0060	0.0000	0.0029
21	82.4375	0.0762	13.1203	0.0001	0.0005	0.0000	0.0006	0.0001	0.0004
22	85.7116	0.0733	13.6414	0.0000	0.0001	0.0003	0.0011	0.0001	0.0000
23	87.3083	0.0720	13.8956	0.0000	0.0000	0.0000	0.0000	0.0000	0.0000
24	88.1112	0.0713	14.0233	0.0007	0.0005	0.0008	0.0000	0.0019	0.0005
25	89.1745	0.0705	14.1926	0.0001	0.0010	0.0003	0.0006	0.0009	0.0000
26	89.7669	0.0700	14.2868	0.0000	0.0003	0.0000	0.0001	0.0001	0.0000
27	90.5649	0.0694	14.4139	0.0002	0.0002	0.0000	0.0002	0.0000	0.0011
28	91.6447	0.0686	14.5857	0.0002	0.0003	0.0002	0.0000	0.0001	0.0000
29	92.2960	0.0681	14.6894	0.0000	0.0015	0.0006	0.0047	0.0001	0.0013
30	93.9940	0.0668	14.9596	0.0000	0.0002	0.0076	0.0047	0.0000	0.0001
31	94.9223	0.0662	15.1074	0.0000	0.0000	0.0000	0.0000	0.0000	0.0000
32	96.8291	0.0649	15.4108	0.0000	0.0000	0.0000	0.0000	0.0000	0.0000
33	97.3839	0.0645	15.4991	0.0002	0.0004	0.0000	0.0000	0.0001	0.0004
34	98.9120	0.0635	15.7423	0.0002	0.0001	0.0000	0.0000	0.0002	0.0002
35	99.6828	0.0630	15.8650	0.0000	0.0000	0.0000	0.0000	0.0000	0.0000
36	100.6451	0.0624	16.0182	0.0002	0.0003	0.0006	0.0000	0.0004	0.0001
37	102.1610	0.0615	16.2594	0.0000	0.0000	0.0001	0.0000	0.0000	0.0000
38	103.2053	0.0609	16.4256	0.0001	0.0001	0.0007	0.0011	0.0006	0.0003
39	103.4870	0.0607	16.4705	0.0027	0.0445	0.0000	0.0128	0.0025	0.0114
40	104.2824	0.0603	16.5971	0.0005	0.0080	0.0000	0.0025	0.0004	0.0016
41	105.4618	0.0596	16.7848	0.0000	0.0001	0.0000	0.0000	0.0000	0.0000
42	107.2551	0.0586	17.0702	0.0000	0.0000	0.0000	0.0000	0.0000	0.0000
43	107.5090	0.0584	17.1106	0.0000	0.0000	0.0000	0.0000	0.0000	0.0000
44	108.3773	0.0580	17.2488	0.0000	0.0002	0.0000	0.0001	0.0002	0.0000
45	109.6037	0.0573	17.4440	0.0006	0.0009	0.0004	0.0000	0.0018	0.0003
46	110.9500	0.0566	17.6582	0.0000	0.0000	0.0001	0.0000	0.0001	0.0000

Mode	Omega [rad/s]	Period [s]	Freq. [Hz]	Wxi / Wxtot	Wyi / Wytot	Wzi / Wztot	Wxi_R / Wxtot_R	Wyi_R / Wytot_R	Wzi_R / Spectral
47	111.2481	0.0565	17.7057	0.0001	0.0002	0.0001	0.0009	0.0000	0.0000
48	112.3652	0.0559	17.8835	0.0000	0.0001	0.0004	0.0001	0.0007	0.0002
49	112.6715	0.0558	17.9322	0.0004	0.0003	0.0000	0.0001	0.0000	0.0005
50	112.8365	0.0557	17.9585	0.0005	0.0006	0.0001	0.0000	0.0001	0.0009
51	114.3149	0.0550	18.1938	0.0079	0.0059	0.0004	0.0020	0.0072	0.0008
52	116.3854	0.0540	18.5233	0.0503	0.0084	0.0005	0.0031	0.0616	0.0217
53	117.5322	0.0535	18.7058	0.0008	0.0006	0.0000	0.0004	0.0006	0.0015
54	119.1922	0.0527	18.9700	0.0000	0.0000	0.0001	0.0001	0.0001	0.0000
55	120.0810	0.0523	19.1115	0.0001	0.0005	0.0000	0.0000	0.0004	0.0002
56	121.5757	0.0517	19.3494	0.0000	0.0001	0.0017	0.0016	0.0005	0.0001
57	122.2448	0.0514	19.4559	0.0002	0.0000	0.0000	0.0000	0.0001	0.0002
58	122.7634	0.0512	19.5384	0.0000	0.0000	0.0003	0.0002	0.0000	0.0001
59	123.9801	0.0507	19.7320	0.0177	0.0032	0.0003	0.0020	0.0216	0.0200
60	125.1865	0.0502	19.9240	0.0018	0.0002	0.0000	0.0001	0.0017	0.0020
61	125.8581	0.0499	20.0309	0.0235	0.0022	0.0000	0.0007	0.0235	0.0291
62	126.5107	0.0497	20.1348	0.0001	0.0003	0.0000	0.0000	0.0002	0.0002
63	127.3551	0.0493	20.2692	0.0000	0.0020	0.0003	0.0008	0.0002	0.0012
64	128.2330	0.0490	20.4089	0.0000	0.0000	0.0000	0.0002	0.0003	0.0001
65	130.6607	0.0481	20.7953	0.0000	0.0029	0.0000	0.0008	0.0001	0.0000
66	131.7279	0.0477	20.9652	0.0000	0.0002	0.0000	0.0001	0.0000	0.0000
67	132.6093	0.0474	21.1054	0.0001	0.0130	0.0010	0.0037	0.0001	0.0038
68	133.0634	0.0472	21.1777	0.0011	0.0338	0.0000	0.0067	0.0008	0.0088
69	134.2449	0.0468	21.3657	0.0000	0.0001	0.0000	0.0000	0.0000	0.0000
70	134.7548	0.0466	21.4469	0.0000	0.0000	0.0000	0.0000	0.0002	0.0000
				0.9775	0.9884	0.9848	0.9848	0.9740	0.9765

Prema EC-8, zadovoljen je uvjet da suma svih upotrebljenih vlastitih oblika u proračunu moraju aktivirati najmanje 90% ukupne mase, kao i svi vlastiti oblici sa minimalno 5% aktivirane mase.

Spektralnom analizom je obuhvaćeno prvih 70 modova konstrukcije.

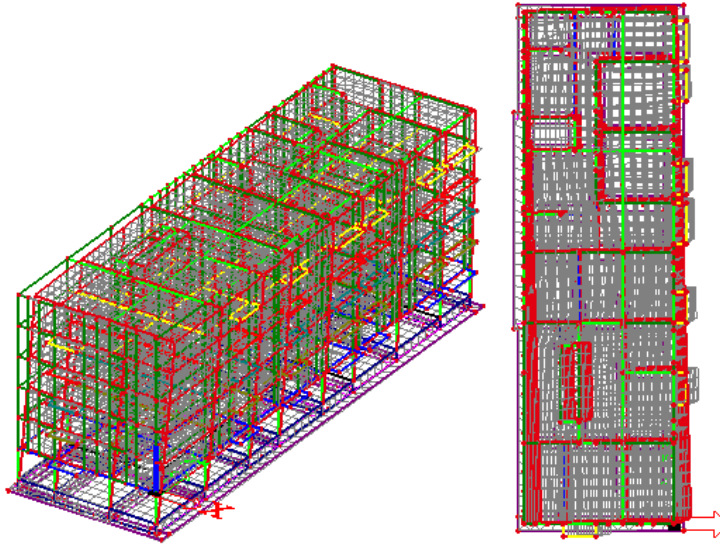
Ukupna aktivirana masa po smjerovima iznosi:

- za X smjer 97,75 %
- za Y smjer 98,84 %
- za Z smjer 98,48 %

Prikazani su modovi konstrukcije koji aktiviraju najviše mase, i to na kompletnoj konstrukciji.

a) Prvi vlastiti vektor

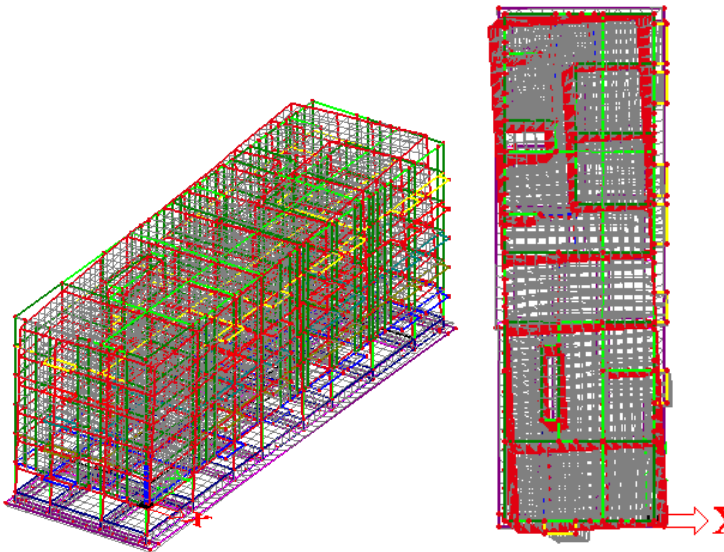
- period 0,3582 s
- aktivirano mase u X smjeru 46,19 %
- aktivirano mase u Y smjeru 5,93 %



Crtež 6.6. Mod 1

b) Drugi vlastiti vektor

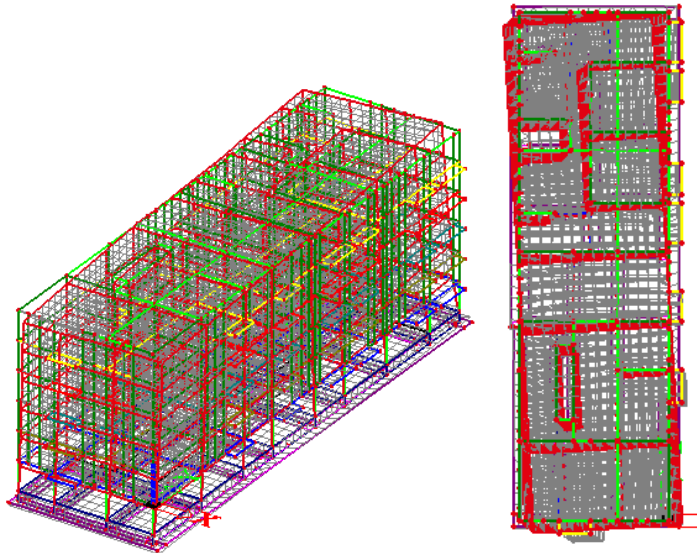
- period 0,3323 s
- aktivirano mase u X smjeru 16,29 %
- aktivirano mase u Y smjeru 27,94 %



Crtež 6.7. Mod 2

c) Treći vlastiti vektor

- period 0,2722 s
- aktivirano mase u X smjeru 0,67 %
- aktivirano mase u Y smjeru 31,13 %



Crtež 6.8. Mod 3

6.3. PRORAČUN POMAKA KONSTRUKCIJE USLJED POTRESA

Proračun pomaka konstrukcije usljed djelovanja potresa proveden je za oba modela konstrukcije na parametre potresa za granično stanje uporabljivosti.

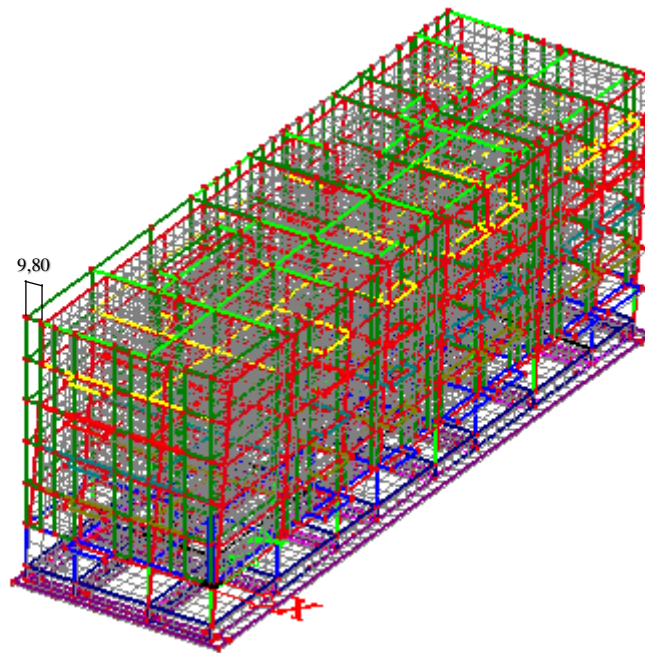
Računsko ubrzanje tla: ($T_{NCR}=95$ godina; 10 godina; $P_{NCR}=10\%$): $a_{gr,GSU} = 0,12 g = 1,10 m/s^2$

Ograničenje međukatnog pomaka iznosi: $d_r \leq 0,005 h$; $d_r \leq 0,005 h$

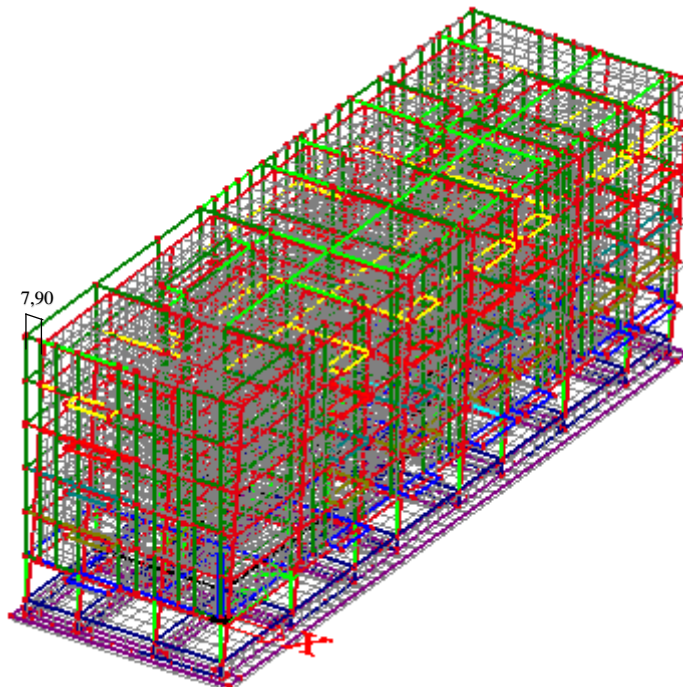
Vrijednost faktora v za proračun graničnog stanja ograničenog oštećenja je $v = 1,0$.

Dozvoljeni međukatni pomak iznosi $d_r \leq 0,005 h$ tj. $d_r \leq 0,005 * 2900 = 14,5 mm$

Na oba prikazana modela konstrukcije u x i u y smjeru maksimalni tj. apsolutni pomak vrha konstrukcije ne prelazi iznos dopuštenog međukatnog pomaka, dakle pomaci konstrukcije su manji od dozvoljenih (pomaci su prikazani na Crtežu 6.9.i Crtežu 6.10.).



Crtež 6.9. Deformacija konstrukcije s AB prizemljem za opterećenje kombinacijom GSN-11



Crtež 6.10. Deformacija konstrukcije s prizemljem na stupovima za opterećenje kombinacijom GSN-11

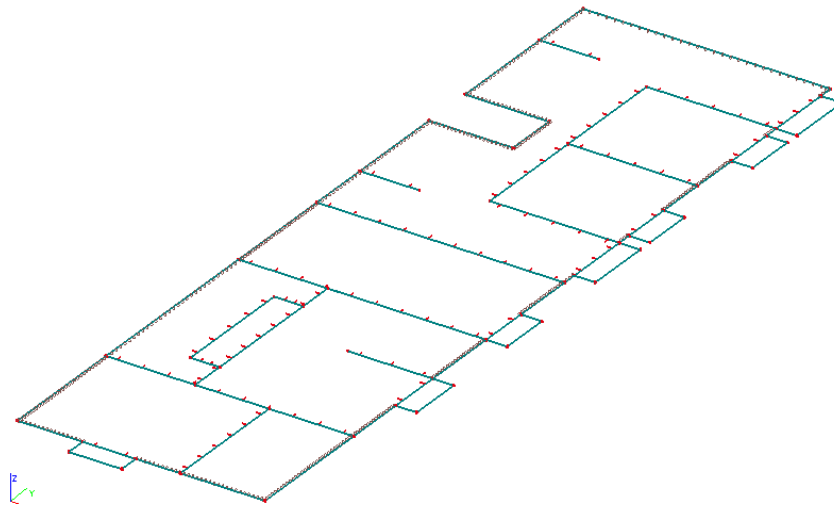
7.PRORAČUN KONSTRUKTIVNIH ELEMENATA

7.1.Ploče

7.1.1.Model

Model je napravljen u programskom paketu SCIA Engineer 16.1. Sve ploče izrađene su od betona klase C25/30 uz uvažavanje nelinearnog ponašanja betona preko paraboličnog radnog dijagrama te armirane čelikom za armiranje B500B. Debljina međуетажne AB ploče iznosi 20 cm. Određeni su momenti savijanja, progib i potrebna količina armature ploče za linearno stanje, progib uz uključenu materijalnu nelinearnost i puzanje.

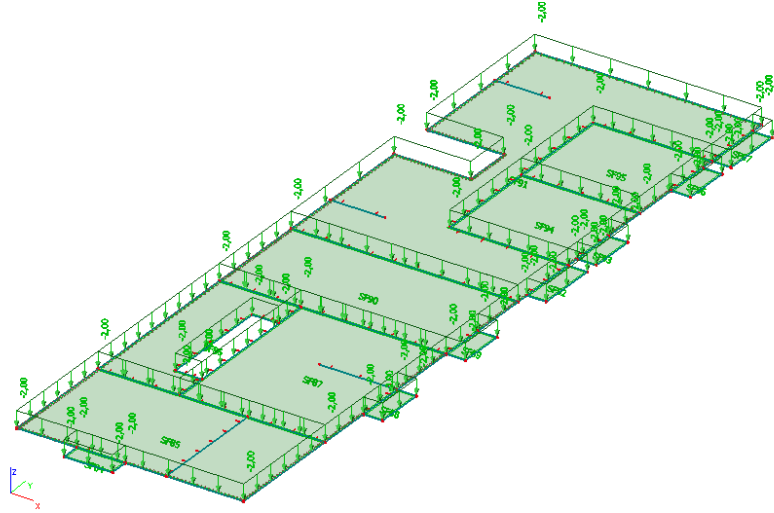
Max dopušteni progib ploča iznosi $7300 / 500 = 14,6$ mm.



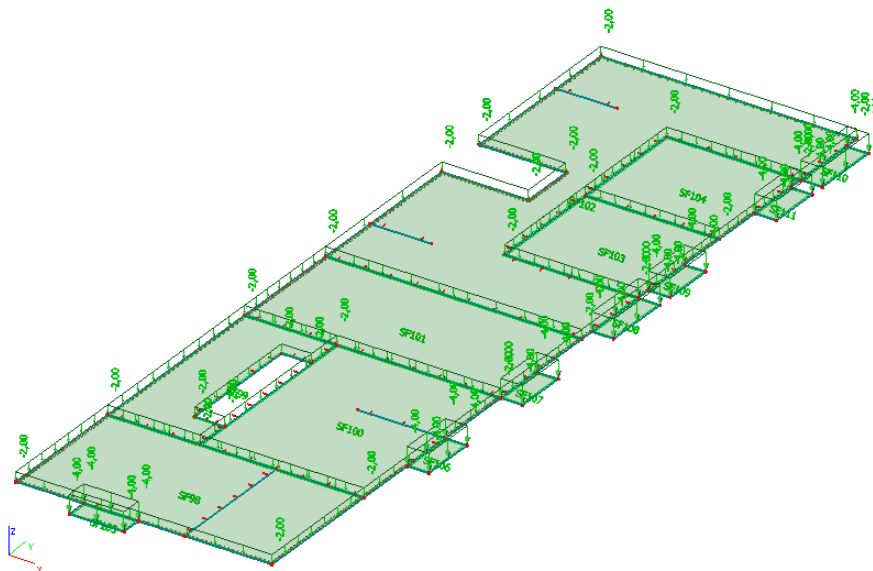
Crtež 7.1. Prikaz modela

7.1.2. Opterećenja ploče

Opterećenje ploče dijeli se na stalno i promjenjivo. U stalno opterećenje spada vlastita težina G_0 i dodatno stalno opterećenje G . Promjenjivo opterećenje Q predstavlja uporabno opterećenje i utjecaj pokretne opreme. Vlastita težina zadana je automatski.



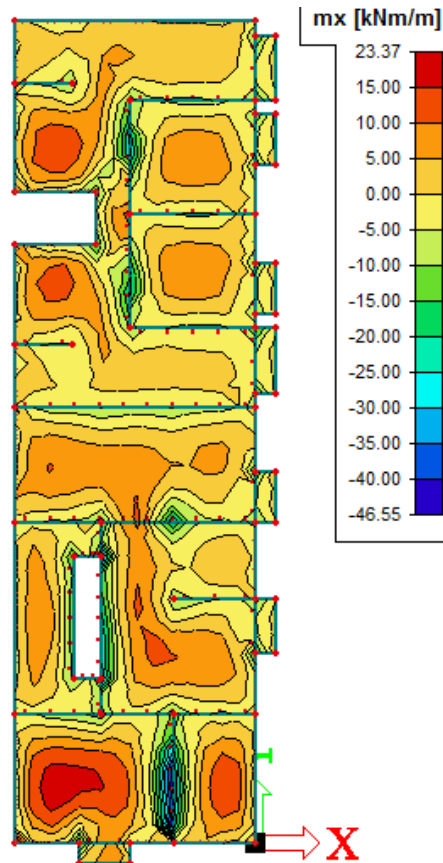
Crtež 7.2. Dodatno stalno opterećenje G [kN/m^2]



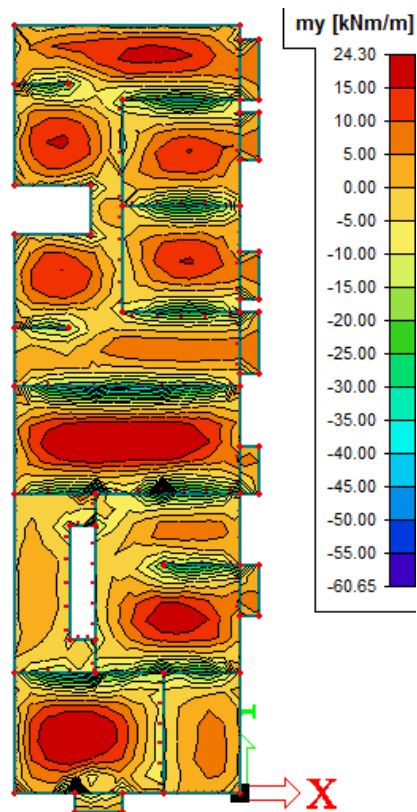
Crtež 7.3. Uporabno opterećenje Q [kN/m^2]

7.1.3. Prikaz rezultata

1) Na sljedećim crtežima (Crteži 7.4 i 7.5.) prikazani su momenti savijanja ploča



Crtež 7.4. Prikaz momenata savijanja m_x [kNm/m] na pločama za osnovnu kombinaciju
GSN-1: $1,35 \cdot (G_0 + G) + 1,5Q$



Crtež 7.5. Prikaz momenata savijanja m_y [kNm/m] na pločama za osnovnu kombinaciju
GSN-1: $1,35 \cdot (G_0 + G) + 1,5Q$

Potrebno je provjeriti dolazi li, zbog velikih momenata savijanja nad ležajevima, do prekoračenja dopuštenih tlačnih napreznja u betonu.

Ukoliko moment savijanja prekoračuje vrijednost graničnog momenta nosivosti $M_{Rd,lim}$ dolazi do drobljenja betona, te je potrebno dvostruko armiranje. U tom slučaju dolazi do preraspodjele te se mogu očekivati veći progibi. Granični moment nosivosti računa se prema sljedećem izrazu:

$$M_{Rd,lim} = \mu_{Rd,lim} \times b \times d^2 \times f_{cd} = 0,159 \times 100 \times 17,5^2 \times 1,67 = 81,32 \text{ kNm}$$

Maksimalni moment savijanja koji se javlja na ploči iznosi $M_x = 60,65 \text{ kNm}$ što je manje od graničnog momenta nosivosti.

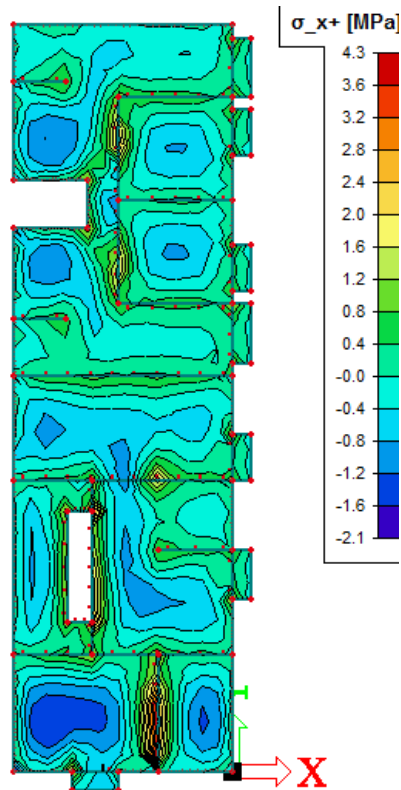
2) Provjera naprezanja u betonu

Naprezanja u betonu za nazovistalnu kombinaciju opterećenja

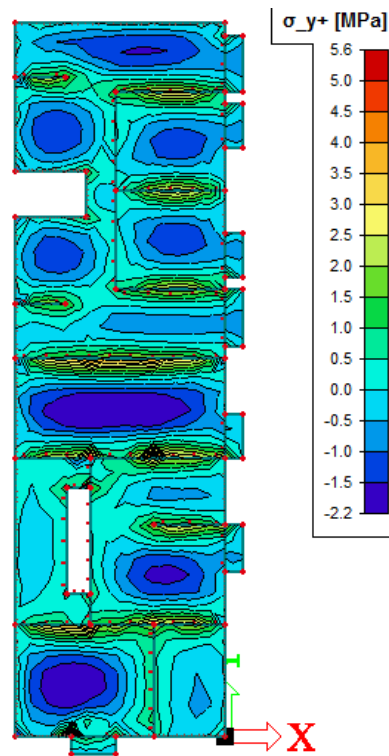
Tlačna naprezanja u betonu za nazovistalnu kombinaciju ne smiju prijeći:

$$\sigma_c \leq 0,45 \cdot f_{ck} = 0,45 \cdot 25 = 11,25 \text{ MPa}$$

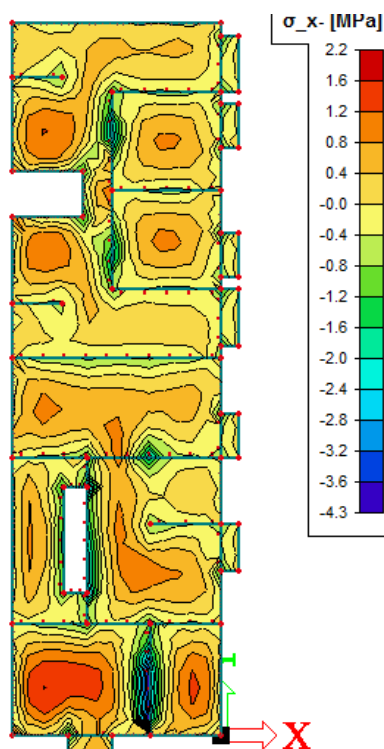
Na sljedećim crtežima (Crteži 7.6; 7.7; 7.8; 7.9) prikazana su naprezanja u betonu za nazovistalnu kombinaciju opterećenja.



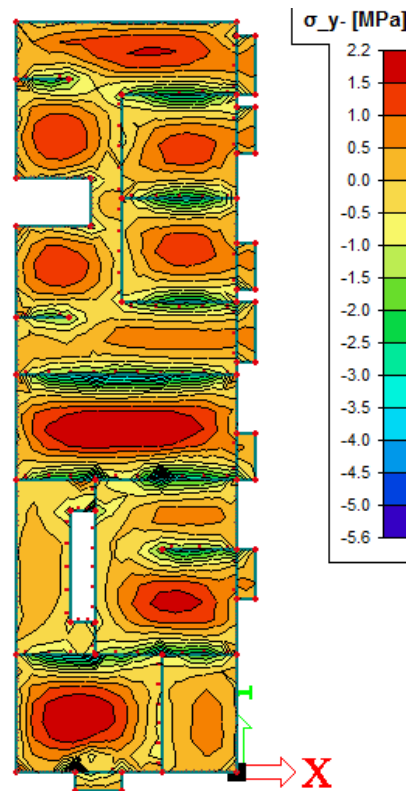
Crtež 7.6. Tlačna naprezanja u betonu na gornjoj plohi ploče $\sigma_{c,x,+}$ [MPa] u smjeru X za nazovistalnu kombinaciju GSU-2: $1,0 \cdot (G_0 + G) + 0,3Q$



Crtež 7.7. Tlačna naprezanja u betonu na gornjoj plohi ploče $\sigma_{c,y,+}$ [MPa] u smjeru Y za nazovistalnu kombinaciju GSU-2: $1,0*(G_0+G) + 0,3Q$



Crtež 7.8. Tlačna naprezanja u betonu na donjoj plohi ploče $\sigma_{c,x,-}$ [MPa] u smjeru X za nazovistalnu kombinaciju GSU-2: $1,0*(G_0+G) + 0,3Q$



Crtež 7.9. Tlačna naprezanja u betonu na donjoj plohi ploče $\sigma_{c,y,-}$ [MPa] u smjeru Y za nazovistalnu kombinaciju GSU-2: $1,0*(G_0+G) + 0,3Q$

Maksimalno tlačno naprezanje u betonu iznosi manje od dopuštenog.

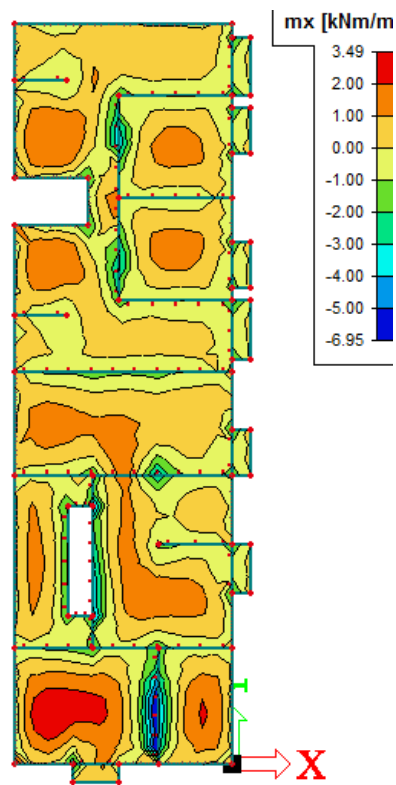
$$\sigma_{c,max} = 5,6 \text{ MPa} < 11,25 \text{ MPa}$$

3) Prikaz potrebne armature

Potrebna armatura proračunata je prema izrazu:

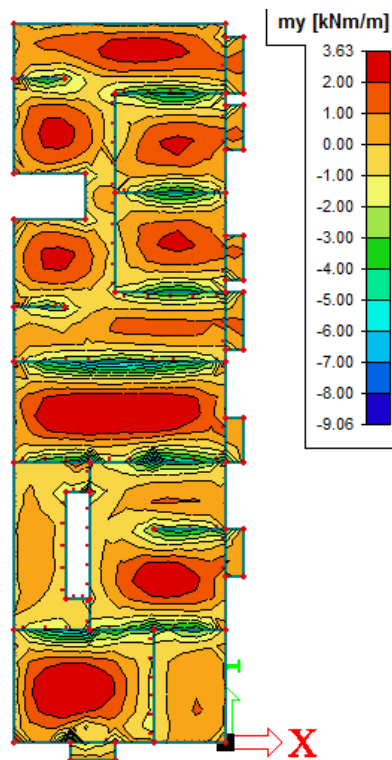
$$A_s = \frac{M_{sd}}{\zeta \times d \times f_{yd}} = \frac{M_{sd} \times 100}{0,9 \times 17,5 \times 43,48} = 0,15 \times M_{sd}$$

Potrebna armatura u X smjeru (cm^2/m)



Crtež 7.10. Potrebna armatura [cm^2/m] u X smjeru

Potrebna armatura u Y smjeru (cm^2/m)



Crtež 7.11. Potrebna armatura [cm^2/m] u Y smjeru

Proračunata armatura odnosi se na egzaktni vrijednosti momenata savijanja u pločama za osnovnu kombinaciju. Međutim, radi preraspodjele potrebno je izračunatu armaturu u polju povećati za 30%, odnosno smanjiti na ležaju za 10%.

Konačno, odabrane su sljedeće mreže prema prikazanoj shemi (Crtež 7.11. i Crtež 7.12.)

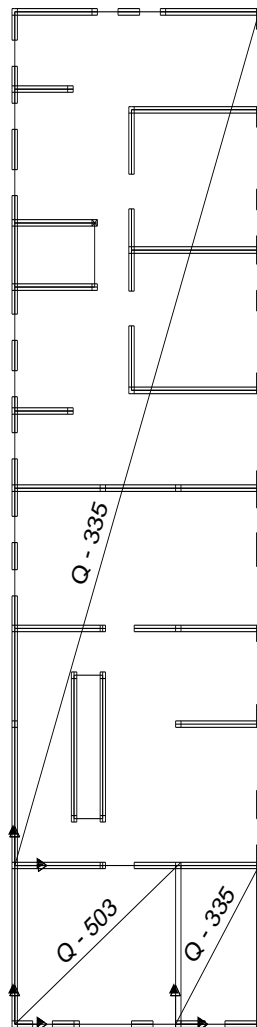
Q503 – donja zona u poljima

Q335 – donja zona u poljima

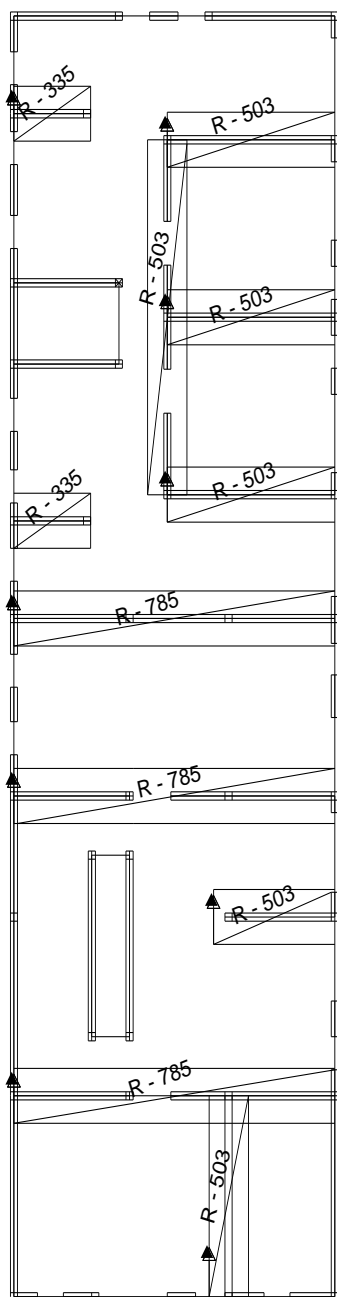
R335 – gornja zona nad ležajevima

R503 – gornja zona nad ležajevima

R785 – gornja zona nad ležajevima



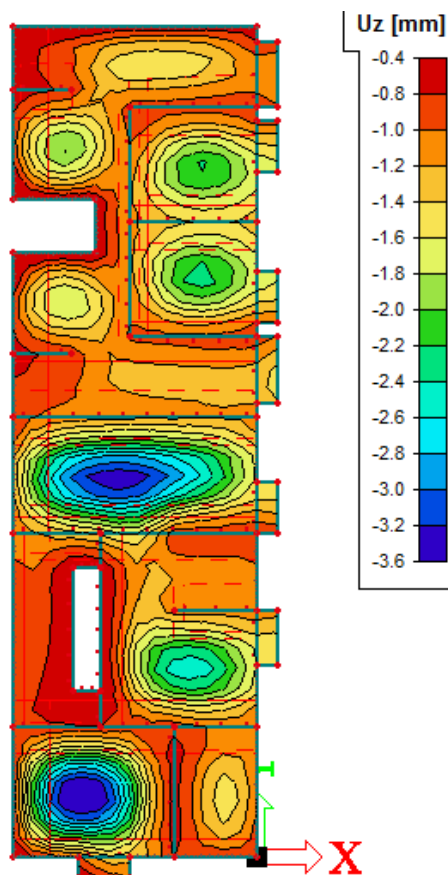
Crtež 7.11. Shema armature donje zone



Crtež 7.12. Shema armature gornje zone

4) Progib ploče

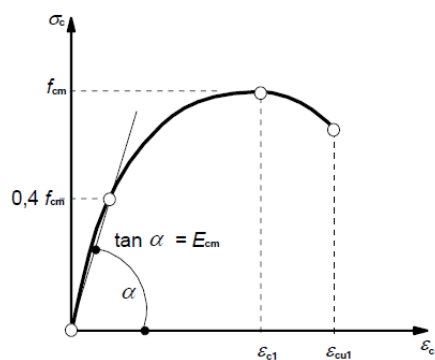
Progib za linearno stanje



Crtež 7.13. Prikaz progiba U_z [mm] za kombinaciju GSU-2: $1.0 \cdot (G_0 + G) + 0.3Q$

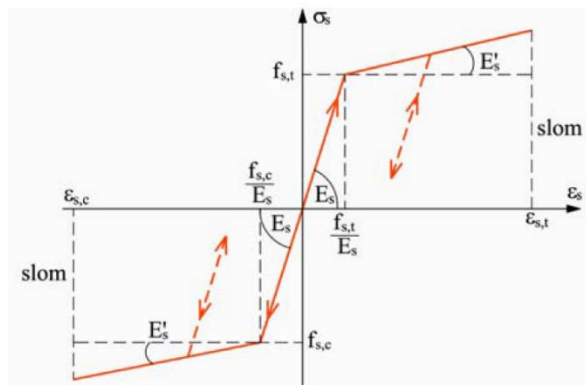
Progibi uz uključenu materijalnu nelinearnost

Radni dijagram betona:



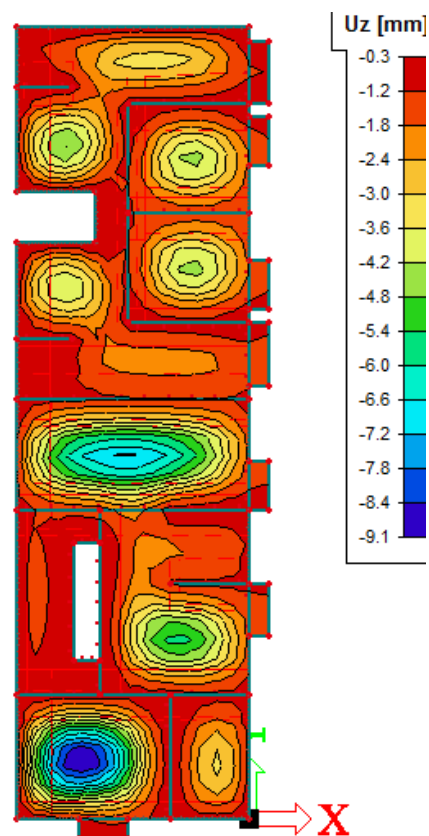
Crtež 7.14. Radni dijagram betona

Radni dijagram čelika:



Crtež 7.15. Radni dijagram čelika

Progibi uz uključenu materijalnu nelinearnost i puzanje



Crtež 7.16. Prikaz progiba Uz [mm] za kombinaciju GSU-2: $1.0 \cdot (G_0 + G) + 0.3Q$

Maksimalni progib ploča iznosi 9,1 mm dok je dopušteni progib

$$\delta_{EL} \leq L/500 = 7300/500 = 14,6 \text{ mm.}$$

7.2. GREDE

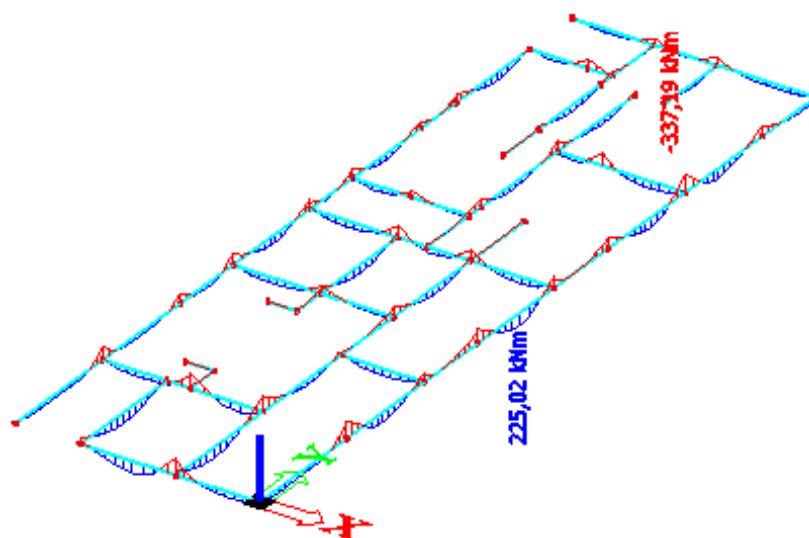
- Granični moment nosivosti $M_{Rd,lim}$

Ukoliko moment savijanja prekoračuje vrijednost graničnog momenta nosivosti $M_{Rd,lim}$ dolazi do drobljenja betona, te je potrebno dvostruko armiranje. Granični moment nosivosti računa se prema sljedećem izrazu:

$$M_{Rd,lim} = \mu_{Rd,lim} \times b \times d^2 \times f_{cd} = 0,159 \times 40 \times 75^2 \times 2,0 = 715,50 \text{ kNm}$$

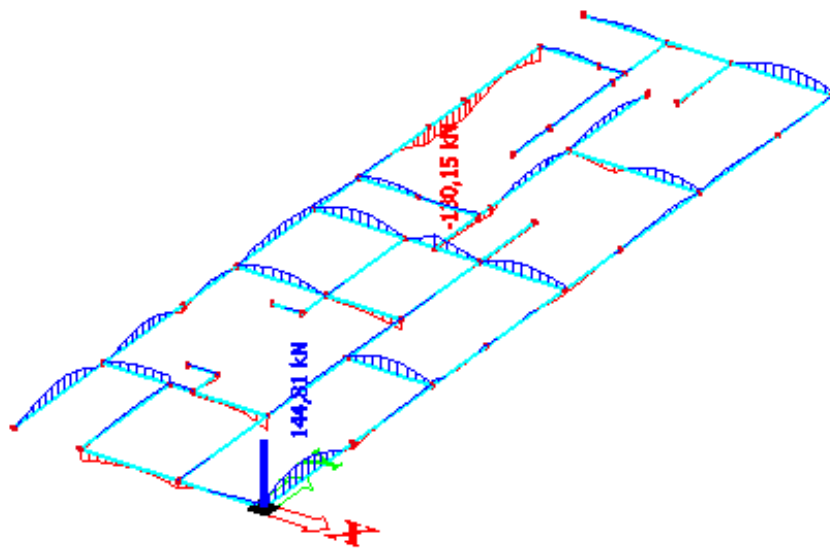
7.2.1. Proračun potrebne armature u gredama

Rezne sile u gredama za osnovnu i potresnu kombinaciju prikazane su na sljedećim crtežima:



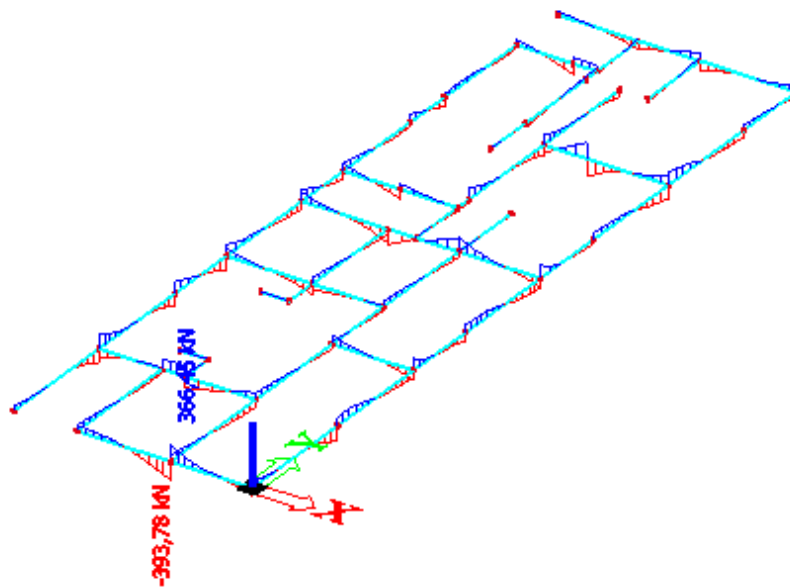
Crtež 7.17. Momenti savijanja $M_{Sd,y}$ [kNm] na gredama za kombinaciju

$$\text{GSN-4: } 1,35 \cdot (G_0 + G) + 1,5 \cdot Q + 1,5 \cdot (0,6 \cdot WY)$$



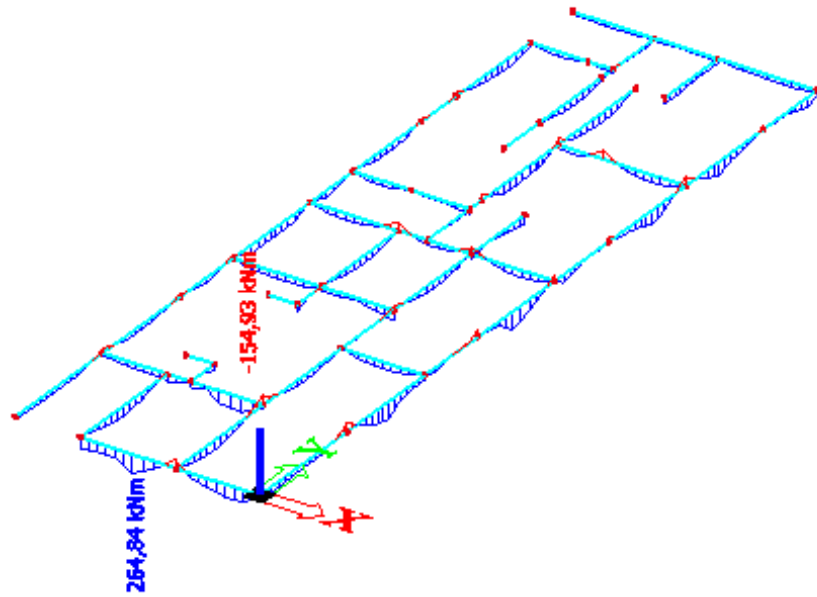
Crtež 7.18. Uzdužne sile N_{sd} [kN] na gredama za kombinaciju

$$\text{GSN-4: } 1,35 \cdot (G_0 + G) + 1,5 \cdot Q + 1,5 \cdot (0,6 \cdot W_Y)$$



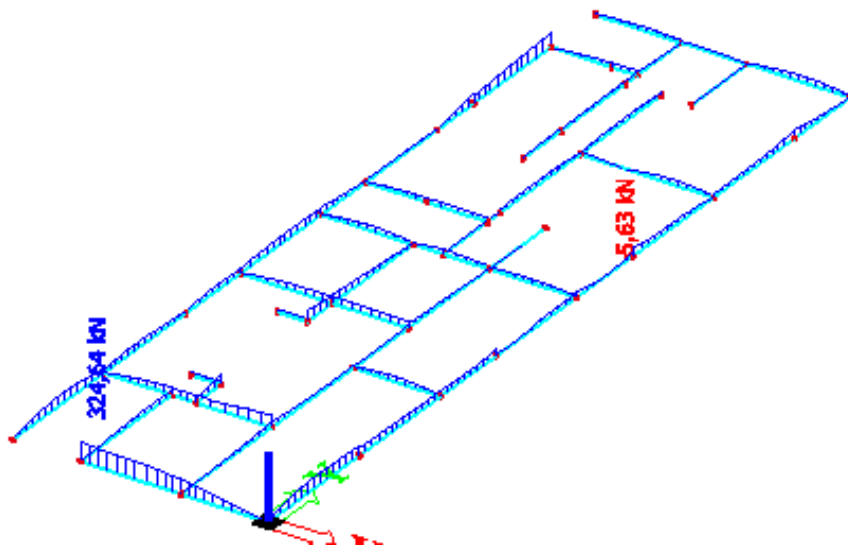
Crtež 7.19. Poprečne sile $V_{sd,z}$ [kN] na gredama za kombinaciju

$$\text{GSN-4: } 1,35 \cdot (G_0 + G) + 1,5 \cdot Q + 1,5 \cdot (0,6 \cdot W_Y)$$



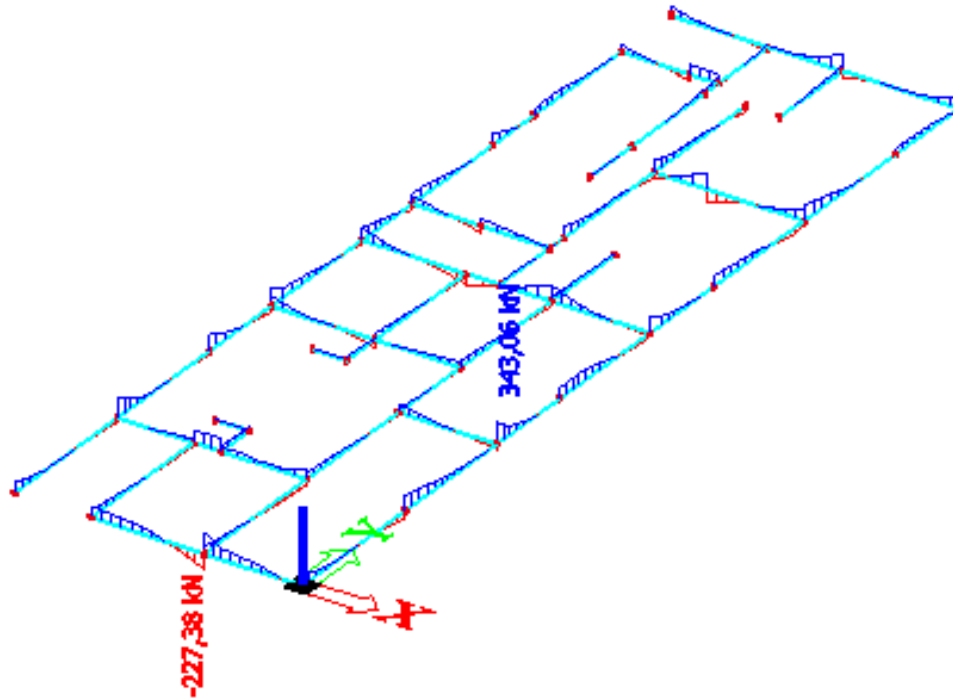
Crtež 7.20. Momenti savijanja $M_{s_d,y}$ [kNm] na gredama za potresnu kombinaciju

$$\text{GSN-11: } 1,0 \cdot (G_0 + G) + 0,3 \cdot Q \pm 1 \cdot S_X + 0,3 \cdot S_Y - T_Y$$



Crtež 7.21. Uzdužne sile N_{s_d} [kN] na gredama za potresnu kombinaciju

$$\text{GSN-11: } 1,0 \cdot (G_0 + G) + 0,3 \cdot Q \pm 1 \cdot S_X + 0,3 \cdot S_Y - T_Y$$



Crtež 7.22. Poprečne sile $V_{Sd,z}$ [kN] na gredama za potresnu kombinaciju

$$\text{GSN-11: } 1,0 \cdot (G_0 + G) + 0,3 \cdot Q \pm 1 \cdot S_X + 0,3 \cdot S_Y - T_Y$$

Mjerodavne rezne sile u gredama iznose:

$$M_{Sd, \text{polje}} = 264,84 \text{ kNm (pripadajuća uzdužna sila } N_{Sd} = +289,67 \text{ kN)}$$

$$M_{Sd, \text{ležaj}} = 337,19 \text{ kNm (pripadajuća uzdužna sila } N_{Sd} = +27,48 \text{ kN)}$$

$$V_{Sd} = 393,78 \text{ kN (pripadajuća uzdužna sila } N_{Sd} = -58,53 \text{ kN)}$$

Polje:

$$\text{Utjecajna širina: } b_{\text{eff}} = b_0 + \frac{L_0}{10} \leq e \Rightarrow b_{\text{eff}} = 40 + \frac{0,85 \cdot 535}{10} = 85,50 \text{ cm}$$

$$M_{\text{Sd}} = 264,84 \text{ kNm}$$

$$N_{\text{Sd}} = 289,67 \text{ kN (vlak)}$$

$$M_{\text{sds}} = M_{\text{sd}} - N_{\text{sd}} \cdot \left(d - \frac{h}{2} \right) = 264,84 - 289,67 \cdot \left(0,75 - \frac{0,80}{2} \right) = 163,46 \text{ kNm}$$

$$M_{\text{Rd,lim}} = \mu_{\text{Rd,lim}} \cdot b \cdot d^2 \cdot f_{\text{cd}} = 0,159 \cdot 85,5 \cdot 75^2 \cdot 2,0 = 1529,38 \text{ kNm} > M_{\text{sds}} = 163,46 \text{ kNm}$$

$$\mu_{\text{sd}} = \frac{M_{\text{sds}}}{b_{\text{eff}} \cdot d^2 \cdot f_{\text{cd}}} = \frac{16346}{85,5 \cdot 75^2 \cdot 2,0} = 0,017$$

$$\text{Očitano: } \varepsilon_{\text{s1}} = 10 \text{ ‰} \quad \varepsilon_{\text{c2}} = 0,7 \text{ ‰} \quad \xi = 0,065 \quad \zeta = 0,977$$

$$A_{\text{s1}} = \frac{M_{\text{sds}}}{\zeta \cdot d \cdot f_{\text{yd}}} + \frac{N_{\text{sd}}}{f_{\text{yd}}} = \frac{16346}{0,977 \cdot 75 \cdot 43,48} + \frac{289,67}{43,48} = 5,13 + 6,6 = 11,73 \text{ cm}^2$$

$$\text{Odabrano: } \mathbf{4\text{Ø}20} \text{ (} A_{\text{s}} = 12,57 \text{ cm}^2 \text{)}$$

Ležaj:

$$M_{\text{Sd}} = 337,19 \text{ kNm}$$

$$N_{\text{Sd}} = 27,48 \text{ kN (vlak)}$$

$$M_{\text{sds}} = M_{\text{sd}} - N_{\text{sd}} \cdot \left(d - \frac{h}{2} \right) = 337,19 - 27,48 \cdot \left(0,75 - \frac{0,80}{2} \right) = 327,57 \text{ kNm}$$

$$M_{\text{Rd,lim}} = \mu_{\text{Rd,lim}} \cdot b \cdot d^2 \cdot f_{\text{cd}} = 0,159 \cdot 40 \cdot 75^2 \cdot 2,0 = 715,50 \text{ kNm} > M_{\text{sds}} = 327,57 \text{ kNm}$$

$$\mu_{\text{sd}} = \frac{M_{\text{sds}}}{b_{\text{eff}} \cdot d^2 \cdot f_{\text{cd}}} = \frac{32757}{40 \cdot 75^2 \cdot 2,0} = 0,073$$

$$\text{Očitano: } \varepsilon_{s1} = 10 \text{ ‰} \quad \varepsilon_{c2} = 1,8 \text{ ‰} \quad \xi = 0,153 \quad \zeta = 0,944$$

$$A_{s1} = \frac{M_{sds}}{\zeta \cdot d \cdot f_{yd}} + \frac{N_{sd}}{f_{yd}} = \frac{32757}{0,944 \cdot 75 \cdot 43,48} + \frac{27,48}{43,48} = 10,64 + 0,63 = 11,27 \text{ cm}^2$$

Odabrano: **4Ø20** ($A_s = 12,57 \text{ cm}^2$)

Proračun na poprečnu silu:

$$V_{Sd} = 393,78 \text{ kN}$$

$$N_{Sd} = 58,53 \text{ Kn}$$

$$V_{Rd,c} = \left[C_{Rdc} \cdot k \cdot (100 \cdot \rho_l \cdot f_{ck})^{1/3} + k_1 \cdot \sigma_{cp} \right] \cdot b_w \cdot d$$

$$k = 1,0 + \sqrt{\frac{200}{d}} = 1,0 + \sqrt{\frac{200}{750}} = 1,52 < 2,0 \Rightarrow k = 1,52$$

$$k_1 = 0,15$$

$$\sigma_{cp} = N_{Ed} / A_c = \frac{58,53}{80 \cdot 40} = 0,0183$$

$$C_{Rdc} = 0,18 / \gamma_c = 0,18 / 1,5 = 0,12$$

$$\rho_l = \frac{\sum A_s}{A_c} = \frac{4\phi 20}{80 \cdot 40} = 0,003928$$

$$V_{Rd,c} = \left[0,12 \cdot 1,52 \cdot (100 \cdot 0,003928 \cdot 30)^{1/3} + 0,15 \cdot 0,0183 \right] \cdot 400 \cdot 750 = 125344,81 \text{ N} = 125,34 \text{ kN}$$

$$V_{Rd,c} \geq [v_{min} + k \cdot \sigma_{cp}] \cdot b_w \cdot d$$

$$k = 1,52$$

$$v_{min} = 0,035 \cdot k^2 \cdot f_{ck}^{1/2} = 0,035 \cdot 1,52^2 \cdot 30 \cdot 0^{1/2} = 0,359 \text{ kN / m}$$

$$\sigma_{cp} = \frac{N_{Ed}}{A_c} = 0,0183$$

$$V_{Rd,c} \geq [0,359 + 1,52 \cdot 0,0183] \cdot 400 \cdot 750 = 116044,8 \text{ N} = 116,04 \text{ kN}$$

Maksimalna poprečna sila koju se ne smije prijeći (dio poprečne sile koju mogu preuzeti tlačne dijagonale):

$$V_{Rd,max} = 0,5 \cdot \nu \cdot f_{cd} \cdot b_w \cdot d$$

$$\nu = 0,6 \left[1,0 - \frac{f_{ck}}{250} \right] = 0,6 \left[1,0 - \frac{30}{250} \right] = 0,528$$

$$V_{Rd,max} = 0,5 \cdot 0,528 \cdot 20 \cdot 400 \cdot 750 = 1584000 N = 1584 kN$$

Maksimalna poprečna sila: $V_{Ed,max} = V_{Ed,a} = 393,78 kN$

$$V_{Ed,max} / V_{Rd,max} = 393,78 / 1584 = 0,25 \Rightarrow V_{Ed,max} = 0,25 V_{Rd,max}$$

Maksimalni razmak spona:

$$s_{w,max} = \min \{ 0,75 \cdot d; 30,0 cm \} = \min \{ 0,75 \cdot 75 = 56,25; 30,0 \} \Rightarrow s_{w,max} = 30,0 cm$$

$$\rho_{min} = 0,0011 \quad (C 30 / 37)$$

usvojeno $s_w = 20,0 cm$

$$A_{sw,min} = \frac{\rho_{min} \cdot s_w \cdot b_w}{m} = \frac{0,0011 \cdot 20,0 \cdot 40}{2} = 0,44 cm^2$$

Odabrane spona $\varnothing 10$ ($A_{sw} = 0,79 cm^2$)

$$s_{w,pot} \leq \frac{m \cdot A_{sw,min}}{\rho_{min} \cdot b_w} = \frac{2 \cdot 0,79}{0,0011 \cdot 40} = 35,91 cm$$

Odabrane spona $\varnothing 10/25$, $m = 2$

$$V_{Rd} = V_{Rd,s} = \frac{A_{sw}}{s} \cdot z \cdot f_{ywd} \cdot m \cdot ctg \theta$$

$$V_{Rd,s} = \frac{0,79}{25} \cdot (0,9 \cdot 75) \cdot 43,48 \cdot 2 = 185,49 kN$$

$$V_{Ed} > V_{Rd}$$

Kontroliramo nosivost betona:

$$s_{w,pot} \leq \frac{m \cdot A_{sw,min} \cdot f_{ywd} \cdot z}{V_{ed}} = \frac{2 \cdot 0,79 \cdot 43,48 \cdot (0,9 \cdot 75)}{393,78} = 11,77 cm$$

Na ležaju progustiti spona $\varnothing 10/10$ cm, $m = 2$

7.3. ZIDOVI

Zidovi su modelirani plošnim elementima na kojima se naprezanja prikazuju u donjoj i gornjoj plohi (gledajući prema lokalnim osima zida). Ovdje se prikazuju naprezanja na nepovoljnije opterećenoj plohi.

- Kontrola tlačnih napreznja u zidovima za nazovistalnu kombinaciju

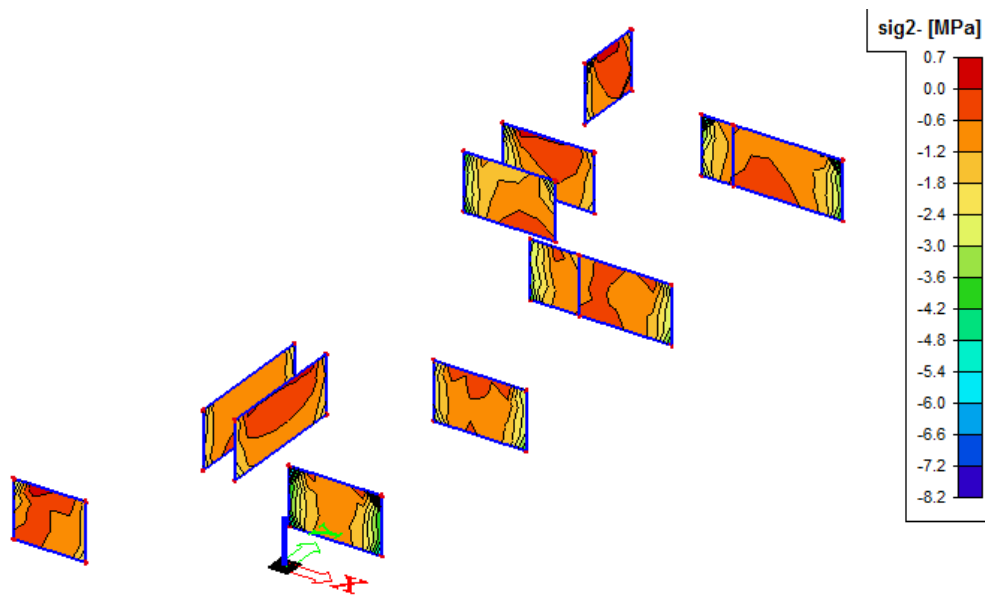
$$GSU-2 = 1,0*(G_0 + G) + 0,3Q$$

Tlačna napreznja u betonu za nazovistalnu kombinaciju ne smiju prijeći:

$$\sigma_{c,GSU2} \leq 0,40 f_{ck} = 0,40*35 = 14,00 \text{ MPa}$$

Na Crtežu 7.23. su prikazana rubna napreznja u zidovima gdje vidimo da maksimalno napreznje iznosi:

$$\sigma_{c,max} = 8,4 \text{ MPa} < 14,0 \text{ Mpa}$$

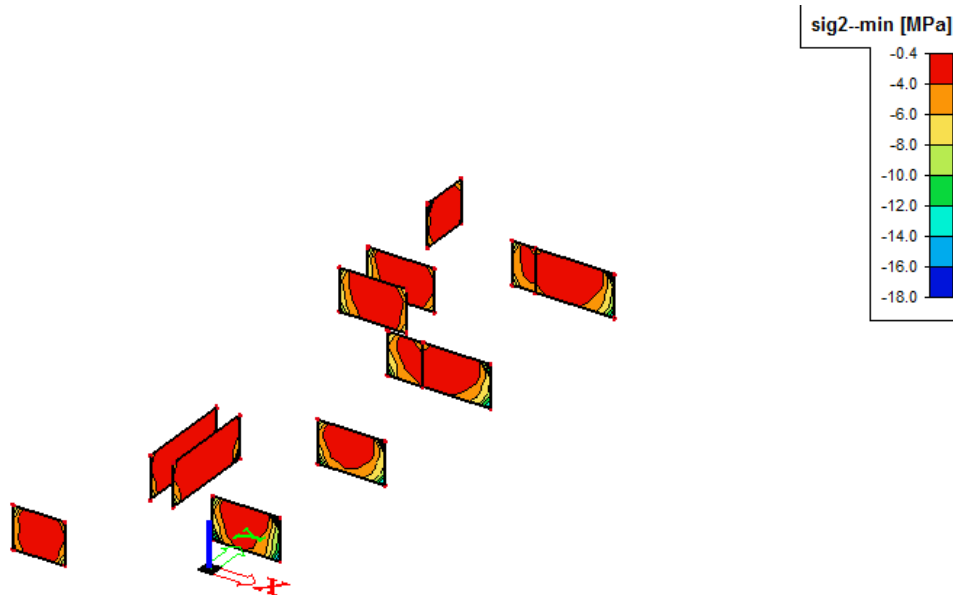


Crtež 7.23. Napreznja u zidu σ_c , GSU-2: $1,0*(G_0+G) + 0,3Q$

- Kontrola tlačnih naprezanja u zidu za anvelopu potresa ANV 10-13

Srednja tlačna naprezanja u betonu za potresnu kombinaciju ne smiju prijeći:

$$\sigma_{c,Rd} \leq 0,40 f_{cd} = 0,40 * (35/1,5) = 9,33 \text{ MPa}$$



Crtež 7.24. Naprezanja u zidu $\sigma_{c,Rd}$, ANV 10-13

U rubovima zidova (na mjestu vezivanja sa drugim elementima) javlja se veća koncentracija naprezanja pa je potrebno postaviti odgovarajuće U-vilice.

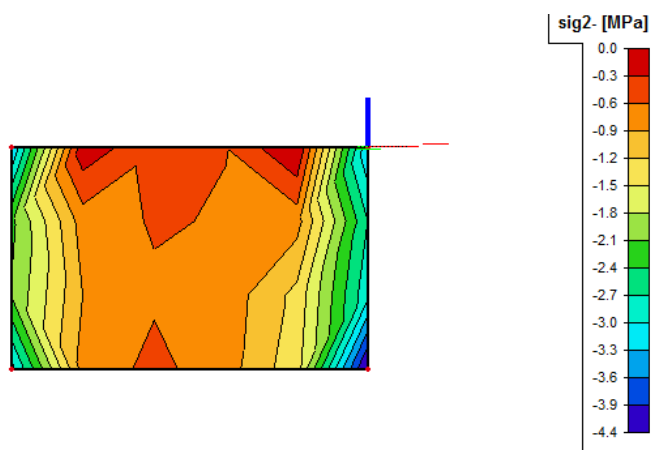
7.3.1. Zid u osi 10x /D-E –PLOŠNI ELEMENT

- Kontrola tlačnih naprezanja u zidu za nazovistalnu kombinaciju

$$GSU-2 = 1,0*(G_0+G) + 0,3Q$$

Srednja tlačna naprezanja u betonu za nazovistalnu kombinaciju ne smiju prijeći:

$$\sigma_{c,GSU2} \leq 0,40 f_{ck} = 0,40*35 = 14,00 \text{ MPa}$$

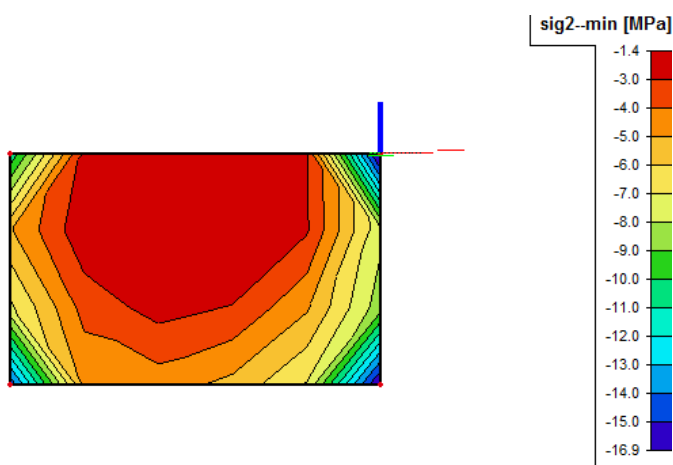


Crtež 7.25. Naprezanja u zidu $\sigma_{c,GSU-2}: 1,0*(G_0+G) + 0,3Q$

Na Crtežu 7.25. su prikazana rubna naprezanja u zidu gdje vidimo da maksimalno napreznje iznosi:

$$\sigma_{c,max} = 4,4 \text{ MPa} < 14,0 \text{ MPa}$$

- Kontrola tlačnih naprezanja u zidu za anvelopu potresa ANV 10-13



Slika Napreznja u zidu $\sigma_{c,Rd}$, ANV 10-13

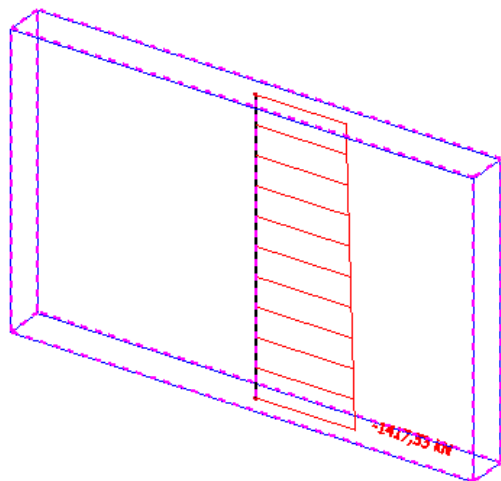
Srednja tlačna napreznja u betonu za nazovistalnu kombinaciju ne smiju prijeći:

$$\sigma_{c,Rd} \leq 0,40 f_{cd} = 0,40*(35/1,5) = 9,33 \text{ MPa}$$

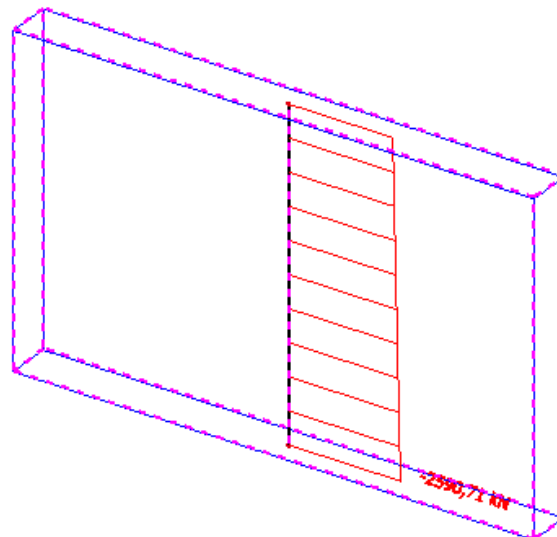
- Unutarnje sile u zidu u osi 4x /E-F

Uzdužne sile N_{sd} [MN] za za nazovistalnu kombinaciju

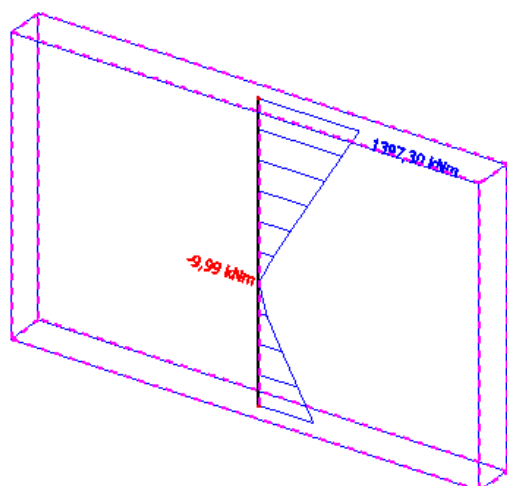
$$GSU-2=1,0*(G_0+G)+0,3*Q$$



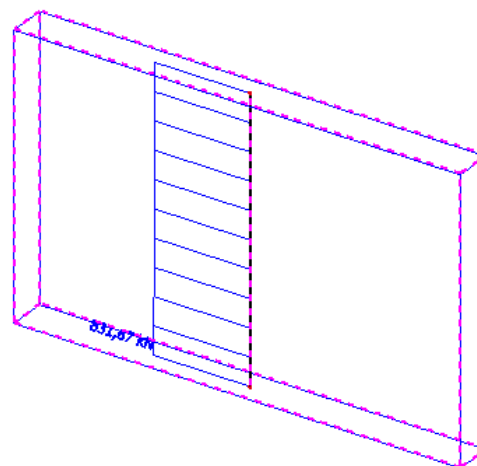
Uzdužne sile N_{Ed} [MN] za Anvelopu potresna ANV 10-13



Dijagram momenata savijanja $M_{z,Ed}$ [MNm] za Anvelopu potresna ANV 10-13



Dijagram poprečnih sila $V_{y,Ed}$ [MN] za Anvelopu potresna ANV 10-13



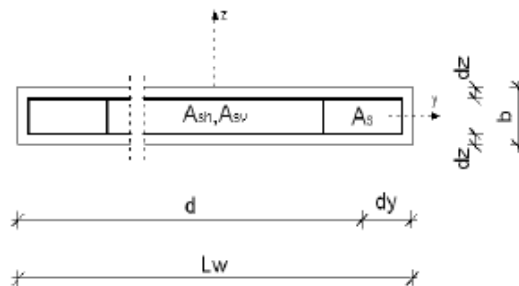
Crtež 7.26. Unutarnje sile u zidu u osi 10x / E-F

Visina zida: $H_w = 370$ cm

Duljina: $L_w = 485$ cm

$$\frac{l_w}{H_w} = \frac{485}{370} = 1,31 < 2 - \text{kratki zidovi}$$

Kod kratkih zidova nije potrebno prilagođavati momente savijanja određene proračunom konstrukcije na djelovanja uključena u potresnu proračunsku situaciju. Također nije potrebno povećavati poprečne sile zbog dinamičkih učinaka.



Crtež 7.26. Poprečni presjek zida

Geometrijske karakteristike zida:

- Duljina: $L_w = 485$ cm
- Širina: $b = 40$ cm
- $d_y \approx 20$ cm
- $d = L_w - d_y = 485 - 20 = 465$ cm

1) Srednje tlačno naprezanje u zidu za nazovistalnu kombinaciju (GSU-2):

$$\sigma_{c,Sd} = \frac{N_{Sd,GSU-2}}{b \cdot L_w} \leq 0,45 f_{ck} = 0,45 \cdot 35 = 15,75 \text{ MPa}$$

$$\sigma_{c,Sd} = \frac{1417,53}{0,4 \cdot 4,85} = 730,68 \text{ kN/m}^2 = 0,73 \text{ MPa} < 15,75 \text{ MPa}$$

2) Srednje tlačno naprezanje u zidu za seizmičku kombinaciju:

$$\sigma_{c,Rd} = \frac{N_{Sd,ANV10-13}}{b \cdot L_w} \leq 0,40 f_{cd} = 0,40 \cdot \left(\frac{35}{1,5}\right) = 9,33 \text{ MPa}$$

$$\sigma_{c,Rd} = \frac{2590,71}{0,4 \cdot 4,85} = 1335,41 \text{ kN/m}^2 = 1,34 \text{ MPa} < 9,33 \text{ MPa}$$

3) Armatura na krajevima zida (za seizmičku kombinaciju):

- Računski moment savijanja:

$$M_{Sds} = M_{sd} + N_{sd,GSU-2} \left(d - \frac{h}{2} \right) = 1397,30 + 1417,53 \left(4,65 - \frac{3,7}{2} \right) = 5366,38 [\text{kNm}]$$

- Bezdimenzionalna vrijednost momenta savijanja:

$$M_{Rd,lim} = \mu_{Rd,lim} \cdot b \cdot d^2 \cdot f_{cd} = 0,159 \cdot 0,4 \cdot 4,65^2 \cdot 23333 = 32087,33 [\text{kNm}] > M_{sds}$$

- Potrebna površina uzdužne vlačne armature:

$$A_1 = \frac{M_{Sds}}{0,8 \cdot d \cdot f_{yd}} - \frac{N_{sd,GSU-2}}{f_{yd}} = \frac{5082,87 \cdot 100}{0,8 \cdot 465 \cdot 43,48} - \frac{1417,53}{43,48} = -1,51 [\text{cm}^2]$$

Minimalna površina vlačne armature u polju:

$$A_{1,min} = 0,005 \cdot b \cdot d = 0,005 \cdot 40 \cdot 465 = 93 [\text{cm}^2]$$

Na svaku stranu po:

$$\frac{A_{1,min}}{2} = \frac{93}{2} = 46,5 \left[\frac{\text{cm}^2}{\text{m}'} \right] \Rightarrow \text{ODABRANO } 10\emptyset 25 (A_s = 49,09 [\text{cm}^2/\text{m}'])$$

4) Minimalna debljina hrpta

$$b_{w0} \geq \max\{0,15\text{m} ; h_s/20\} , h_s - \text{svijetla visina kata}$$

$$b_{w0} \geq \max\left\{0,15\text{m} ; \frac{3,50}{20} = 0,175\right\}$$

$$b_{w0} = 0,175 [\text{m}] \dots \text{Zadovoljeno.}$$

5) Visina kritičnog područja

$$h_{cr} \geq \max\left\{L_w ; \frac{h_w}{6}\right\}, L_w - \text{duljina zida}, h_w - \text{ukupna visina zida}$$

$$h_{cr} \geq \max\left\{485 ; \frac{370}{6} = 61,7\right\} \rightarrow h_{cr,max} = 485 \text{ cm}$$

$$h_{cr} \leq \min\{2L_w ; h_s\} = \min\{2 \cdot 485 = 970 ; 350\} \rightarrow h_{cr} = 350 \text{ cm}$$

6) Minimalna armatura

1. Na krajevima zida (u kritičnoj zoni):

a) vertikalno:

$$\rho_{\min} = 0.5\% \text{ od površine } A_c = L_c \cdot b_w \quad (L_c = \max \{0,15 L_w; 1,5 b_w\})$$

$$L_c = \max \{0,15 \cdot 485; 1,5 \cdot 40\} = \max \{72,75; 60\}$$

$$A_{s,\min} = \frac{0,5}{100} \cdot 72,75 \cdot 40 = 14,55 \text{ [cm}^2\text{]}$$

b) spone:

$$\Phi \geq \left\{ 6 \text{ mm}; \frac{d_{bl}}{4} = \frac{25}{4} \right\} \quad \text{-DCM}$$

$$\Phi_{\min} \geq \{6 \text{ mm}; 6,25 \text{ mm}\} \rightarrow \text{odabrano } \Phi = 10 \text{ mm}$$

$$\text{Razmak: } s_w \leq \min \left\{ 8 \cdot d_{bl}; \frac{b_0}{2}; 175 \text{ mm} \right\}$$

$$b_0 = 400 - 2 \cdot 35 = 330 \text{ (mm)}$$

$$s_w \leq \min \left\{ 8 \cdot 25 = 200; \frac{330}{2} = 165; 175 \text{ mm} \right\} \Rightarrow \text{ODABRANO: } \Phi 10/15, m=2$$

7) Provjera graničnog stanja nosivosti

1) Dijagonalni tlačni slom hrpta zbog posmika:

$$V_{sd} < V_{Rd}$$

a) Izvan kritičnog područja:

$$V_{Rd,\max} = \frac{\alpha_{cw} \cdot b_{w0} \cdot z \cdot v_1 \cdot f_{cd}}{\text{ctg}\theta + \text{tg}\theta}; \alpha_{cw} \text{ - za konstrukcije koje nisu prednapete; } \text{ctg}\theta = 1; \text{tg}\theta = 1$$

$$v_1 = 0,6 \left(1 - \frac{f_{ck}}{200} \right) = 0,6 \left(1 - \frac{35}{200} \right) = 0,5 \geq 0,5$$

$$V_{Rd,\max} = \frac{1 \cdot 40 \cdot 0,8 \cdot 465 \cdot 0,5 \cdot 2,33}{1+1} = 8667,6 \text{ kN} > V_{sd} = 831,67 \text{ kN}$$

b) Unutar kritičnog područja (za klasu DCM, kao u EC2) :

$$V_{sd} \leq V_{Rd,max} = 0,3 \cdot (1 - f_{ck} / 250) \cdot f_{cd} \cdot b_w \cdot z \cdot \sin 2\theta, \text{ gdje je } 1 \leq \cot \theta \leq 2,5$$

$$V_{sd} \leq V_{Rd,max} = 0,3 \cdot (1 - 35 / 250) \cdot 2 \cdot 40 \cdot 0,8 \cdot 465 \cdot \sin 90 = 7678,08 \text{ kN} > V_{sd} = 831,67 \text{ kN}$$

2) Dijagonalni vlačni slom hrpta zbog posmika:

a) Horizontalna armature

$$\alpha_s = \frac{M_{sd}}{V_{sd} \cdot l_w} = \frac{1397,30}{831,67 \cdot 4,85} = 0,35 < 2$$

$\alpha_s < 2 \Rightarrow \rho_h$ izvlačimo iz izraza:

$$V_{Rd,s} = b_{w0} \cdot (0,8 \cdot l_w) \cdot \rho_h \cdot f_{ywd} \cdot \cot \theta, \quad 1 \leq \cot \theta \leq 2,5 - DCM$$

Odabrano $\cot \theta = 1$

ρ_h omjer armiranja hrpta horizontalnim šipkama ($\rho_h = A_h / (b_{w0} s_h)$)
 $f_{y,d,h}$ proračunska vrijednost granice popuštanja horizontalne armature hrpta

$$\rho_h = \frac{V_{Rd,s}}{b_{w0} \cdot 0,8 \cdot l_w \cdot \alpha_s \cdot f_{yhd}} = \frac{831,67}{40 \cdot 0,8 \cdot 465 \cdot 43,48} = 0,00128 = 0,13\%$$

$$\rho_{h,min} = 0,2\%$$

Armatura mreža:

$$\rho_h = \frac{A_h}{b_{w0} \cdot s_h} \Rightarrow A_h = \rho_h \cdot b_{w0} \cdot s_h = 0,002 \cdot 40 \cdot 100 = 8 \text{ [cm}^2\text{/m}'\text{]}$$

Na svaku stranu po:

$$\frac{A_h}{2} = \frac{8}{2} = 4 \left[\frac{\text{cm}^2}{\text{m}'} \right] \Rightarrow \text{ODABRANO Q424}(A_s = 4,24 \text{ [cm}^2\text{/m}'\text{)})$$

b) Vertikalna armature

ρ_v izvlačimo iz izraza:

$$\rho_h \cdot f_{yd,h} \cdot b_{w0} \cdot z \leq \rho_v \cdot f_{yd,v} \cdot b_{w0} \cdot z + \min N_{Ed}$$

$$\rho_v \geq \frac{\rho_h \cdot f_{yd,h} \cdot b_{w0} \cdot z - \min N_{Ed}}{f_{yd,v} \cdot b_{w0} \cdot z}$$

$$\rho_v \geq \frac{0,00128 \cdot 43,48 \cdot 40 \cdot 0,8 \cdot 485 - 2412,12}{43,48 \cdot 40 \cdot 0,8 \cdot 485} = -0,00229 = 0,23\%$$

$$\rho_{v,MIN} = 0,2\%$$

Armaturna mreža:

$$\rho_v = \frac{A_v}{b_{w0} \cdot s_v} \Rightarrow A_v = \rho_v \cdot b_{w0} \cdot s_v = 0,002 \cdot 40 \cdot 100 = 8,0 \text{ [cm}^2/\text{m}'\text{]}$$

Na svaku stanu po:

$$\frac{A_v}{2} = 4,0 \left[\frac{\text{cm}^2}{\text{m}'\text{}} \right] \Rightarrow \text{ODABRANO: Q424 (} A_s = 4,24 \text{ [cm}^2/\text{m}'\text{])}$$

c) Spone: min $4\Phi 6/\text{m}^2$

8) Izračun ovojne armature za karakterističan zid:

- bezdimenzionalna vrijednost uzdužne sile

$$v_d = \frac{N_{sd,ANV10-13}}{A_c \cdot f_{cd}} < 0,4 - DCM$$

$$v_d = \frac{N_{sd,ANV10-13}}{A_c \cdot f_{cd}} = \frac{2590,71}{40 \cdot 485 \cdot 2,33} = 0,0573 < 0,4$$

- mehanički obujamski omjer zahtijevane ovijene armature ω_{wd} rubnog elementa

$$\omega_w = \frac{\rho_v \cdot f_{yd}}{f_{cd}} = \frac{0,00424 \cdot 43,48}{2,33} = 0,0791$$

$$\omega_{wd} = \frac{\text{volumen vilica}}{\text{volumen betonske jezgre}} \times \frac{f_{yd}}{f_{cd}} = \frac{0,79 \times (2 \times 60 + 2 \times 34) \times \frac{370}{15}}{60 \times 33,0 \times 370} \times \frac{43,48}{2,33} = 0,1 \geq 0,08$$

$$\mu_\phi = 5 \text{ za DCM}$$

$$v_d = 0,0573$$

$$b_c = 40(\text{cm})$$

$$b_0 = 33,0(\text{cm})$$

$$h_0 = l_c = 60(\text{cm})$$

$$\varepsilon_{sy,d} = 0,1\% = 0,001$$

$$\alpha = \alpha_n \cdot \alpha_s$$

$$\alpha_n = 1 - \sum b_i^2 / (6 \cdot b_0 \cdot h_0) = 1 - \left[\left((16,67 \cdot 3)^2 \cdot 2 + (12,75 \cdot 2)^2 \cdot 2 \right) / (6 \cdot 33 \cdot 60) \right] = 0,469$$

$$\alpha_s = (1 - s / 2b_0) \cdot (1 - s / 2h_0) = (1 - 15 / 2 \cdot 33,0) \cdot (1 - 15 / 2 \cdot 60) = 0,676$$

n = 10 - broj šipki

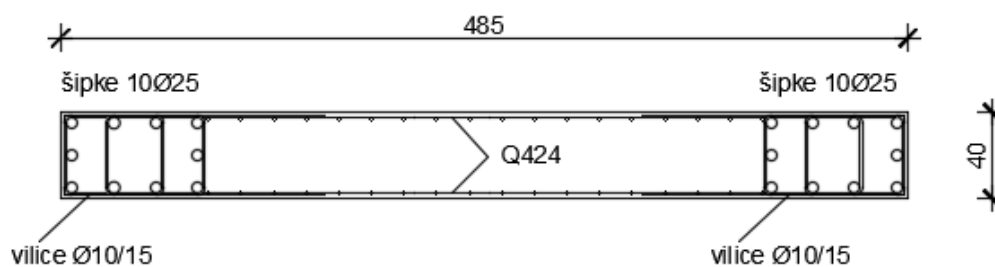
$$\alpha = 0,469 \cdot 0,676 = 0,317$$

$$\alpha \cdot \omega_{vd} \geq 30 \cdot \mu_\phi \cdot (v_d + \omega_v) \cdot \varepsilon_{yd} \cdot \frac{b_c}{b_0} - 0,035$$

$$0,317 \cdot 0,1 \geq 30 \cdot 5 \cdot (0,0573 + 0,0791) \cdot 0,001 \cdot \frac{40}{33} - 0,035$$

0,0317 \geq -0,0102- odabrana armatura zadovoljava!

Odabrana armatura: Q-424 ($A_s=4,24 \text{ cm}^2/\text{m}$) -obostrano, 10 \varnothing 25 ($A_s=49,09 \text{ cm}^2$)



Crtež 7.27. Plan armature zida

7.4. STUPOVI

- Provjera naprezanja u betonu za nazovistalnu kombinaciju

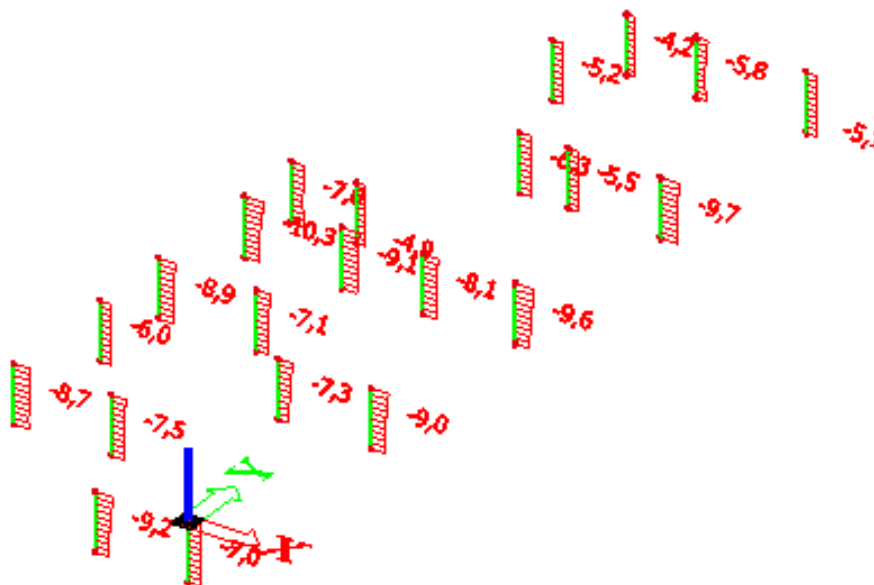
Srednja tlačna naprezanja u betonu za nazovistalnu kombinaciju

GSU-2: $1,0 \cdot (G_0 + G) + 0,3Q$ ne smiju prijeći:

$$\sigma_c \leq 0,45 \cdot f_{ck} = 0,45 \cdot 40 = 18 \text{ MPa}$$

Na Crtežu 7.28. su prikazana rubna naprezanja u stupovima za nazovi stalnu kombinaciju GSU-2 djelovanja, gdje vidimo da maksimalno naprezanje iznosi:

$$\sigma_{c,\max} = 10,3 \text{ MPa} < 18 \text{ MPa}$$



Crtež 7.28. Naprezanja u stupovima $\sigma_{c,\max}$ [MPa] za nazovi stalnu kombinaciju djelovanja GSU-2: $1,0 \cdot (G_0 + G) + 0,3Q$

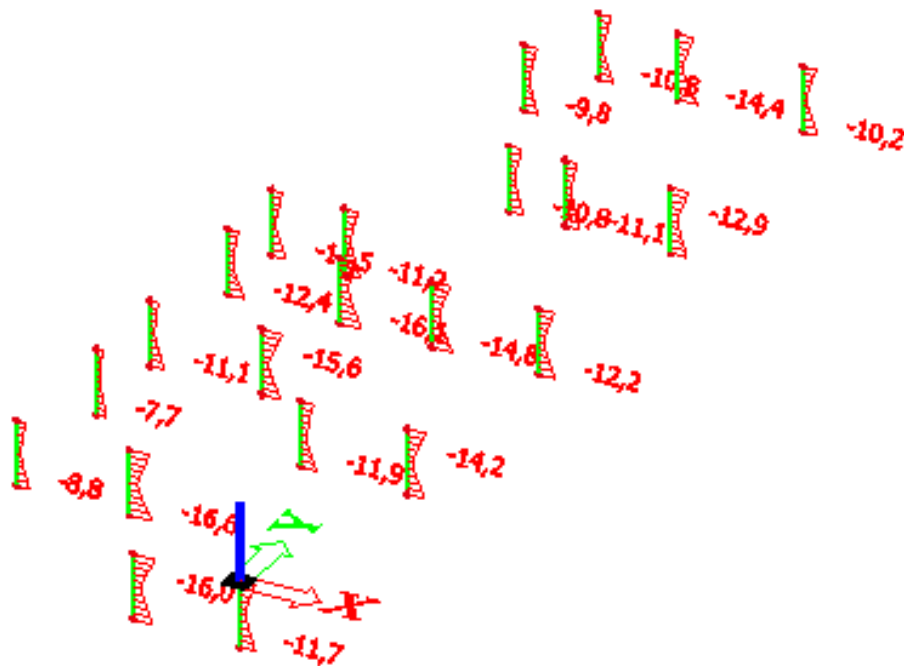
- Provjera naprezanja u betonu za anvelopu potresnog opterećenja

Srednja tlačna naprezanja u betonu za anvelopu potresnog djelovanja ANV 10-13 ne smiju prijeći:

$$\sigma_c \leq 0,65 \cdot f_{cd} = 0,65 \cdot (40/1,5) = 17,3 \text{ MPa}$$

Na Crtežu 7.29. su prikazana rubna naprezanja u stupovima za anvelopu potresnog djelovanja ANV 10-13, gdje vidimo da maksimalno naprezanje iznosi:

$$\sigma_{c,\max} = 16,6 \text{ MPa} < 17,3 \text{ MPa}$$

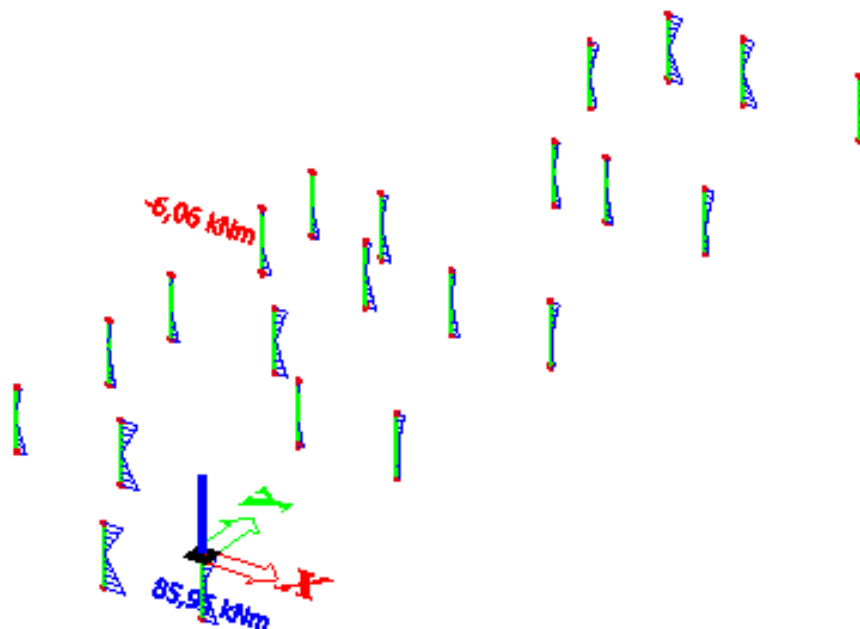


Crtež 7.29. Naprezanja u stupovima $\sigma_{c,\max}$ [MPa] za anvelopu potresnog djelovanja

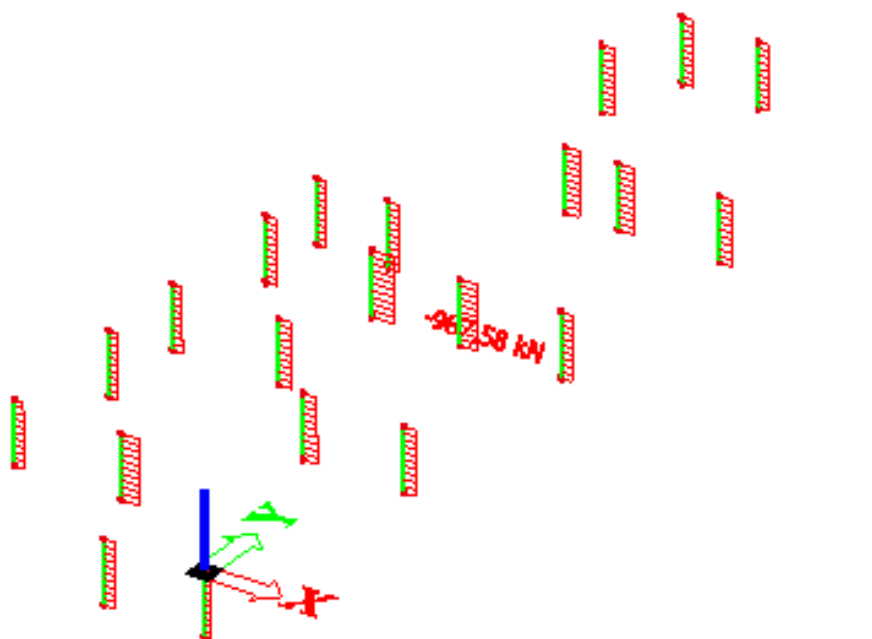
ANV 10-13

7.4.1. Proračun potrebne armature u stupovima

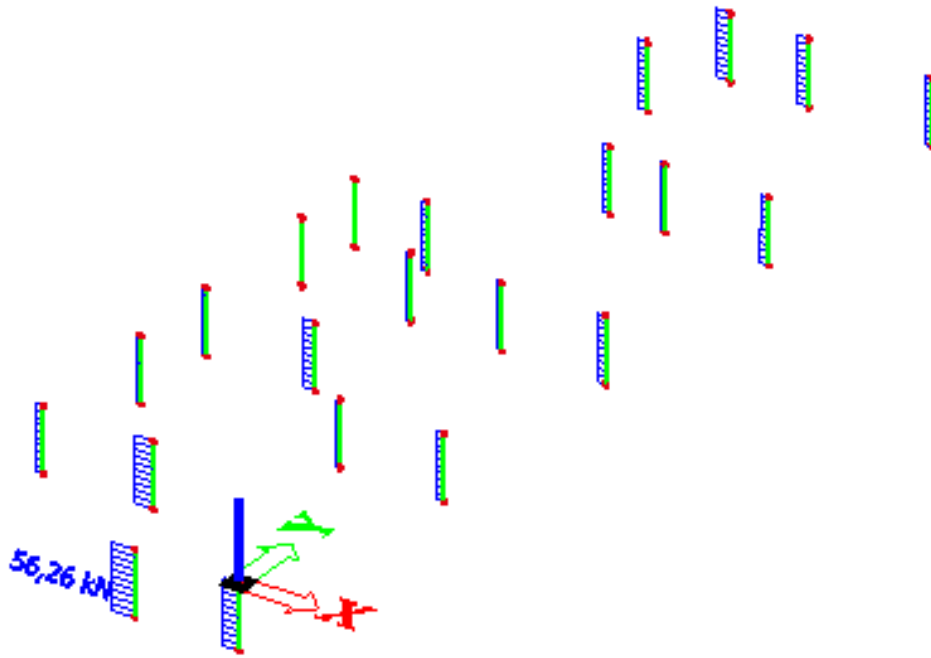
Rezne sile u stupovima za mjerodavnu anvelopu potresog djelovanja ANV 10-13 prikazane su na sljedećim crtežima (Crteži 7.31; 7.32; 7.33) :



Crtež 7.30. Momenti savijanja $M_{sd,y}$ [kNm] na stupovima za anvelopu potresnog djelovanja ANV 10-13



Crtež 7.31. Uzdužne sile N_{sd} [kN] na stupovima za anvelopu potresnog djelovanja ANV 10-13



Crtež 7.32. Poprečne sile $V_{sd,z}$ [kN] na stupovima za anvelopu potresnog djelovanja

ANV 10-13

Mjerodavne rezne sile u stupovima iznose (maksimalni moment i pripadajuća uzdužna i poprečna sila):

$$M_{sd} = 85,95 \text{ kNm}$$

$$N_{sd} = -543,26 \text{ kN}$$

$$V_{sd} = 52,26 \text{ kN}$$

Proračun na savijanje

Proračun je izvršen pomoću dijagrama interakcije:

$$\alpha = \frac{A_{s2}}{A_{s1}} = 1,0$$

$$\beta = \frac{d_1}{h} = \frac{d_2}{h} = \frac{4,0}{40,0} = 0,1$$

$$M_{sd,s} = \psi \times M_{sd}$$

$$C_m = 1,0$$

$$\gamma = 1,5$$

$$E = 32800 \text{ MPa}$$

$$I = \frac{b^4}{12} = \frac{0,4^4}{12} = 0,002133 \text{ m}^4$$

$$l_i = 1,0 \times h_{\text{stup}} = 1,0 \times 2,9 = 2,9 \text{ m}$$

$$N_e = \pi^2 \cdot \frac{E \cdot I}{l_i^2} = \pi^2 \cdot \frac{32800000 \cdot 0,002133}{2,9^2} = 82104,78 \text{ kN}$$

$$\psi = \frac{C_m}{1 - \frac{\gamma \cdot N_{sd}}{N_e}} = \frac{1,0}{1 - \frac{1,5 \cdot 543,26}{82104,78}} = 1,01$$

$$M_{sd,s} = \psi \cdot M_{sd} = 1,01 \cdot 85,95 = 86,81 \text{ kNm}$$

$$\nu_{sd} = \frac{N_{sd}}{b \cdot h \cdot f_{cd}} = \frac{-543,26}{40 \cdot 40 \cdot 2,67} = -0,13$$

$$\mu_{sd} = \frac{M_{sd,s}}{b \cdot h^2 \cdot f_{cd}} = \frac{86,81 \cdot 100}{40 \cdot 40^2 \cdot 2,67} = 0,051$$

Iz dijagrama interakcije iščitano je $w = 0,05$, pa je potrebna armatura:

$$A_{s1} = A_{s2} = w \cdot b \cdot h \cdot \frac{f_{cd}}{f_{yd}} = 0,05 \cdot 40 \cdot 40 \cdot \frac{2,67}{43,5} = 4,91 \text{ cm}^2$$

Odabrano: 4Ø18 ($A_s = 10,18 \text{ cm}^2$)

Odabrano je **4Ø18** ($A_{s1} = A_{s2} = 10,18 \text{ cm}^2$) na svakoj strani stupa, odnosno ukupno **8Ø18** ($A_s = 20,36 \text{ cm}^2$).

Proračun na poprečnu silu:

$$V_{sd} = 52,26 \text{ kN}$$

$$N_{sd} = 543,26 \text{ kN}$$

$$V_{Rd,c} = \left[C_{Rdc} \cdot k \cdot (100 \cdot \rho_l \cdot f_{ck})^{1/3} + k_1 \cdot \sigma_{cp} \right] \cdot b_w \cdot d$$

$$k = 1,0 + \sqrt{\frac{200}{d}} = 1,0 + \sqrt{\frac{200}{360}} = 1,8 < 2,0 \Rightarrow k = 1,8$$

$$k_1 = 0,15$$

$$\sigma_{cp} = N_{Ed} / A_c = \frac{543,26}{40 \cdot 40} = 0,339$$

$$C_{Rdc} = 0,18 / \gamma_c = 0,18 / 1,5 = 0,12$$

$$\rho_l = \frac{\sum A_s}{A_c} = \frac{4\phi 14 + 4\phi 14}{40 \cdot 40} = 0,0077$$

$$V_{Rd,c} = \left[0,12 \cdot 1,8 \cdot (100 \cdot 0,0077 \cdot 40)^{1/3} + 0,15 \cdot 0,339 \right] \cdot 400 \cdot 360 = 104821,32 \text{ N} = 104,82 \text{ kN} \geq V_{sd,max}$$

-Računska armatura za prihvaćanje poprečnih sila nije potrebna jer je $V_{Rd,c} \geq V_{sd,max}$, ali je ipak potrebno postaviti minimalnu (konstruktivnu) armaturu:

$$V_{Rd,2} = 0,5 \cdot \nu \cdot f_{cd} \cdot b_w \cdot d$$

$$\nu = 0,6 \left[1,0 - \frac{f_{ck}}{250} \right] = 0,6 \left[1,0 - \frac{40}{250} \right] = 0,504$$

$$V_{Rd,2} = 0,5 \cdot 0,504 \cdot 400 \cdot 360 \cdot 26,67 = 967800,9 \text{ N} = 967,8 \text{ kN} > V_{sd,max}$$

$$V_{sd,max} < 0,3 V_{Rd,2} = 290,34 \text{ kN}$$

$$s_{w,max} = \min \{ 0,75 \cdot d; 30,0 \text{ cm} \} = \min \{ 0,75 \cdot 36 = 27; 30,0 \} \Rightarrow s_{w,max} = 27 \text{ cm}$$

$$\rho_{min} = 0,0013 \quad (C 40 / 50)$$

$$\text{Odabrani } s_w = 20 \text{ cm}$$

$$A_{sw} = \frac{\rho_{min} \cdot s_w \cdot b_{min}}{m} = \frac{0,0013 \cdot 20 \cdot 40}{2} = 0,52 \text{ cm}^2$$

Odabrane spone: **Φ10/20**(cm), ($A_{sw} = 0,79 \text{ cm}^2$).

7.5. TEMELJI

7.5.1. Općenito

Temelj je dio konstrukcije koji omogućuje da se opterećenje sa "ležajeva" konstrukcije raspodjeli na toliku površinu tla, kolika je potrebna kako bi se postigla potrebna sigurnost od sloma tla, a da pri tom deformacije (slijeganje tla) omogućuju funkcionalnost građevine.

Temelji se dijele na :

- plitke temelje
- duboke temelje
- kombinirani temelji (npr. ploča s pilotima)

Plitki temelji prenose opterećenje od objekta na tlo samo preko donje dodirne površine temelja i tla. Oni se dijele na: temelje samce, temeljne trake, temeljne nosače, temeljni roštilj i temeljnje ploče.

- Modeliranje temelja na elastičnoj podlozi

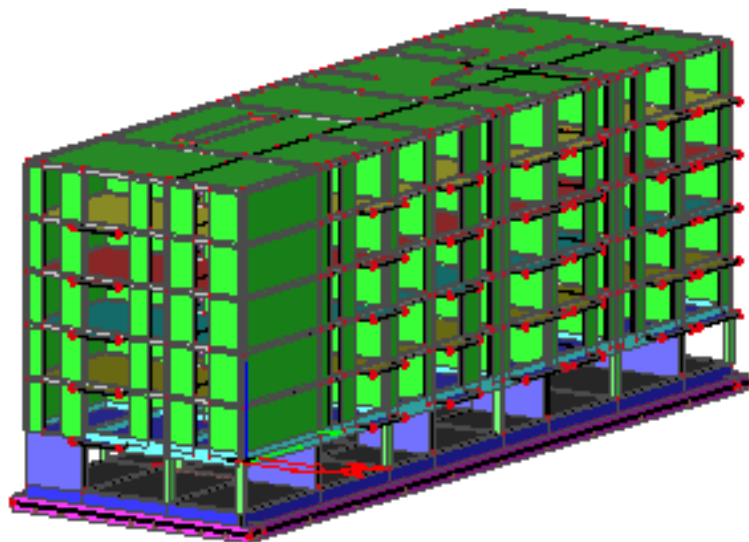
Temelji su modelirani kao 2D elementi koji predstavljaju temeljnu traku na kojoj se nalazi nadtemeljni zid. Izvedeni su od betona C35/45 i armirani s B500B. Ovisno o opterećenju koji preuzimaju pojedini temelji i kontaktnim naprežanjima koja se javljaju u tlu određena je potrebna širina i armatura temelja.

U ovom radu temelji su modelirani na elastičnoj podlozi (Winklerov model tla) tj. tlo je zamijenjeno skupom nezavisnih opruga konstantne krutosti k . Zadani su elastični ležajevi sa danim karakteristikama tla razreda A i modelom elastičnosti podloge od 50 MN/m^3 .

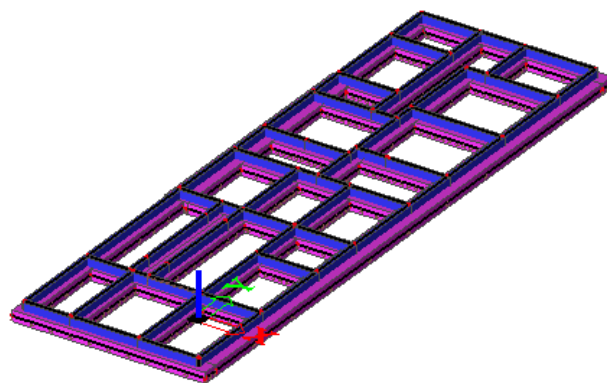
Model temelja kao i model cijele građevine napravljen je u programskom paketu SCIA Engineer 16.1.

Napomena: u radu je prikazano samo temeljenje zidane zgrade s armirano-betonskim prizemljem.

7.5.2. Temeljenje konstrukcije na trakastim temeljima

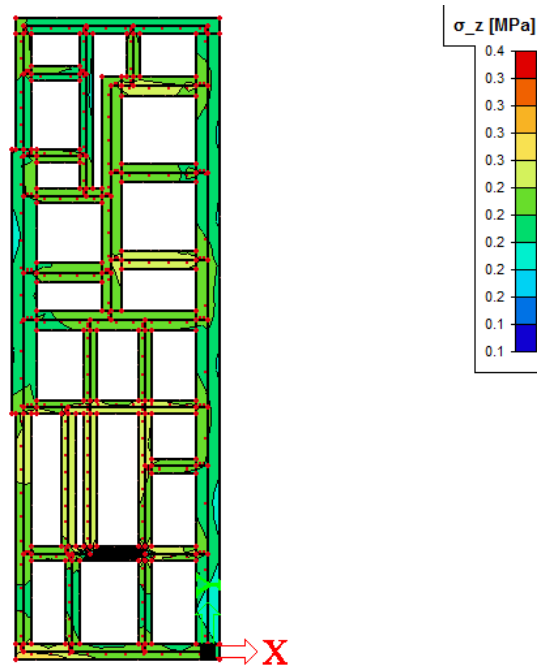


Crtež 7.33. Model konstrukcije s armirano-betonskim prizemljem



Crtež 7.34. Model temelja – trakasti tip

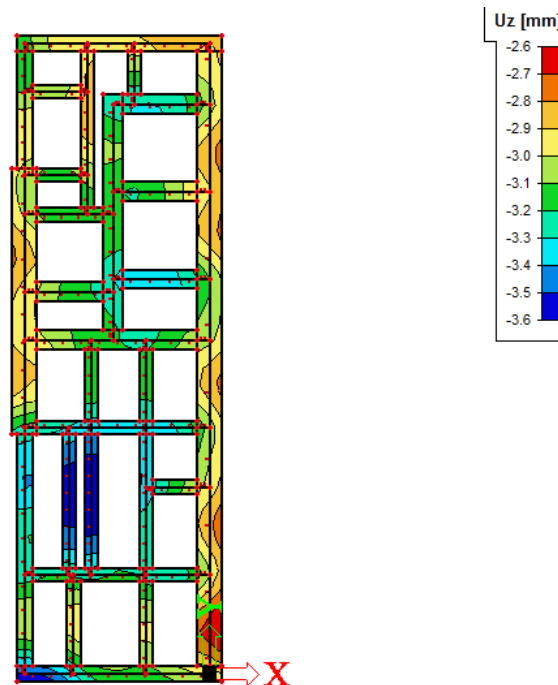
Rezultati proračuna



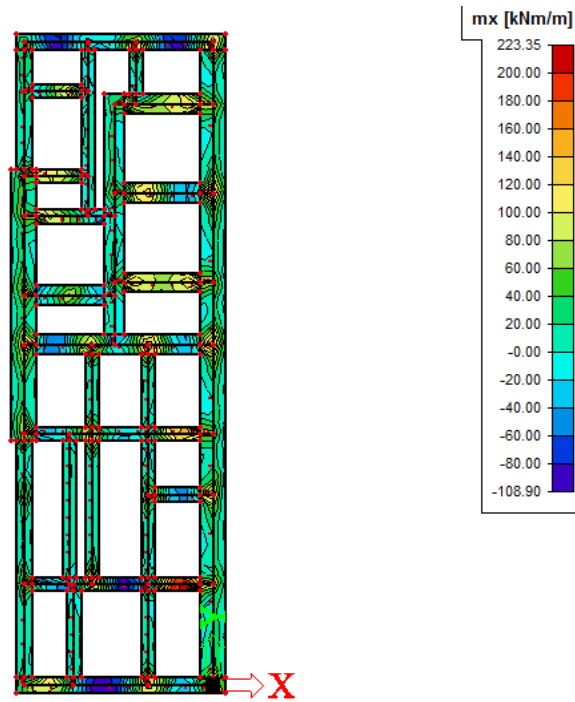
Crtež 7.35. Naprezanja [kPa] na kontaktu temeljnih stopa/tlo za kombinaciju

$$\text{GSN-1: } 1,35 \cdot (G_0 + G) + 1,5Q$$

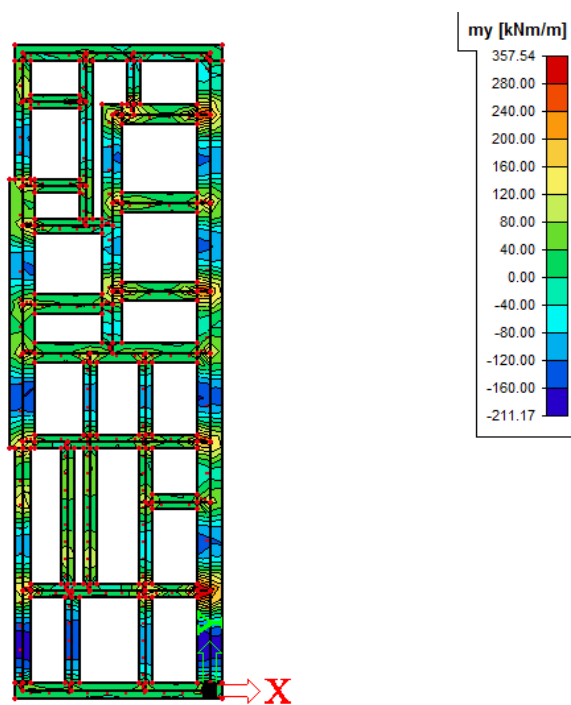
Kontaktne naprezanja σ_{sd} manja su od računске nosivosti $\sigma_{sd} = 450$ kPa.



Crtež 7.36. Slijeganje temeljnih stopa U_z [mm] za kombinaciju GSU-1: $1,0 \cdot (G_0 + G) + 0,5Q$



Crtež 7.37. Moment savijanja $M_{Sd,x}$ [kNm/m], za kombinaciju GSN-1: $1,35*(G_0+G) + 1,5Q$



Crtež 7.38. Moment savijanja $M_{Sd,y}$ [kNm/m], za kombinaciju GSN-1: $1,35*(G_0+G) + 1,5Q$

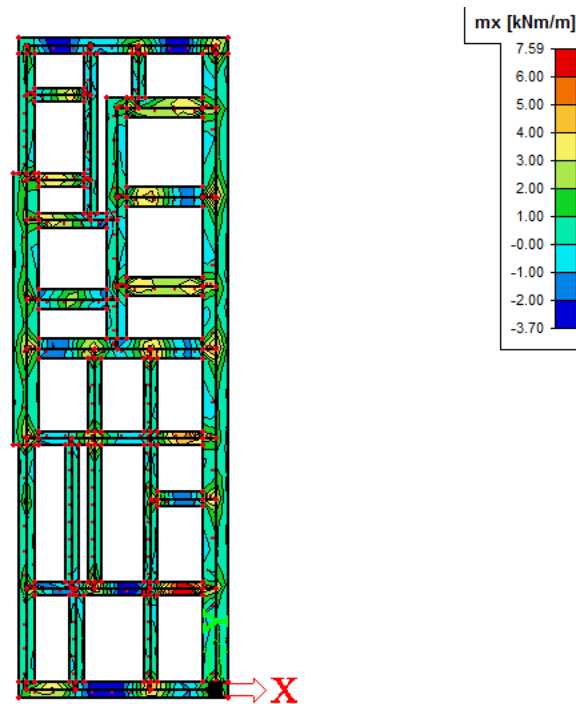
Prikaz potrebne armature

Potrebna armatura proračunata je prema izrazu:

$$A_s = \frac{M_{sd}}{\zeta \times d \times f_{yd}}; \quad d = h - 5 \text{ cm}; \quad h = \text{visina temeljne stope}$$

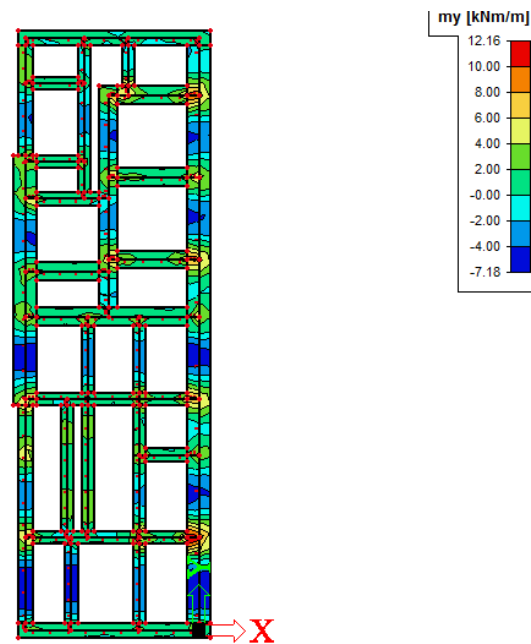
$$A_s = \frac{M_{sd}}{\zeta \times d \times f_{yd}} = \frac{M_{sd} \times 100}{0,9 \times 80 \times 43,48} = 0,0319 \times M_{sd}$$

Potrebna armatura u X smjeru (cm²/m)



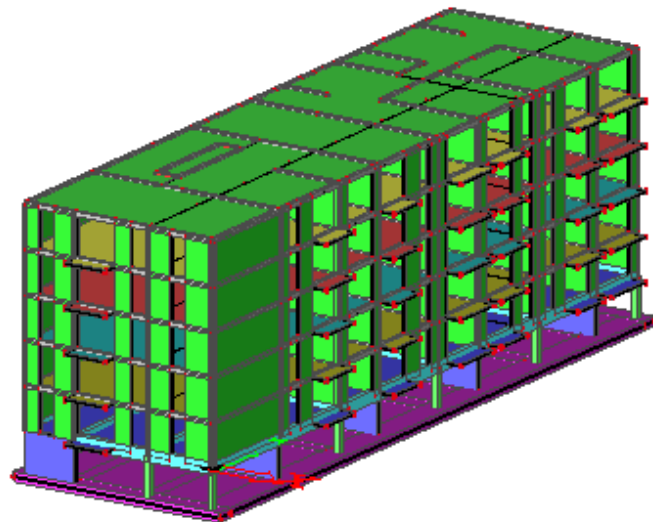
Crtež 7.39. Potrebna armatura [cm²/m] u X smjeru

Potrebna armatura u Y smjeru (cm^2/m)

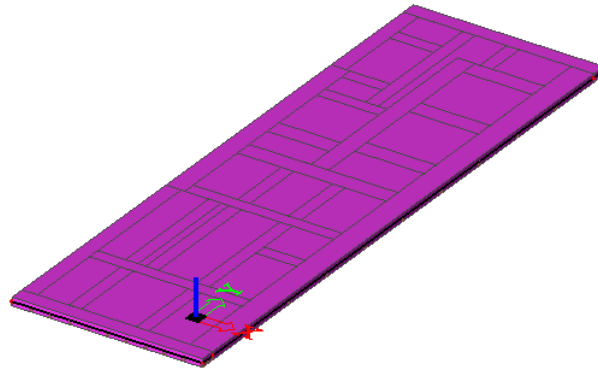


Crtež 7.40. Potrebna armatura [cm^2/m] u Y smjeru

7.5.3. Temeljenje konstrukcije na temeljnoj ploči

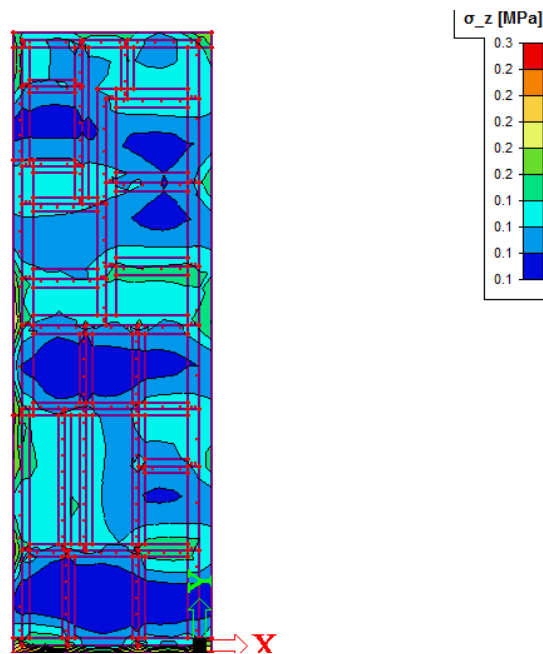


Crtež 7.41. Model konstrukcije s armirano-betonskim prizemljem
na temeljnoj ploči



Crtež 7.41. Model temelja

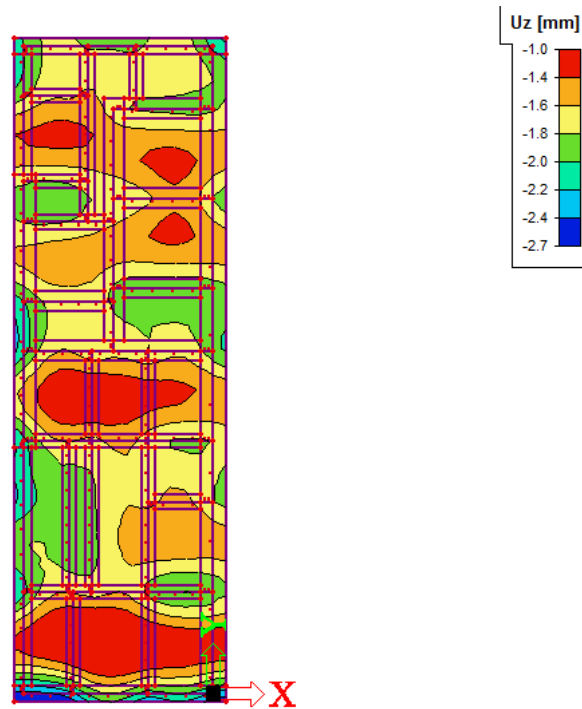
Rezultati proračuna



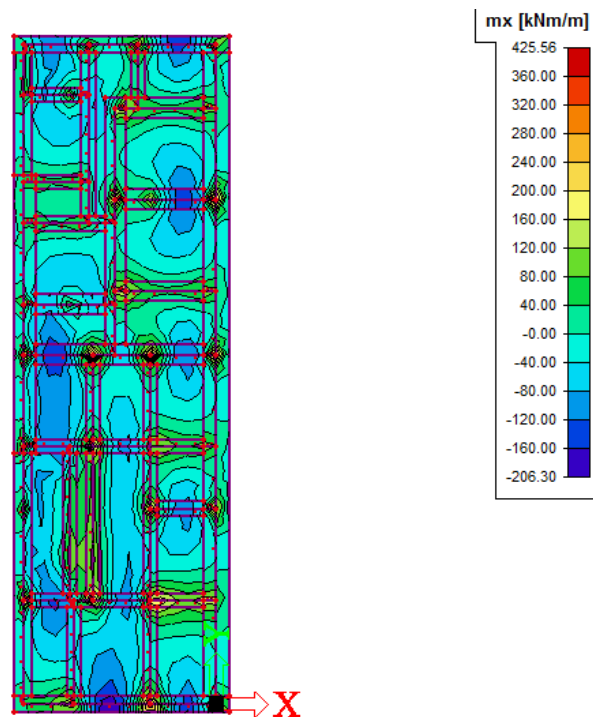
Crtež 7.42. Naprezanja [kPa] na kontaktu temeljnih stopa/tlo za kombinaciju

$$\text{GSN-1: } 1,35 \cdot (G_0 + G) + 1,5Q$$

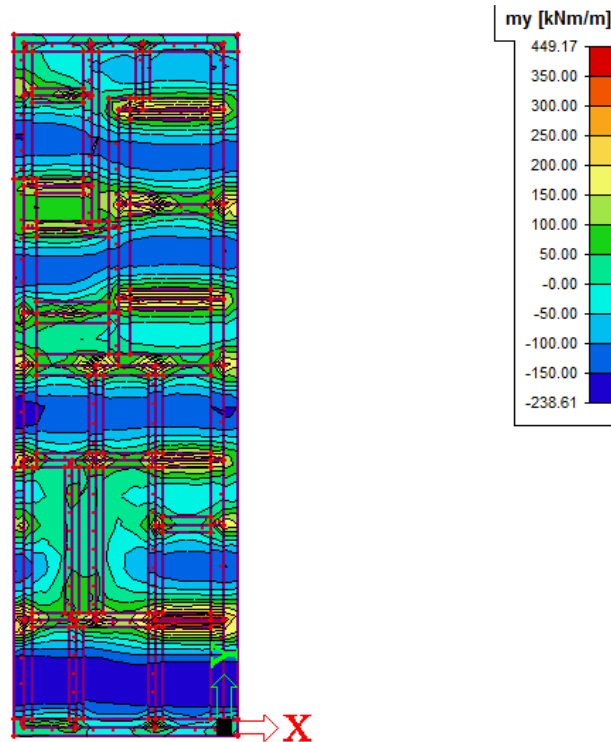
Kontaktne naprezanja σ_{sd} manja su od računске nosivosti $\sigma_{sd} = 450$ kPa.



Crtež 7.43. Slijevanje temeljnih stopa Uz [mm] za kombinaciju GSU-1: $1,0 \cdot (G_0 + G) + 0,5Q$



Crtež 7.44. Moment savijanja $M_{sd,x}$ [kNm/m], za kombinaciju GSN-1: $1,35 \cdot (G_0 + G) + 1,5Q$



Crtež 7.45. Moment savijanja $M_{sd,y}$ [kNm/m], za kombinaciju GSN-1: $1,35 \cdot (G_0 + G) + 1,5Q$

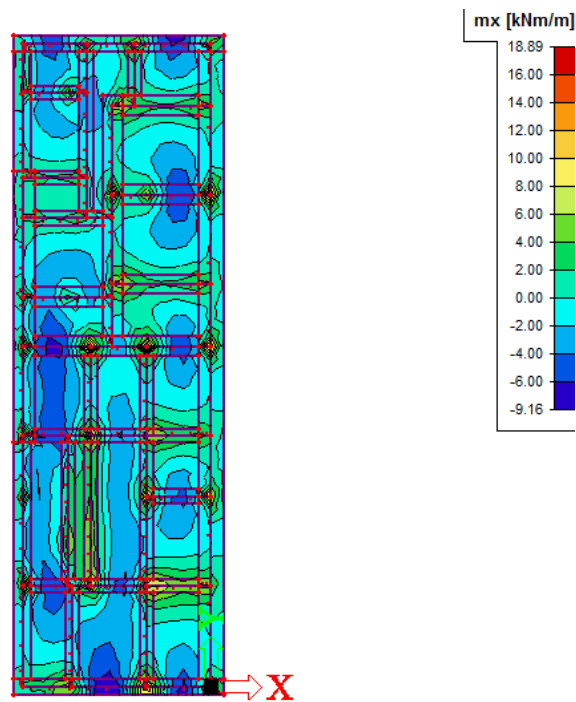
Prikaz potrebne armature

Potrebna armatura proračunata je prema izrazu:

$$A_s = \frac{M_{sd}}{\zeta \times d \times f_{yd}}; \quad d = h - 5 \text{ cm}; \quad h = \text{visina temeljne stope}$$

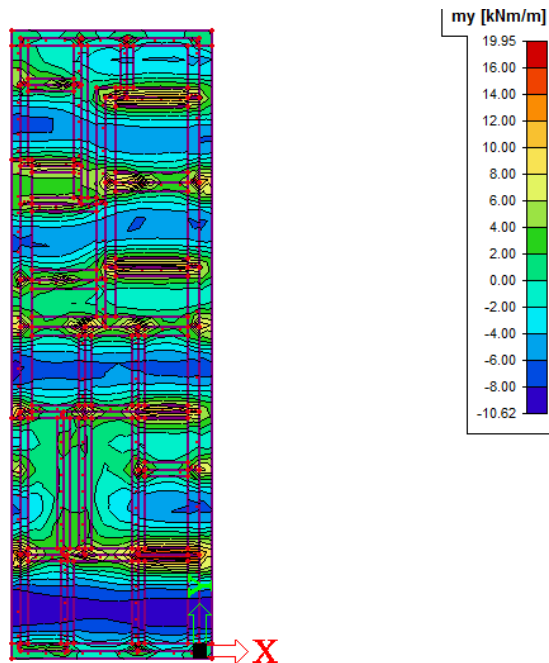
$$A_s = \frac{M_{sd}}{\zeta \times d \times f_{yd}} = \frac{M_{sd} \times 100}{0,9 \times 60 \times 43,48} = 0,0425 \times M_{sd}$$

Potrebna armatura u X smjeru (cm^2/m)



Crtež 7.46. Potrebna armatura [cm^2/m] u X smjeru

Potrebna armatura u Y smjeru (cm^2/m)



Crtež 7.47. Potrebna armatura [cm^2/m] u Y smjeru

8. ZAKLJUČAK

Za predmetnu zidanu zgradu s armirano-betonskim prizemljem provedena su dva proračuna. Prvo je proveden pojednostavljeni proračun koristeći pravila za jednostavne zgrade, a potom proračun u računalnom programu SCIA Engineer 16.1.

Na temelju oba proračuna možemo vidjeti da konstrukcija zadovoljava s gledišta nosivosti i uporabivosti. U računalnom programu proveden je proračun i za zidanu konstrukciju s armirano-betonskim prizemljem (stupovi i zidovi) i za zidanu konstrukciju s prizemljem samo na stupovima. Iz usporedbe ta dva modela vidljivo je da se dodavanjem armirano-betonskih zidova u prizemlju mnogo umanjuju naprezanja u stupovima tj. potrebne dimenzije stupova dodavanjem zidova se samnjuju. Također je bitno da su okviri upeti pri vrhu da bi se osigurala određena rezerva nosivosti. Posebnu pažnju treba obratiti na pravilno armiranje stupova da ne dođe do pojave plastificiranja zglobova usljed kojih može nastati mehanizam što dovodi do urušavanja konstrukcije.

Također su u računalnom programu na modelu zgrade s armirano-betonskim prizemljem proračunati temelji trakastog tipa i pločastog tipa. Iz rezultata sljevanja tla ispod temelja se može zaključiti da su povoljniji traksti temelji. Sljevanje tla ispod trakastih temelja se može podešavati prilagođavanjem širine temeljne trake dok kod pločastog tipa temelja to nije moguće.

Progibi međukatne konstrukcije su izračunati za linearno stanje naprezanja, ali i za nelinearno stanje naprezanja s uključenim puzanjem. Također je u proračun uključena armatura u obje zone međukatne konstrukcije i dobiveni su najveći progibi za nelinearno stanje naprezanja s uključenim puzanjem koji su manji od dopuštenih progiba.

9. PRILOZI

Prilog 1: Tlocrt temelja, M 1:100

Prilog 2: Tlocrt prizemlja, M 1:100

Prilog 3: Tlocrt tipične etaže, M 1:100

Prilog 4: Presjek A-A i Presjek B-B, M 1:100

Prilog 5: Južno i zapadno pročelje, M 1:100

Prilog 6: Sjeverno i istočno pročelje, M 1:100

Prilog 7: Detalj spoja horizontalnog i vertikalnog serklaža, M 1:10

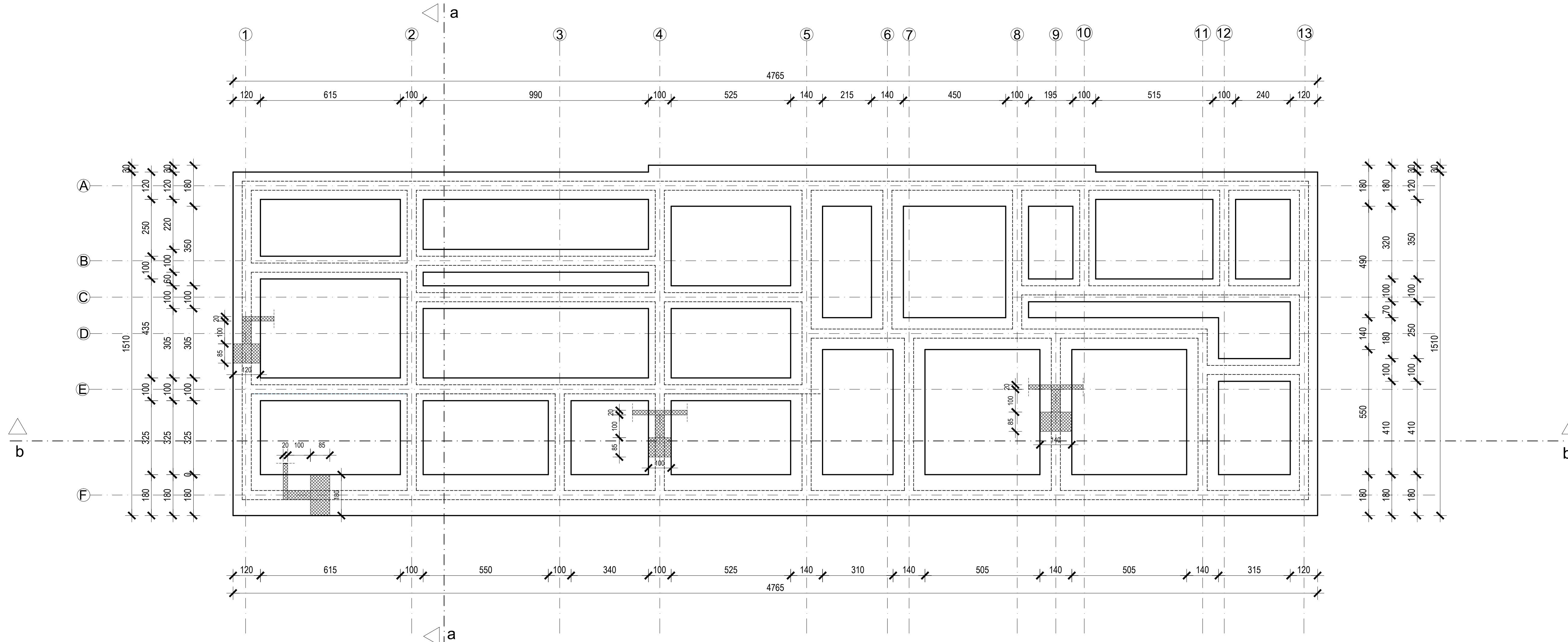
Prilog 8: Armatura karakterističnog okvira, M 1:50

10. LITERATURA

- [1] A. Mihanović, Dinamika konstrukcija, Udžbenici Sveučilišta u Splitu, Split, 1995.
- [2] B. Trogrlić: Zidane konstrukcije (zapsi s predavanja), Split, Fakultet građevinarstva, arhitekture i geodezije Split, 2016.
- [3] D. Aničić; T. Franko; S. Lu, I. Par Koričić, M. Zupčić: Zidane konstrukcije: Priručnik za investitore, projektante, nadzorne inženjere i izvođače, Karlovac, Wienerberger Ilovac d.d., 2009.
- [4] Europska norma EN 1998, CEN, Brussels, Belgium, 2004.
- [5] Europska norma EN 1996, CEN, Brussels, Belgium, 2004.
- [6] Europska norma EN 1992, CEN, Brussels, Belgium, 2004.
- [7] Z. Sorić: Zidane konstrukcije , Udžbenici Sveučilišta u Zagrebu, Zagreb, 2016.
- [8] Wienerberger katalog proizvoda

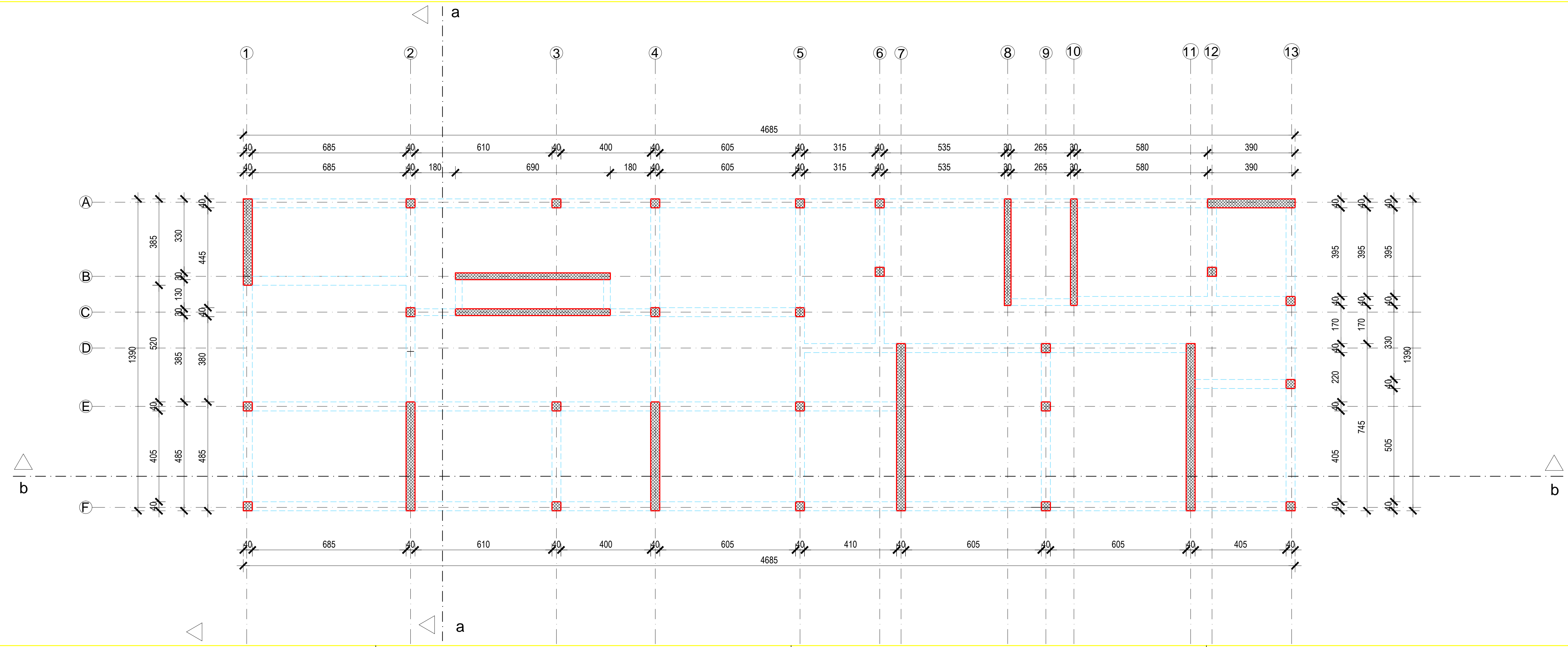
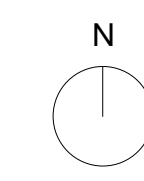
<http://www.wienerberger.hr/zidni-sistem/porotherm>


TLOCRT TEMELJA M 1:100



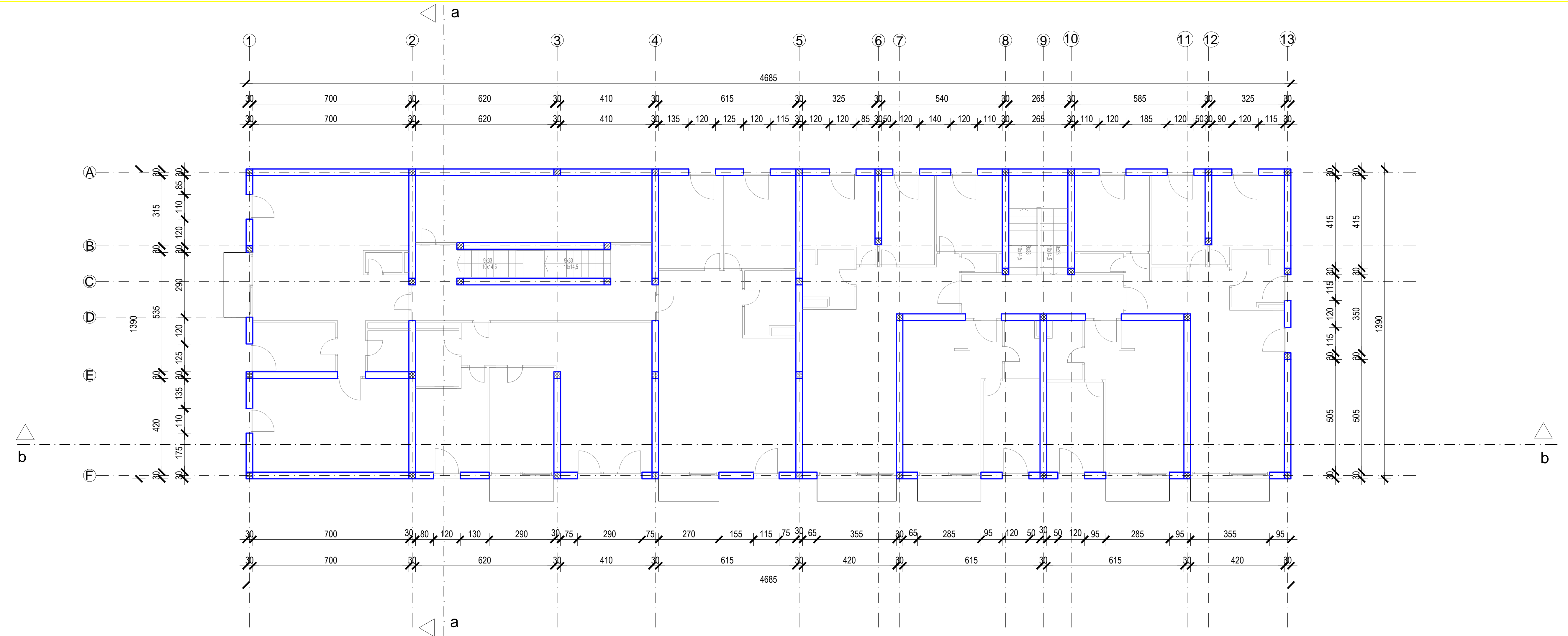
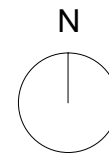
				DIPLOMSKI RAD	
				Tema: Proračun zidane zgrade s ab prizemljem	
Student: Toni Blagačić		Mjerilo: 1:100		Broj priloga: 1	
Sadržaj: Tlocrt temelja		Datum: Lipanj 2017.			
SVEUČILIŠTE U SPLITU FAKULTET GRAĐEVINARSTVA, ARHITEKTURE I GEODEZIJE 21 000 SPLIT, MATICE HRVATSKE 15					


TLOCRT PRIZEMLJA M 1:100



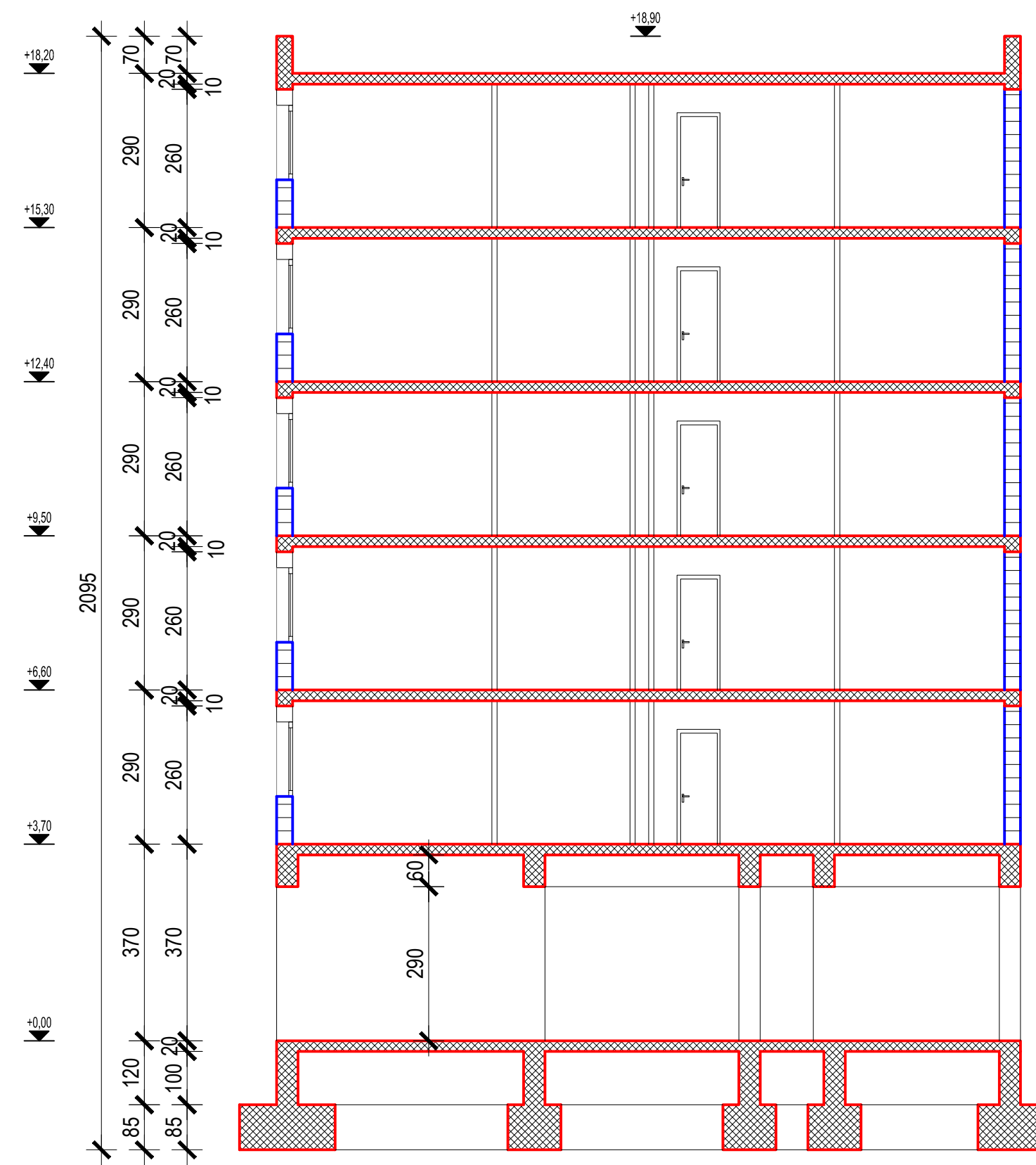
				DIPLOMSKI RAD	
Tema:		Proračun zidane zgrade s ab prizemljem			
Student:		Toni Blagać			
Sadržaj:		Tlocrt prizemlja	Mjerilo:	Broj priloga: 2	
Datum:		Lipanj 2017.	1:100		
<small> SVEUČILIŠTE U SPLITU FAKULTET GRAĐEVINARSTVA, ARHITEKTURE I GEODEZIJE 21 000 SPLIT, MATICE HRVATSKE 15 </small>					

TLOCRT KARAKTERISTIČNE ETAŽE M 1:100

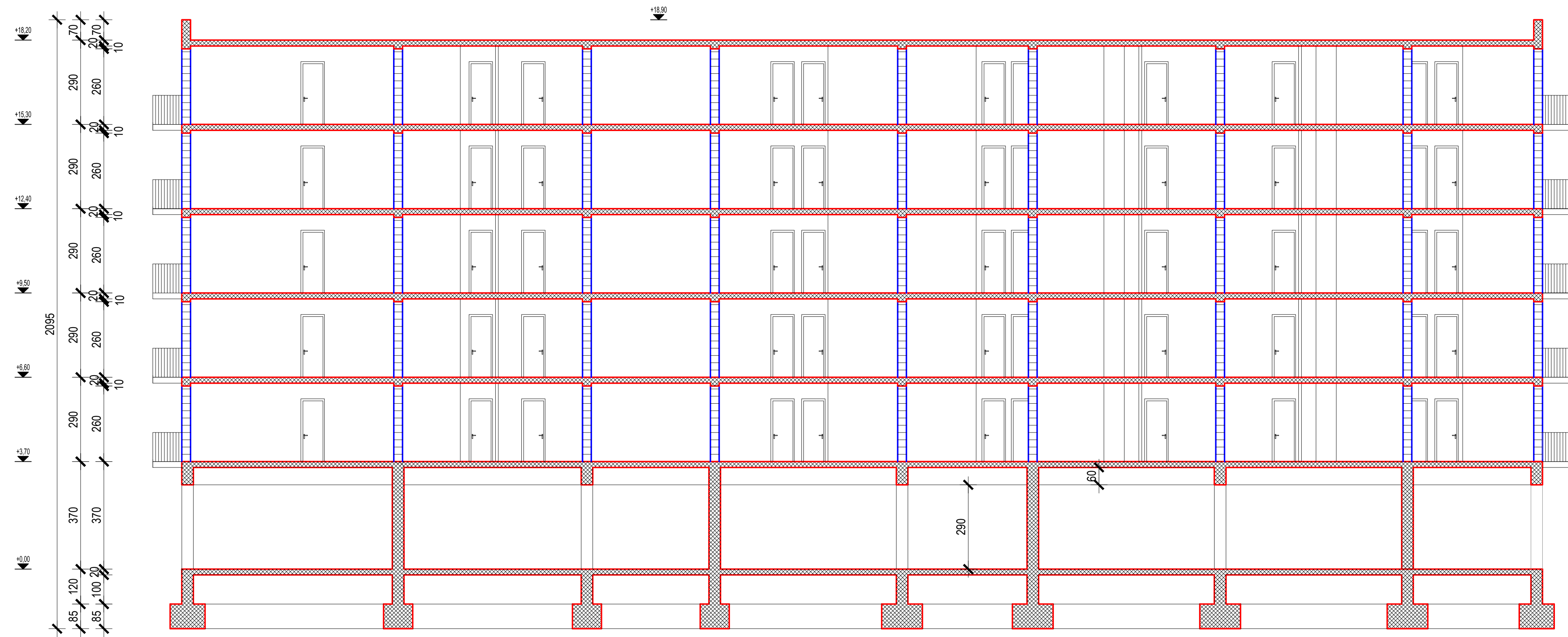


				DIPLOMSKI RAD	
Tema:		Proračun zidane zgrade s ab prizemljem			
Student:		Toni Blagačić			
Sadržaj:		Tlocrt karakteristične etaže	Mjerilo:	Broj priloga: 3	
Datum:		Lipanj 2017.	1:100		
SVEUČILIŠTE U SPLITU FAKULTET GRAĐEVINARSTVA, ARHITEKTURE I GEODEZIJE 21 000 SPLIT, MATICE HRVATSKE 15					

Presjek a-a

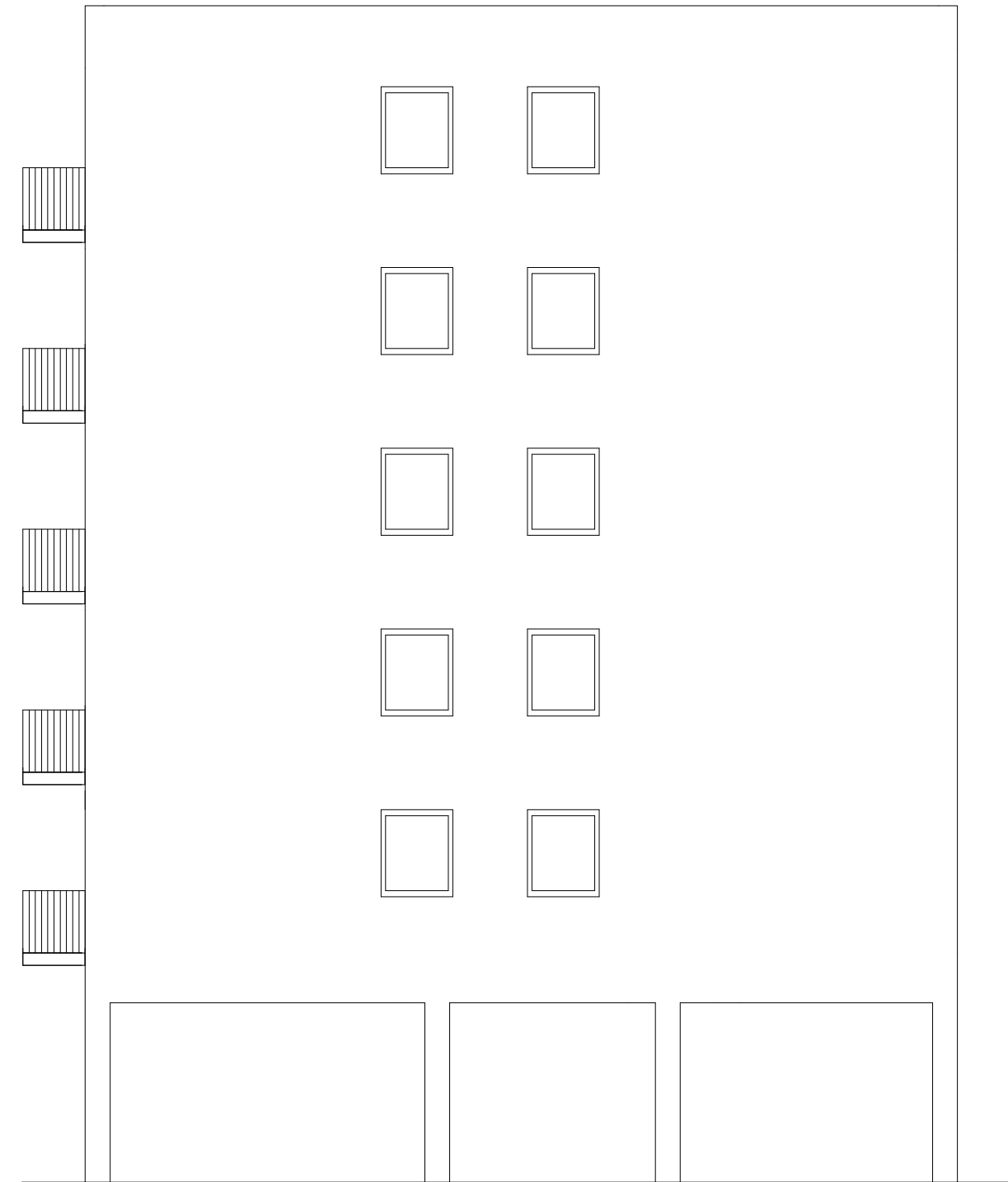


Presjek b-b



PRESJECI a-a i b-b
M 1:100

ZAPADNO PROČELJE



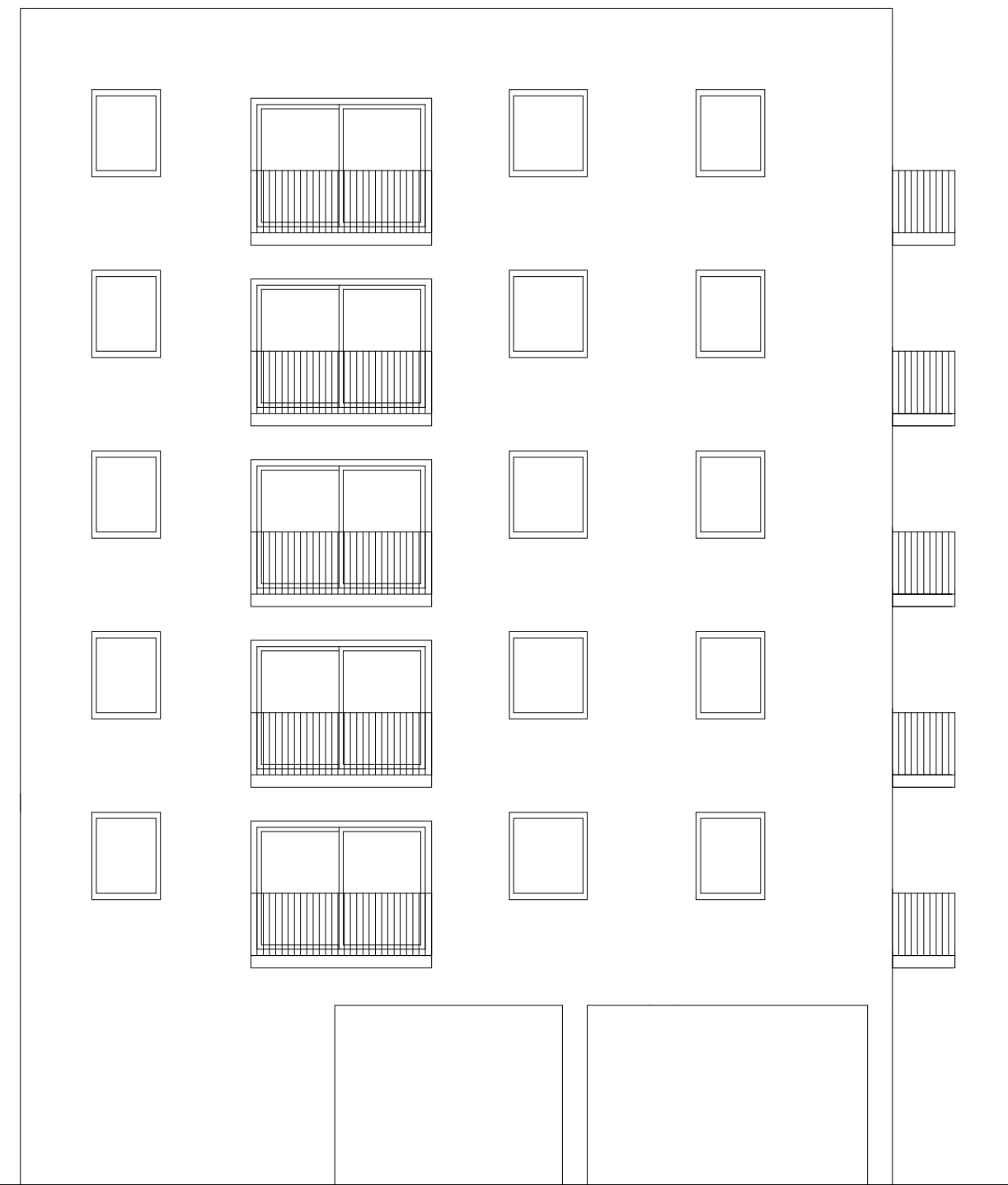
JUŽNO PROČELJE



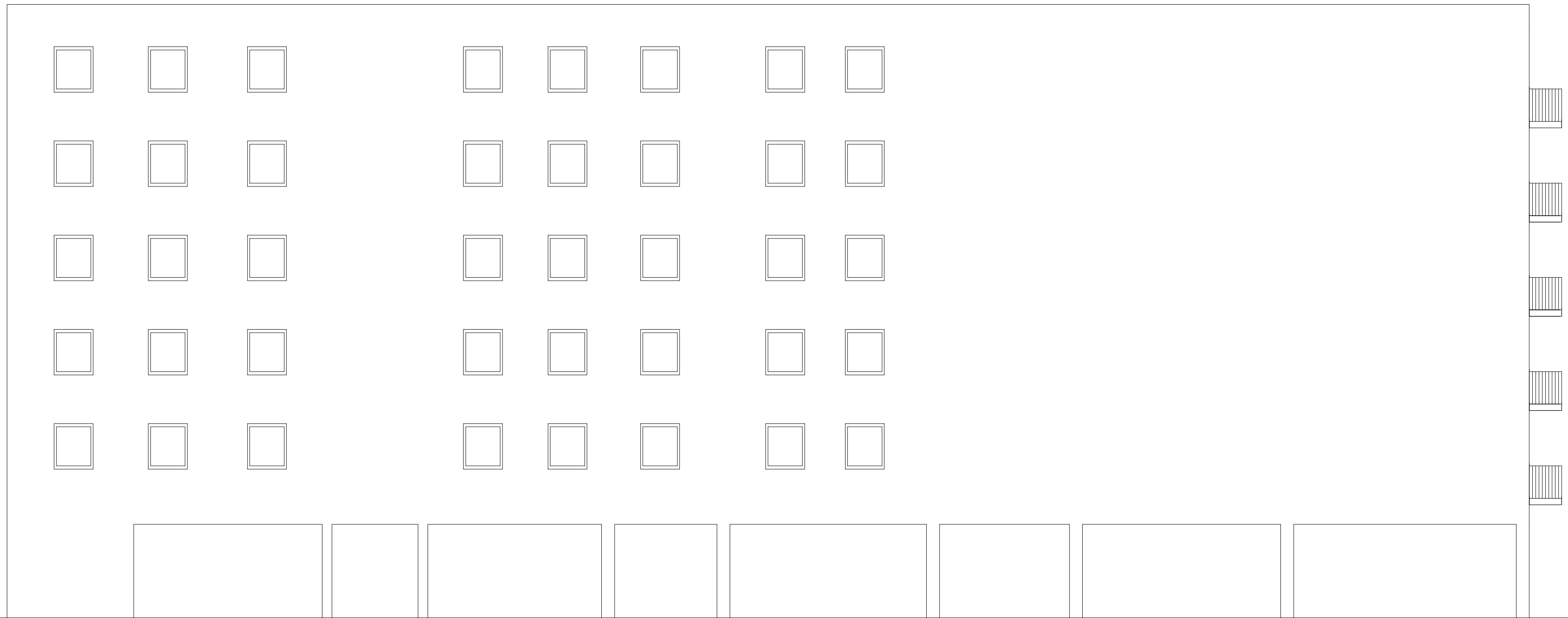
JUŽNO I ZAPADNO
PROČELJE
M 1:100

		DIPLOMSKI RAD	
		Tema: Proračun zidane zgrade s ab prizemljem	Student: Toni Blagać
Sadržaj: Južno i zapadno pročelje		Mjerilo: 1:100	Broj priloga: 5
Datum: Lipanj 2017.			
<small>SVEUČILIŠTE U SPLITU FAKULTET GRAĐEVINARSTVA, ARHITEKTURE I GEODEZIJE 21 000 SPLIT, MATICE HRVATSKE 15</small>			


ISTOČNO PROČELJE



SJEVERNO PROČELJE

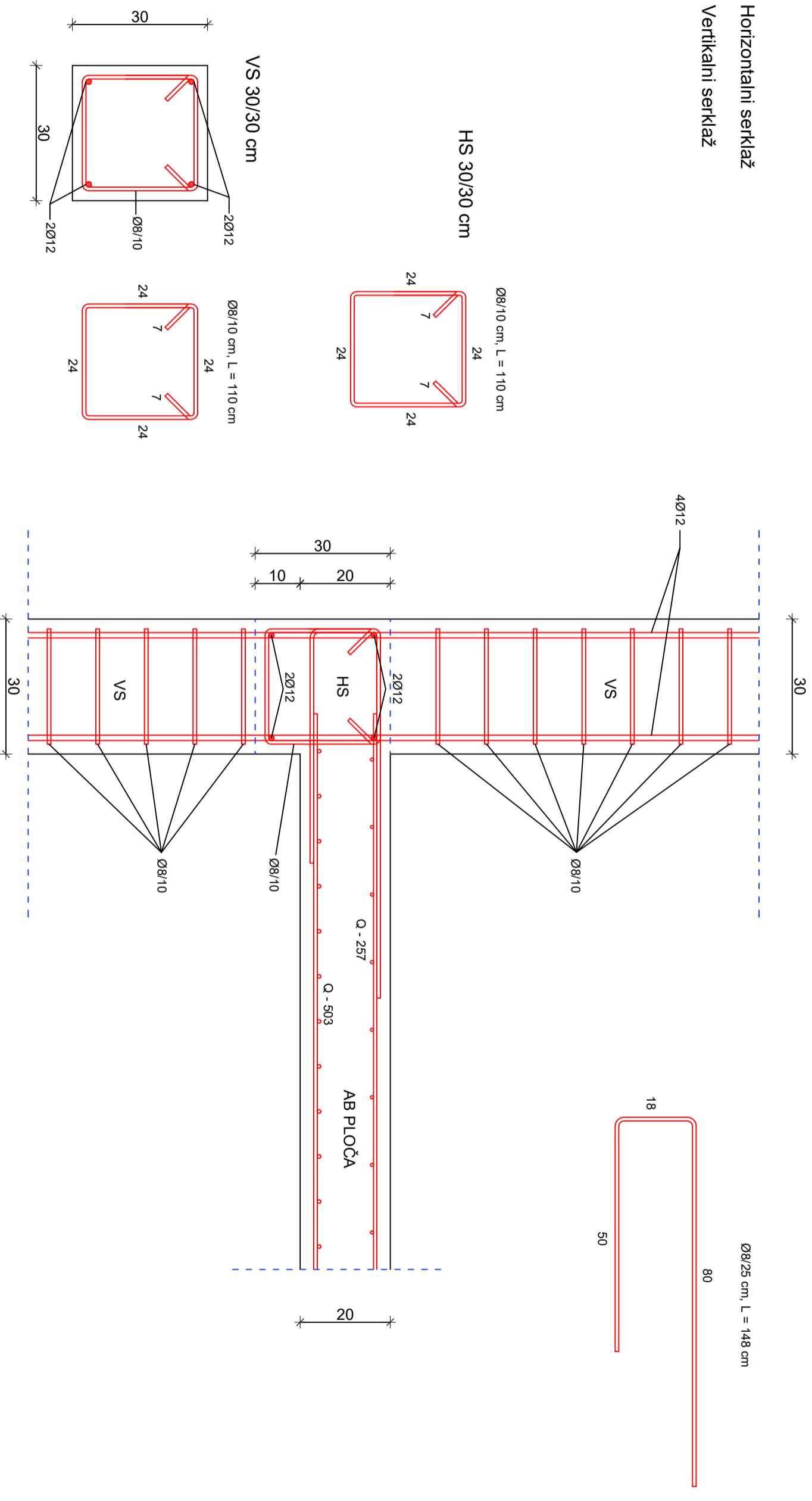


SJEVERNO I ISTOČNO
PROČELJE
M 1:100

 <p>SVEUČILIŠTE U SPLITU FAKULTET GRAĐEVINARSTVA, ARHITEKTURE I GEODEZIJE 21 000 SPLIT, MATICE HRVATSKE 15</p>	DIPLOMSKI RAD			
	Tema:	Proračun zidane zgrade s ab prizemljem		
	Student:	Toni Blagać		
	Sadržaj:	Sjeverno i istočno pročelje	Mjerilo:	Broj priloga: 6
	Datum:	Lipanj 2017.	Mjerilo:	1:100

DETALJ SPOJA HORIZONTALNOG I VERTIKALNOG SERKLAŽA M 1:10

HS - Horizontalni serklaž
VS - Vertikalni serklaž



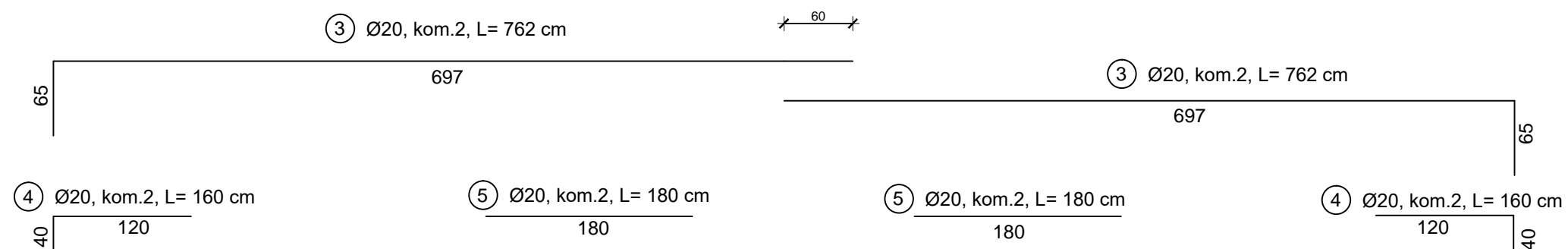
DIPLOMSKI RAD

UN
SVEUČILIŠTE U SPLITU
FAKULTET GRAĐEVINARSTVA,
ARHITEKTURE I GEODEZIJE
21 000 SPLIT, MATICE HRVATSKE 15

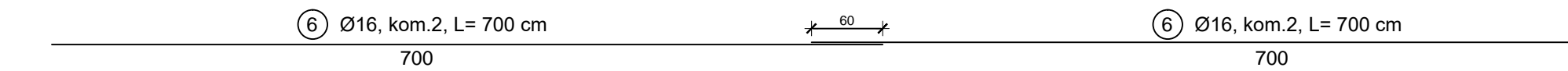
Tema:	Proračun zidane zgrade s ab prizemljen		
Student:	Tonči Blagačić		
Sadržaj:	Detalji spoja serklaža	Mjerilo:	Broj priloga: 7
Datum:	Lipanj 2017.	1:10	

GREDA

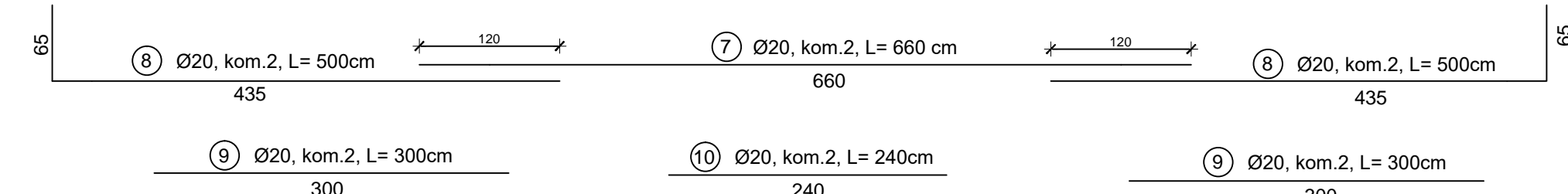
Gornja zona



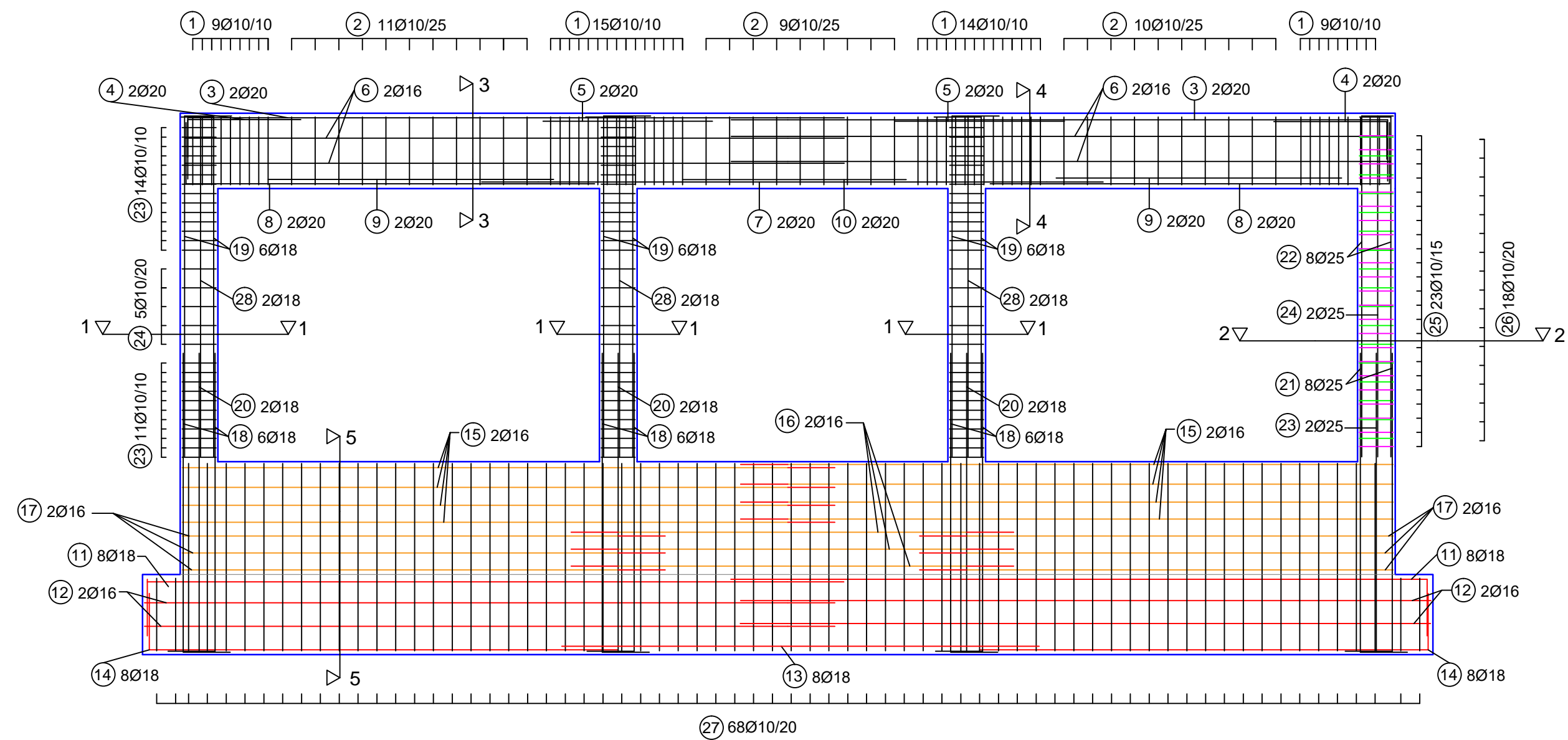
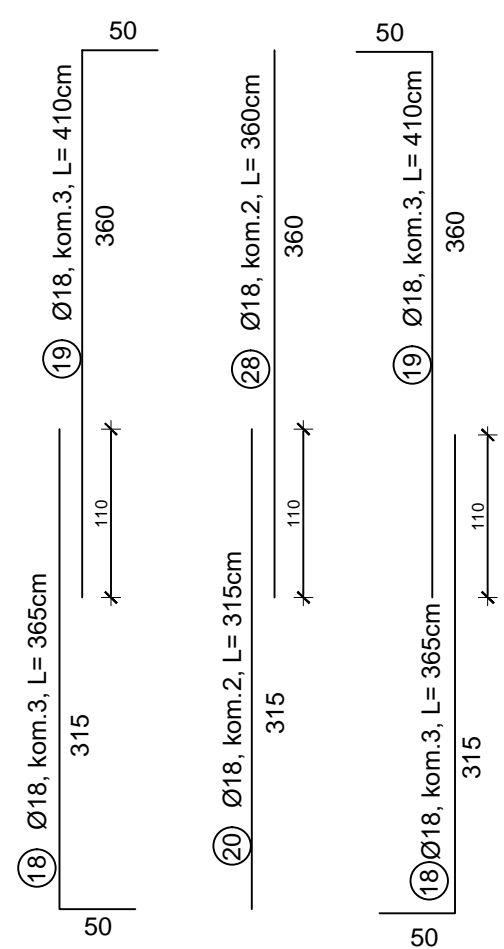
Konstruktivna armatura



Donja zona

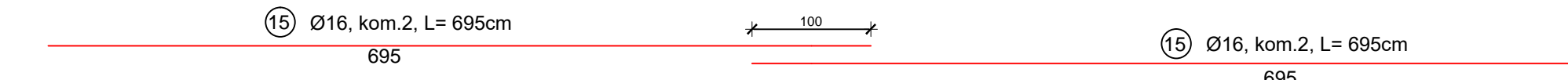


STUP 1, 2, 3

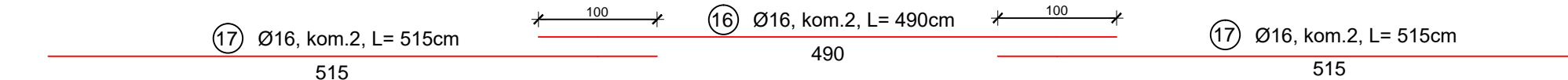


NADTEMELJNI ZID

Gornja zona

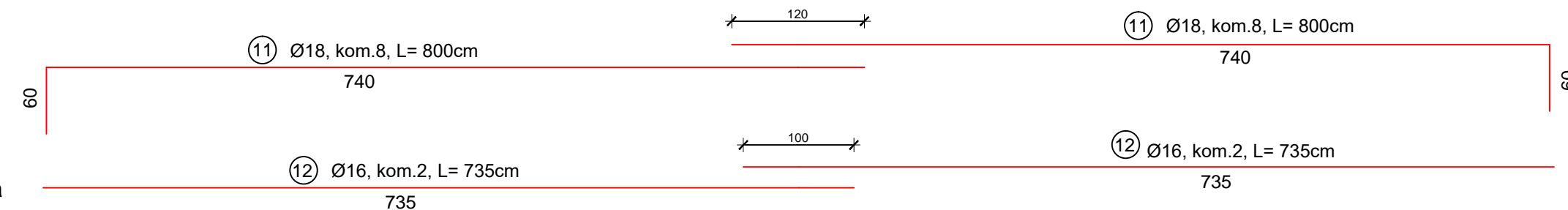


Donja zona



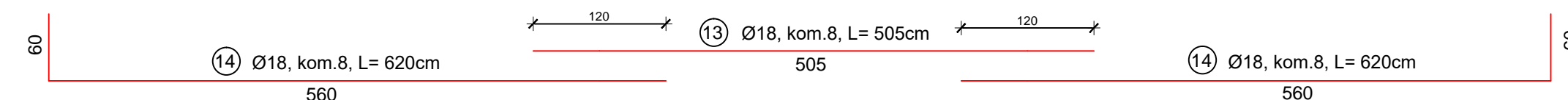
TEMELJNA TRAKA

Gornja zona

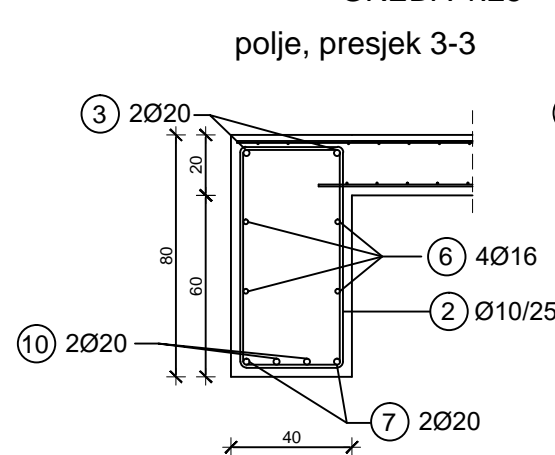


Konstruktivna armatura

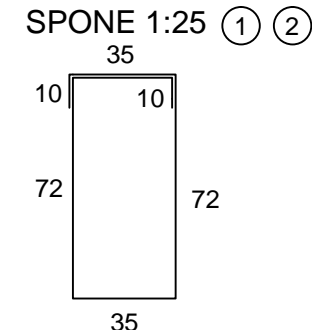
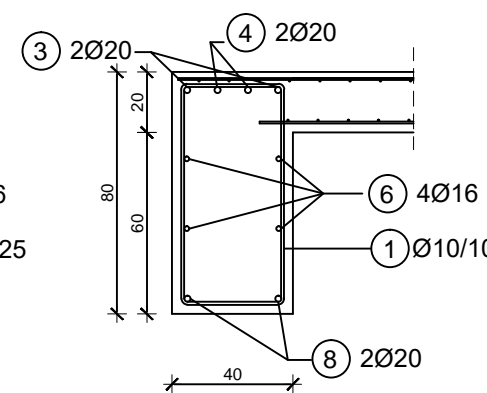
Donja zona



GREDA 1:25

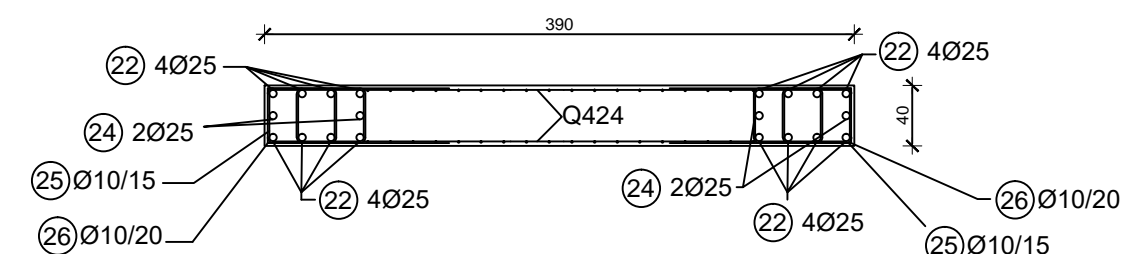


ležaj, presjek 4-4

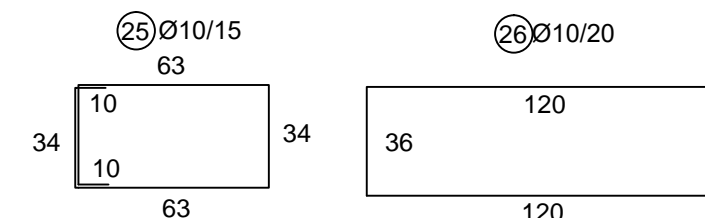


ARMATURA KARAKTERISTIČNOG OKVIRA U OSI 13 1:50

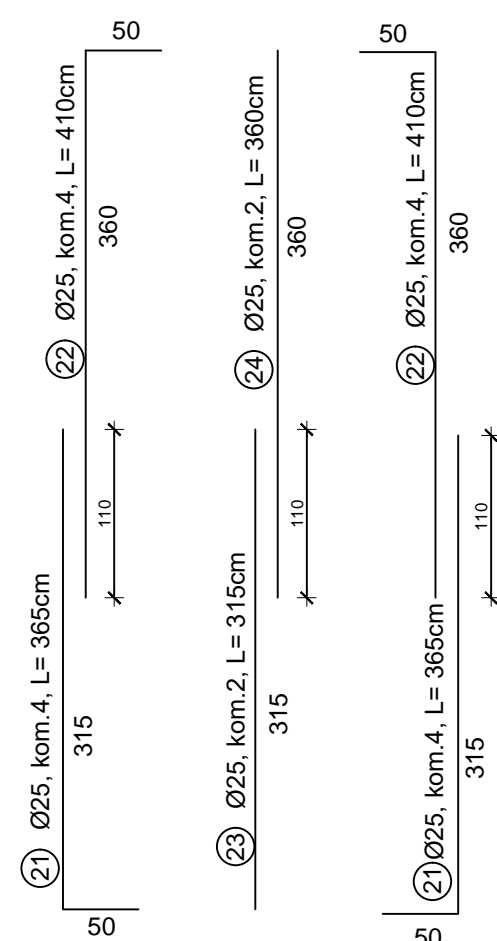
ZID presjek 2-2



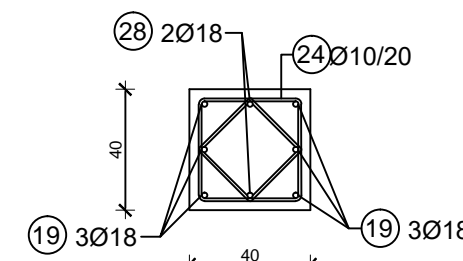
SPONE 1:25



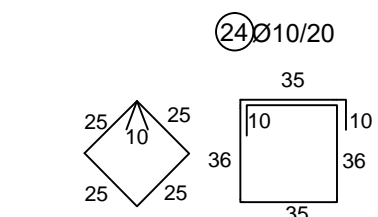
ZID



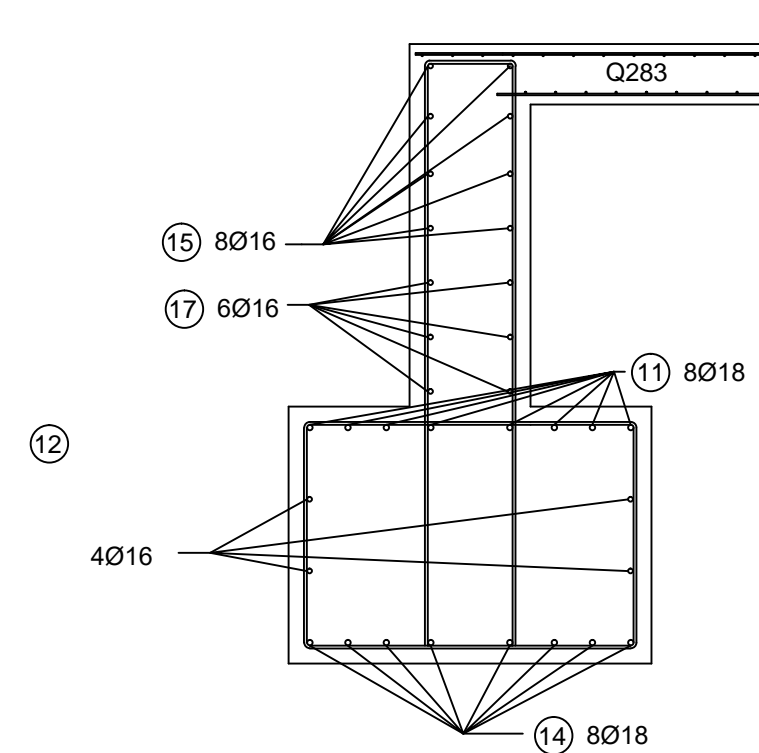
STUP 1:25 presjek 1-1



SPONE 1:25



TEMELJNA TRAKA 1:25, prejsje 5-5



SPONE 1:25

